Литература

- 1. Газеева, И.В. Системы цифровой стереопроекции / И.В. Газеева, В.Г. Чафонова. СПб.: СПбГУКиТ, 2013. 108 с.
- **2.** Валюс, Н.А. Стерео: фотография, кино, телевидение / Н. А. Валюс. М.: Искусство, 1986. 263 с.
- **3.** Дудников, Ю.А. Растровые системы для получения объемных изображений / Ю.А. Дудников, Б.К. Рожков. Л.: Машиностроение, 1986. 216 с.
- **4.** Комар, В.Г. Изобразительная голография и голографический кинематограф / В.Г. Комар, О.Б. Серов. М.: Искусство, 1987. 286 с.
- **5.** Рожков, С.Н. Стереоскопия в кино-, фото-, видеотехнике: терминологический словарь / С.Н. Рожков, Н.А. Овсянникова. М.: Парадиз, 2003. 136 с.

Раздел 1. Зрительное восприятие трехмерного пространства человеком

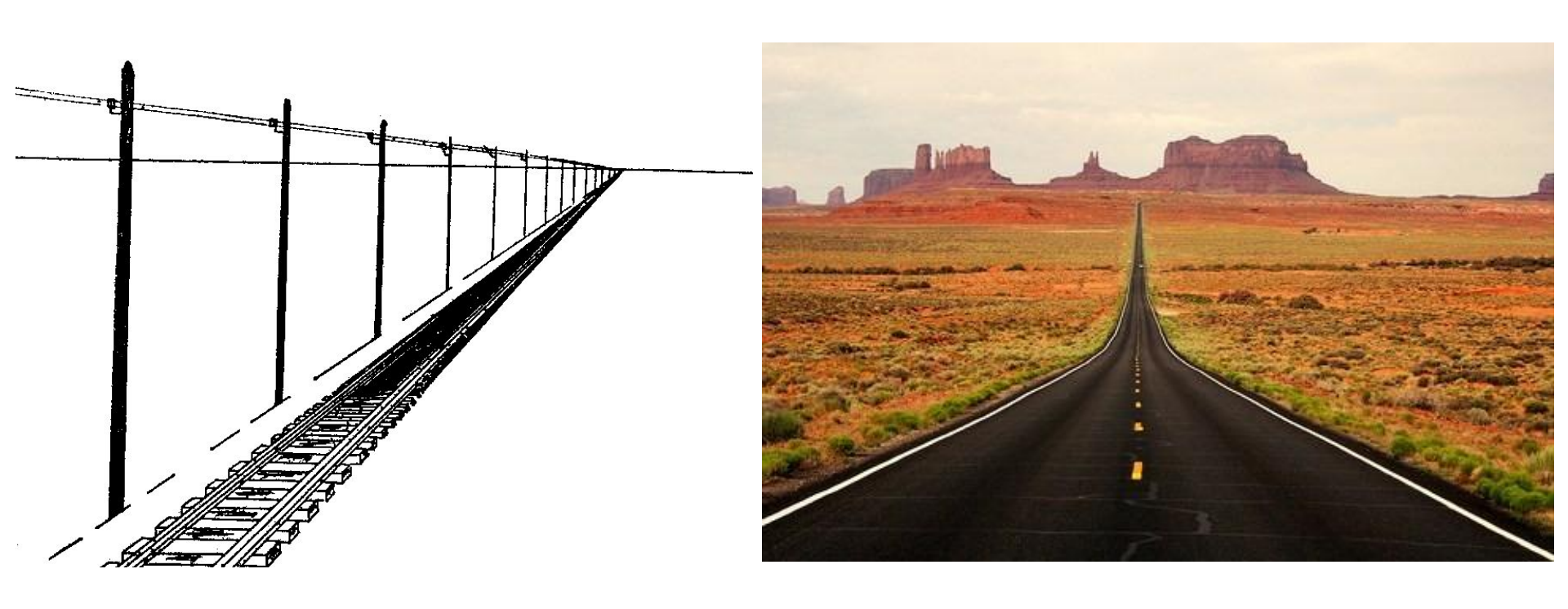
Тема1.1 Факторы восприятия глубины пространства

1.1.1 Монокулярные факторы пространственного зрения

Монокулярные факторы пространственного зрения

- линейная перспектива;
- воздушная перспектива;
- масштабные ориентиры;
- интерпозиция;
- распределение светотеней;
- градиент текстуры;
- аккомодационное усилие;
- монокулярный параллакс
 движения

Линейная перспектива – фактор, выражающийся в кажущемся уменьшении видимых линейных размеров объектов по мере их удаления от наблюдателя.



При рассматривании перспективных изображений создается естественное впечатление пространственной глубины и рельефа изображения. Этим приемом пользуются художники и фотографы. Если рисунок или фотография выполнены с соблюдением законов перспективы, то можно получить хорошее пространственное

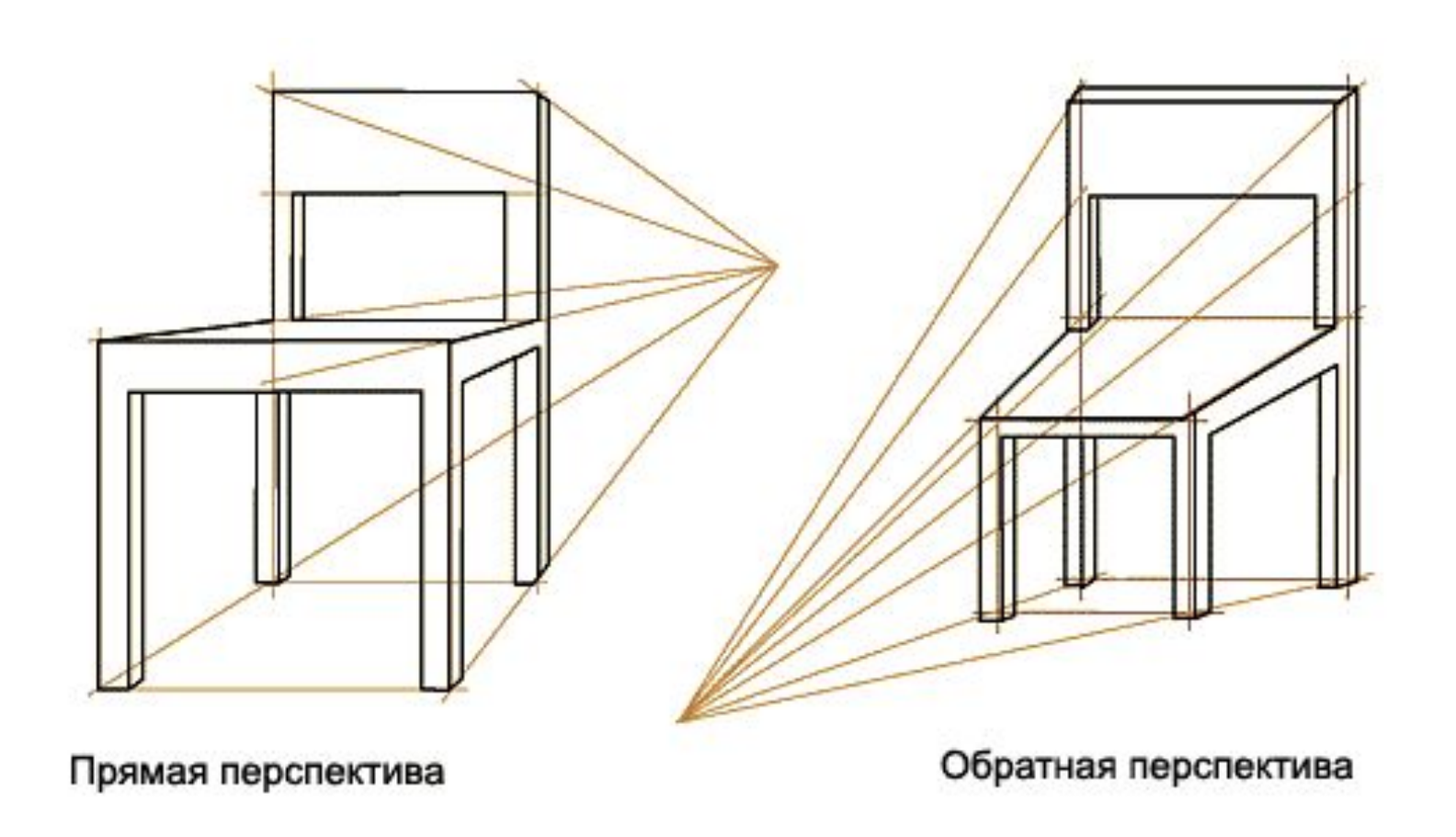








противоестественно.



Воздушная перспектива – это ощущение протяженности пространства, возникающее благодаря рассеивающему свет действию воздушной среды. Фактор проявляется в том, что предметы по мере их удаления от наблюдателя воспринимаются менее контрастными (блеклыми), размытыми в голубоватой дымке.



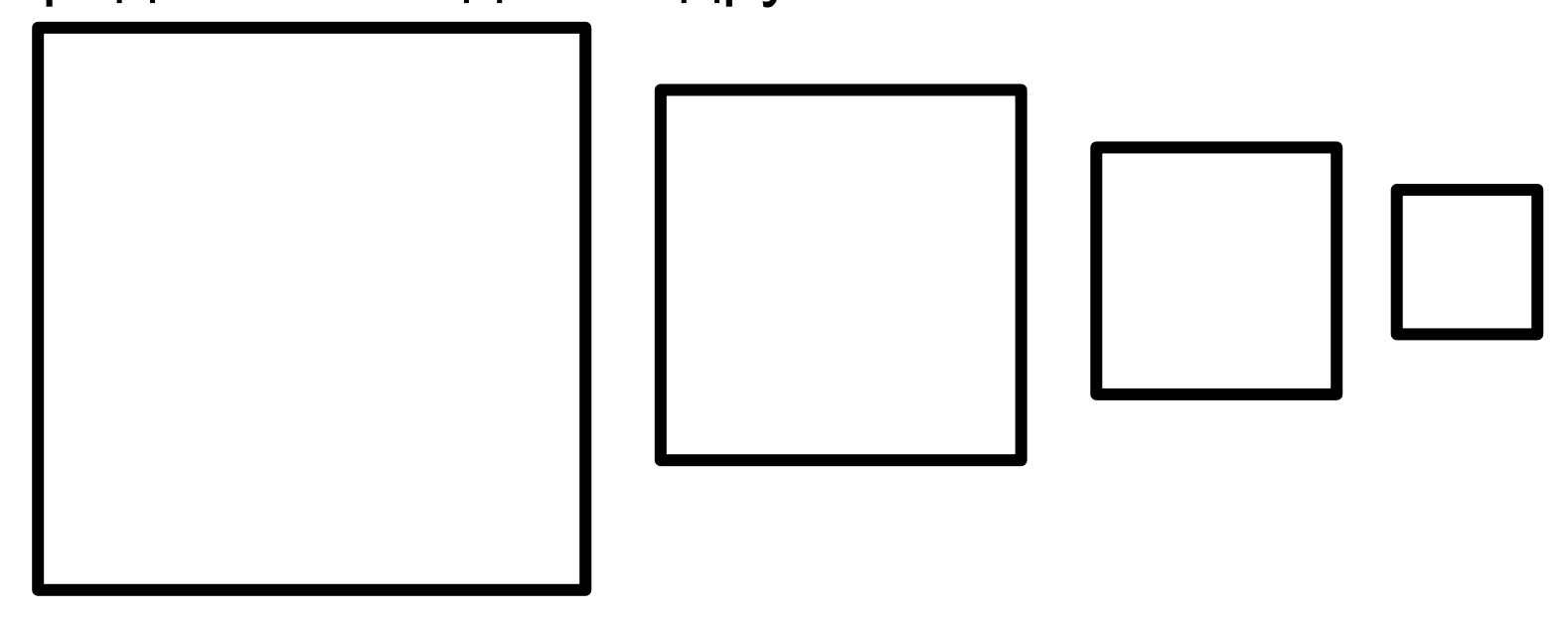


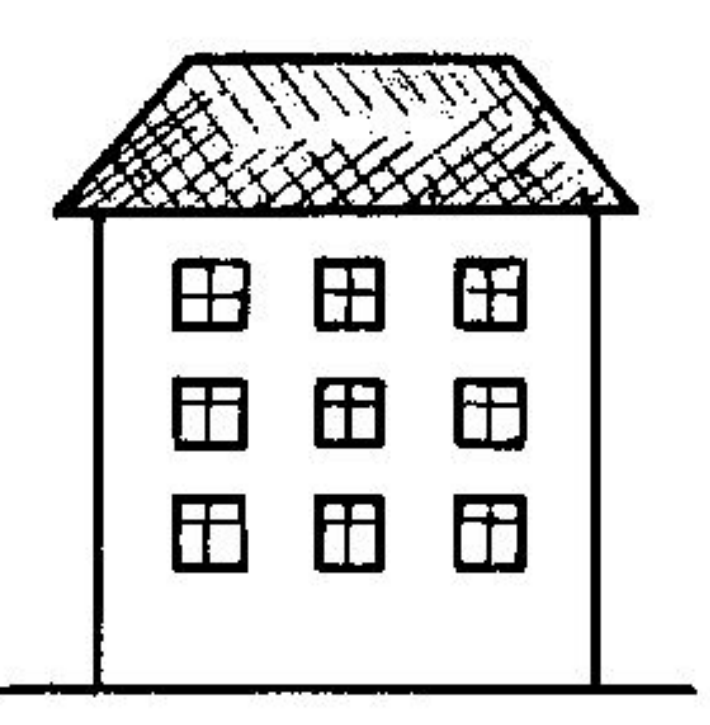
Воздушная перспектива начинает играть важную роль, когда из-за больших расстояний линейная перпектива (и др. факторы) теряет силу. Данный фактор проявляется при наблюдении предметов, находящихся на расстоянии более 0,5-1 км.

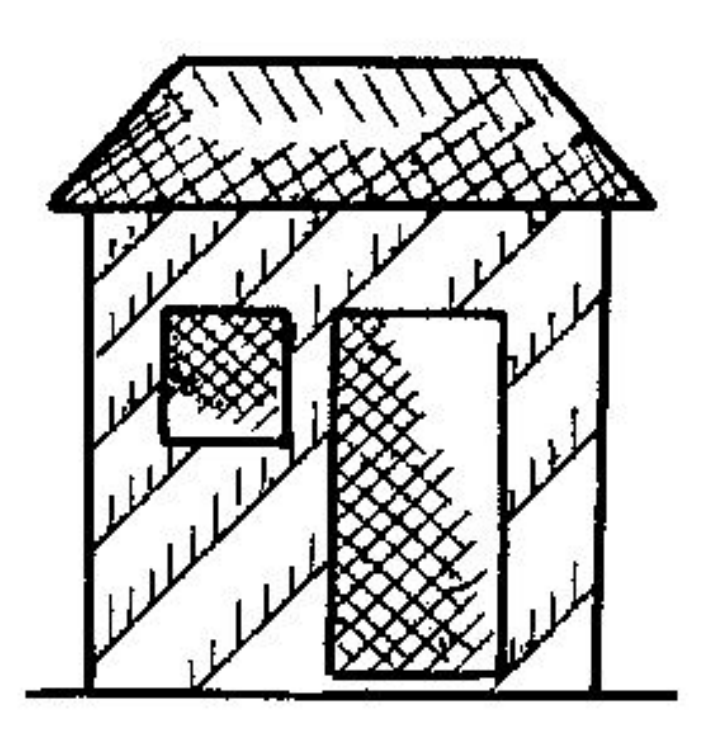


Масштабные ориентиры (видимые относительные размеры объектов)

Если сравниваются похожие или узнаваемые формы разной величины, то больший по величине объект кажется расположенным ближе к наблюдателю. Этот фактор действует, когда идентичные формы разной величины рассматриваются одновременно или непосредственно одна за другой.







Интерпозиция (частичное перекрывание предметов)

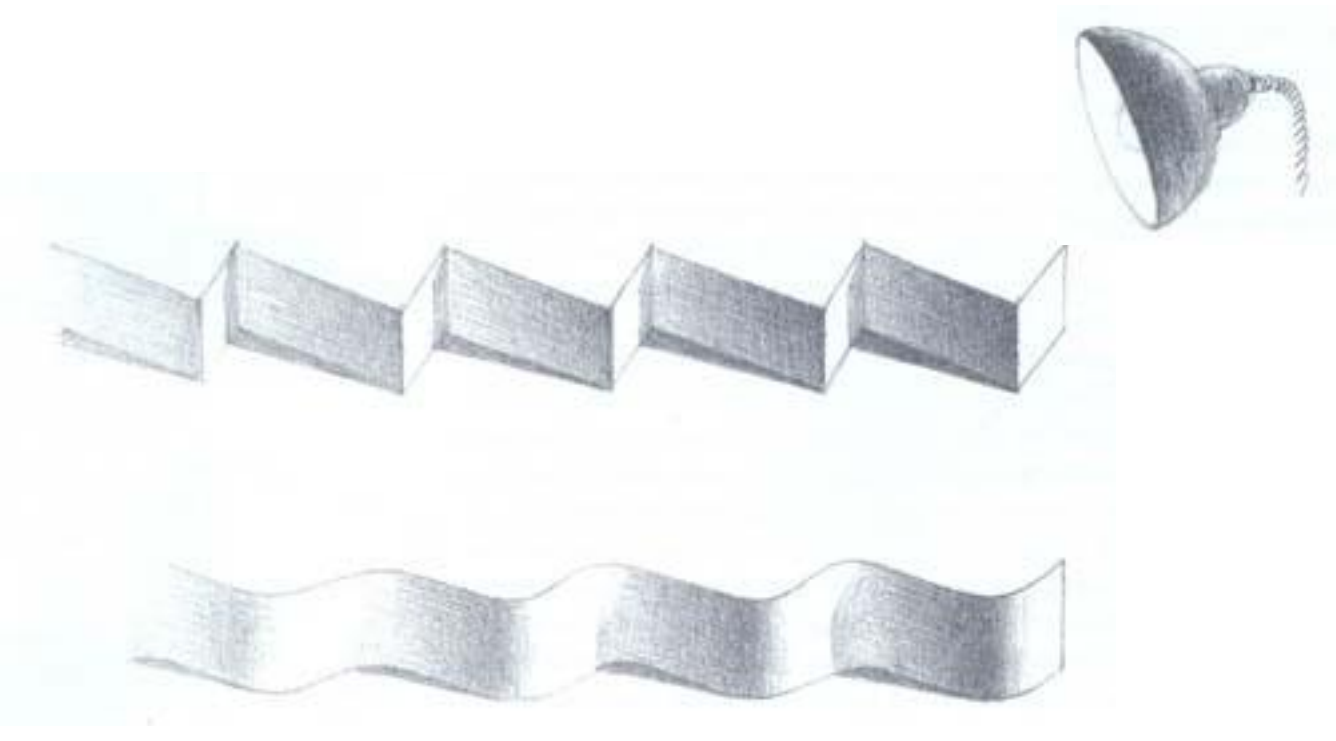
Характер перекрытия контуров предметов указывает на удаленность их от наблюдателя. Более полный, не загороженный другими контур, воспринимается нами как



Распределение светотеней

При освещении объектов косо падающим пучком лучей хорошо обнаруживается рельеф объектов в результате образовавшегося на них распределения светов и теней. Как правило, наибольшей яркостью обладает та поверхность, которая ближе к источнику света. По мере удаления от источника света яркость поверхностей уменьшается и возрастает их затененность.





Человек чаще встречается с источниками света, расположенными выше линии горизонта. Поэтому при освещении предметов боковым светом рельеф зачастую не воспринимается (Рис.1). Однако при освещении сверху, что равноценно повороту рисунка на 90° (Рис.2), тени особенно подчеркивают рельеф. Поворот рисунка на 180° равноценен освещению предмета снизу. При этом воспринимаемый рельеф может измениться на обратный (Рис.3).

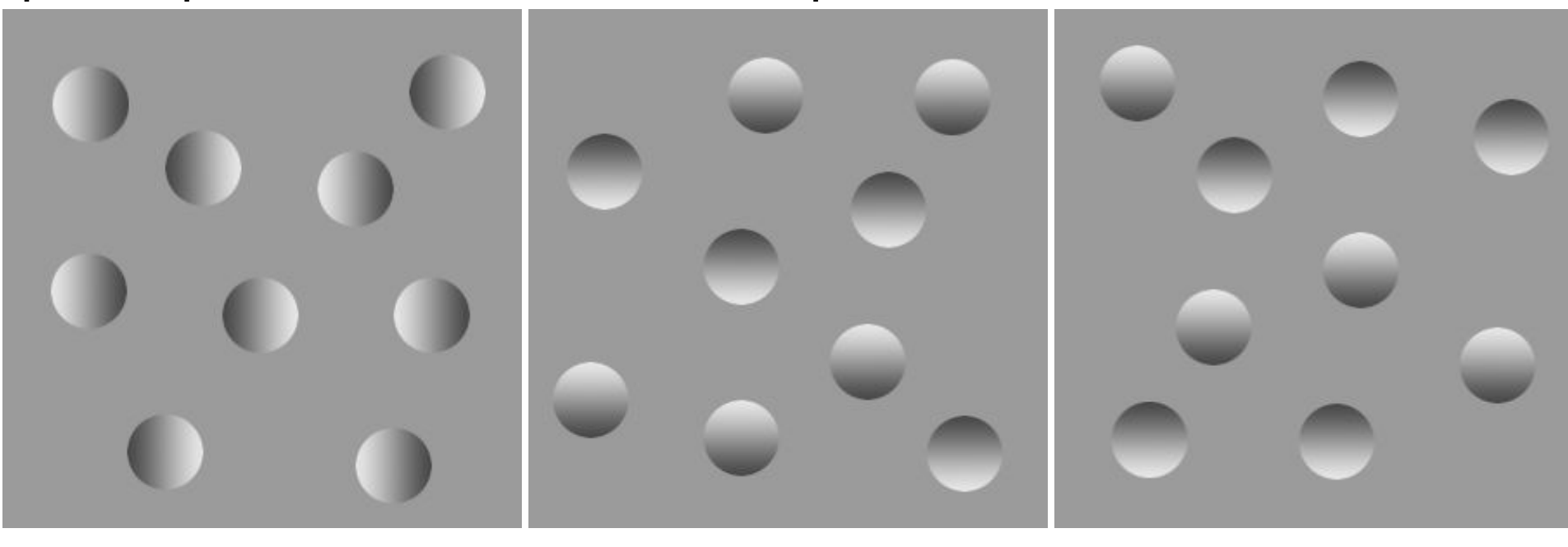
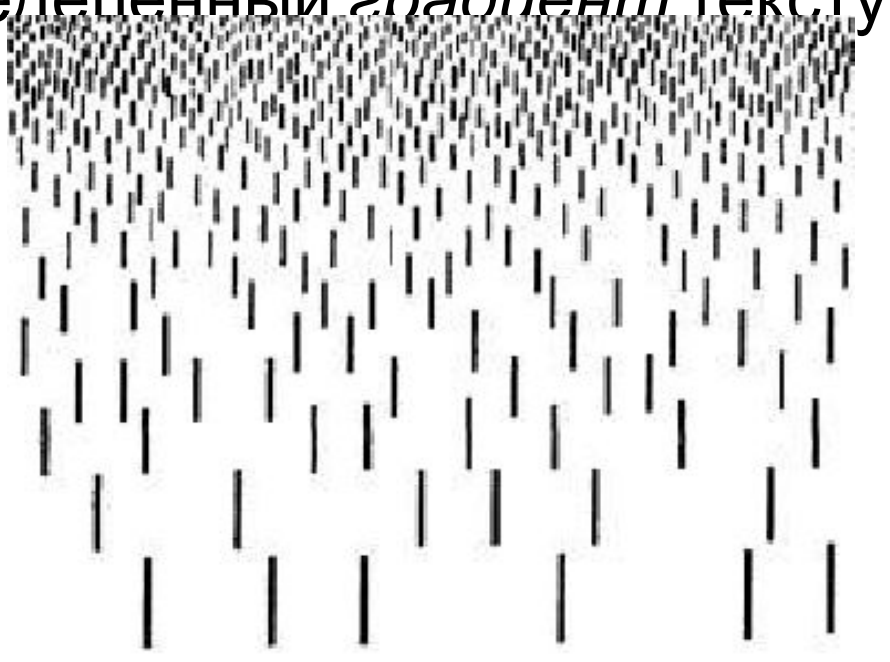


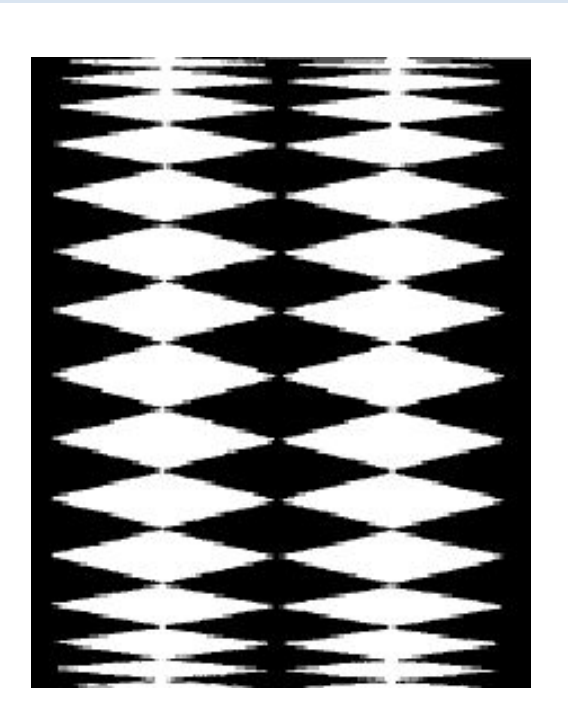
Рис.1 Рис.2 Рис.3

Градиент текстуры

Многим естественным и искусственным поверхностям свой-ственна микроструктура определенной формы, которая вос-принимается как зернистость, или текстура. Плотность подоб-ных текстур непрерывно изменяется в зависимости от расстоя-ния до поверхности, т. е. по мере удаления текстурирован-ным поверхностям присущ

опрелепенный *градиент* текстуры.





По мере удаления текстура начинает казаться более тонкой, а образующие ее элементы — относительно мелкими и теснее примыкающими друг к другу, или более уплотненными. Кажущаяся величина элементов и промежутков между ними с увеличением расстояния уменьшается. Восприятие такой текстурированной поверхности дает возможность достаточно надежно



Изменение аккомодационного усилия

Аккомодация – способность глаза непроизвольно изменять оптическую силу и приспосабливаться к четкому видению предметов, находящихся от него на различных расстояниях. Перевод взора с одного предмета на другой (более далекий или более близкий) сопровождается перестройкой аккомодационного усилия, ощущаемого человеком. На данном основании человек в некоторой степени способен судить об удаленности объектов, на которые происходит настройка аккомодационного усилия. Данный эффект мало заметен при



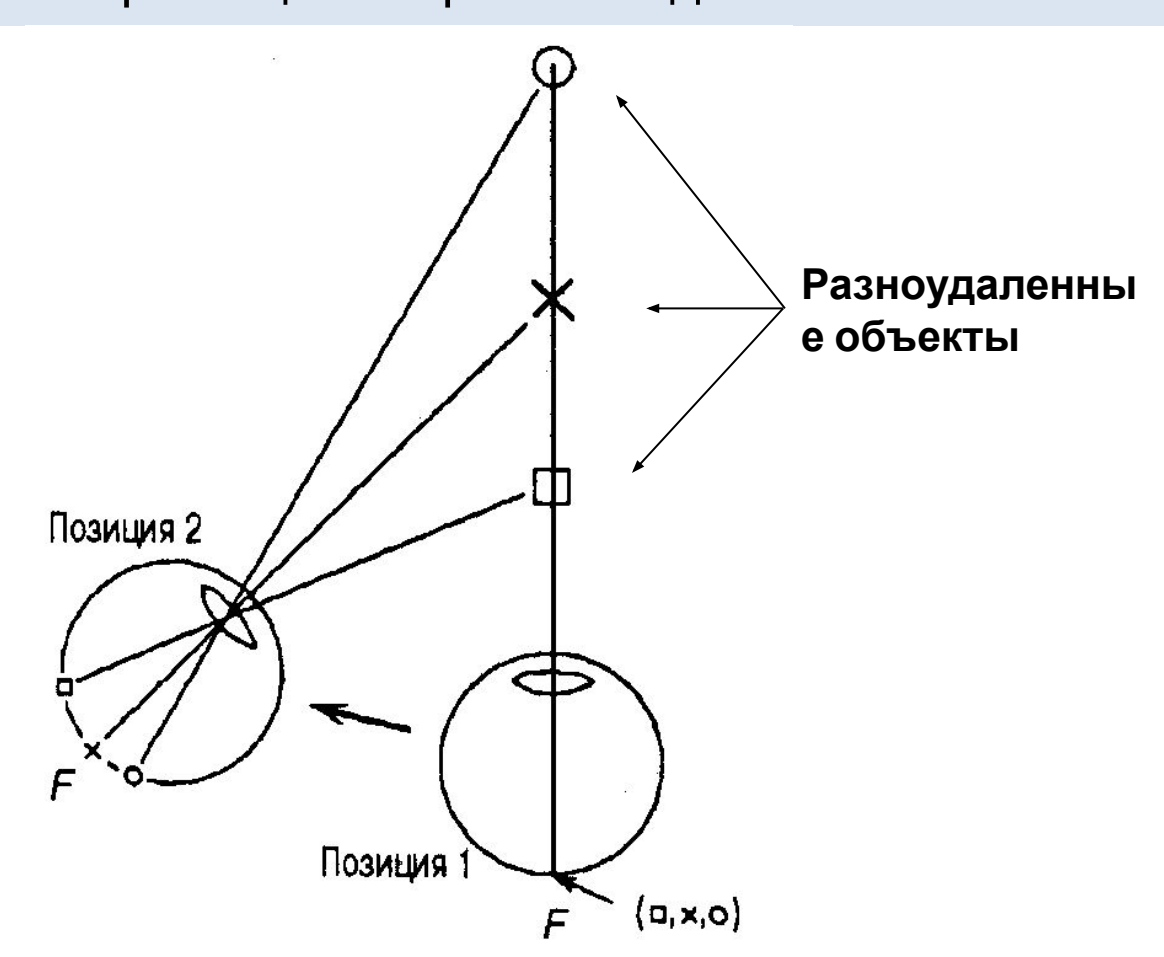




Монокулярный параллакс движения

Действие данного фактора возникает при перемещении или повороте рассматриваемых объектов относительно наблюдателя или наблюдателя относительно объектов. Указанные относительные перемещения приводят к тому, что на сетчатке глаза изображения разноудаленных точек предметов получают различные смещения, зависящие от расстояния до этой точки и от положения точки фиксации взора наблюдателя.

Получаемое за время зрительной инерции глаза смещение какойлибо точки изображения на сетчатке относительно изображения фиксируемой взором точки пространства называется монокулярным параллаксом движения



Ощущение стереоскопичности изображения возникает при рассматривании серии сменяющих друг друга обычных плоских изображений, полученных съемкой с последовательным изменением точки зрения на объект съемки.



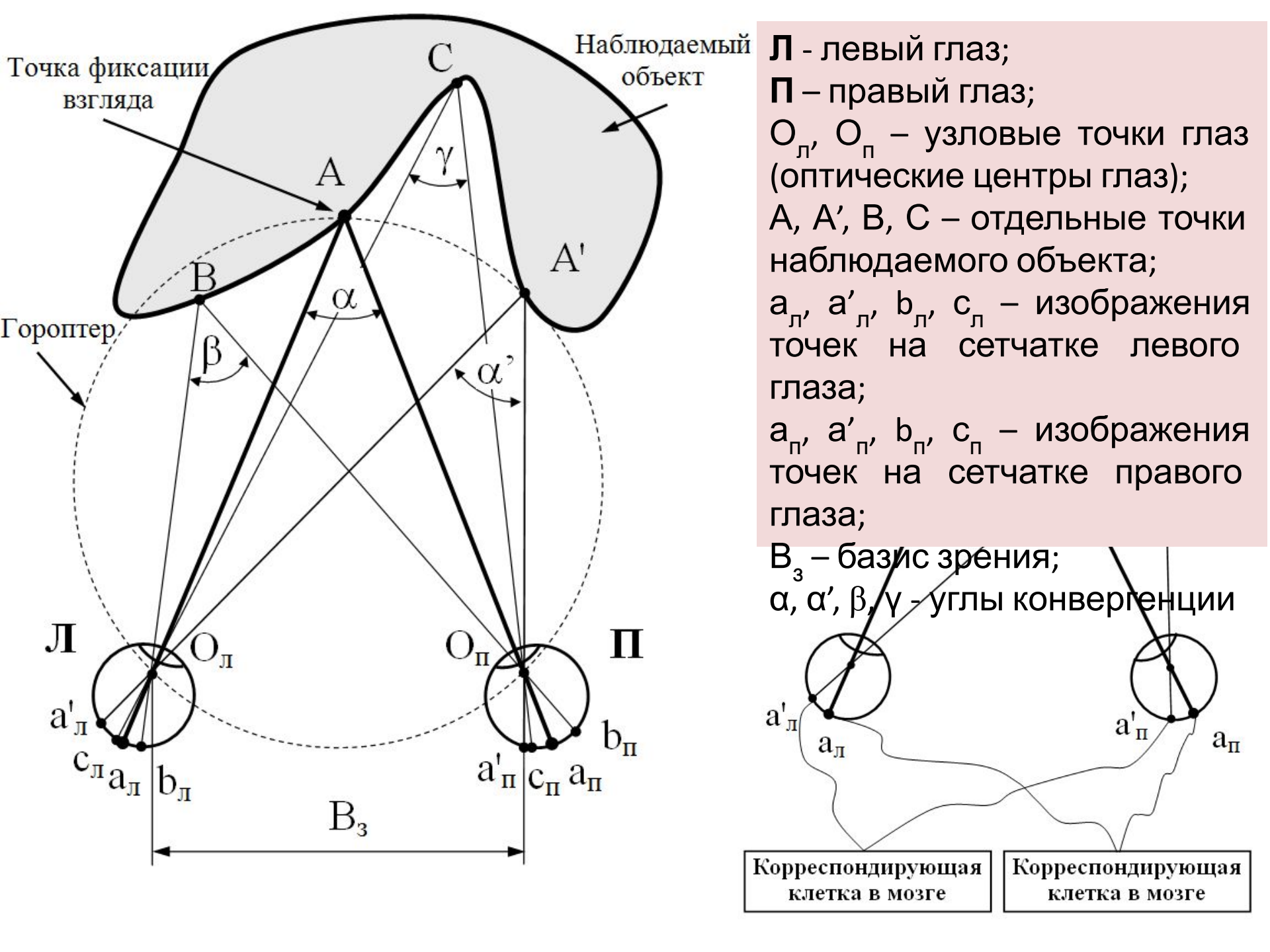
1.1.2 Бинокулярные факторы пространственного зрения

Бинокулярные факторы пространственного зрения

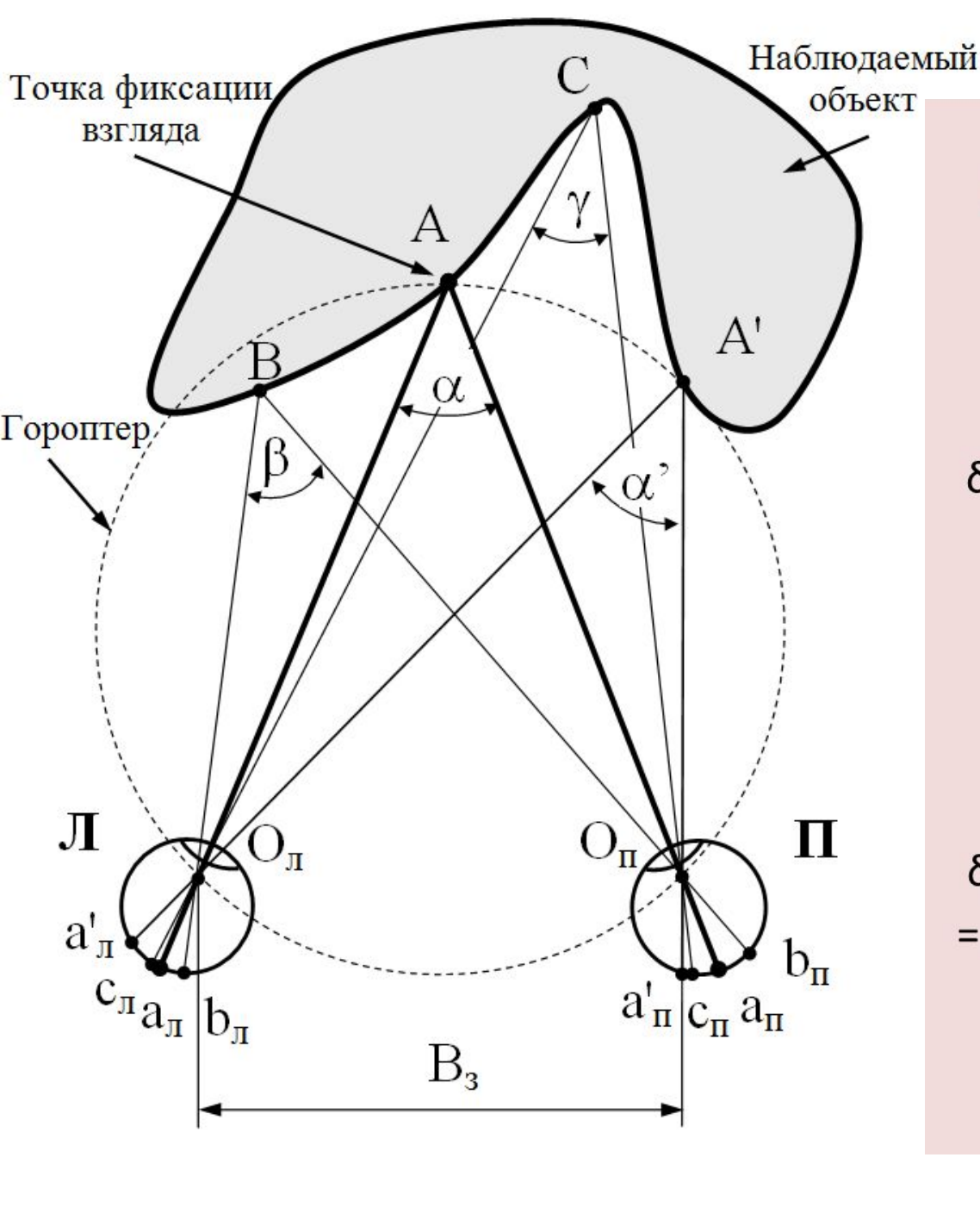
- диспаратность;

- конвергенция;

Диспаратность – различное взаимное положение изображений точек наблюдаемых объектов на сетчатках левого и правого глаза, а также другие различия в изображениях на сетчатках двух глаз.



Параллакс — разность координат изображений некоторой точки на сетчатках глаз относительно изображений точки фиксации взгляда.



Параллакс для точки В:

$$\delta_{B} = \widehat{a_{\Pi}O_{\Pi}b_{\Pi}} = \alpha - \beta$$

$$\underbrace{u_{\Pi}u_{\Pi}}_{P_{B} = a_{\Pi}b_{\Pi}} - a_{\Pi}b_{\Pi}.$$

Параллакс для точки С:

$$δ_C = -a_Π \widehat{O_Π c_Π} - (-a_Π \widehat{O_Π c_Π}) =$$

$$= a_Π \widehat{O_Π c_Π} - a_Λ \widehat{O_Λ c_Λ} = α - γ$$
или

$$P_{C} = - \underbrace{a_{\Pi}c_{\Pi}}_{= a_{\Pi}c_{\Pi}} - \underbrace{(- \underbrace{a_{\Pi}c_{\Pi}}_{= \alpha_{\Pi}c_{\Pi}})}_{= a_{\Pi}c_{\Pi}} =$$

Параллакс для точки А':

$$\delta_{A'} = -\widehat{a_{\Pi}O_{\Pi}a'_{\Pi}} - (-\widehat{a_{\Pi}O_{\Pi}a'_{\Pi}}) =$$

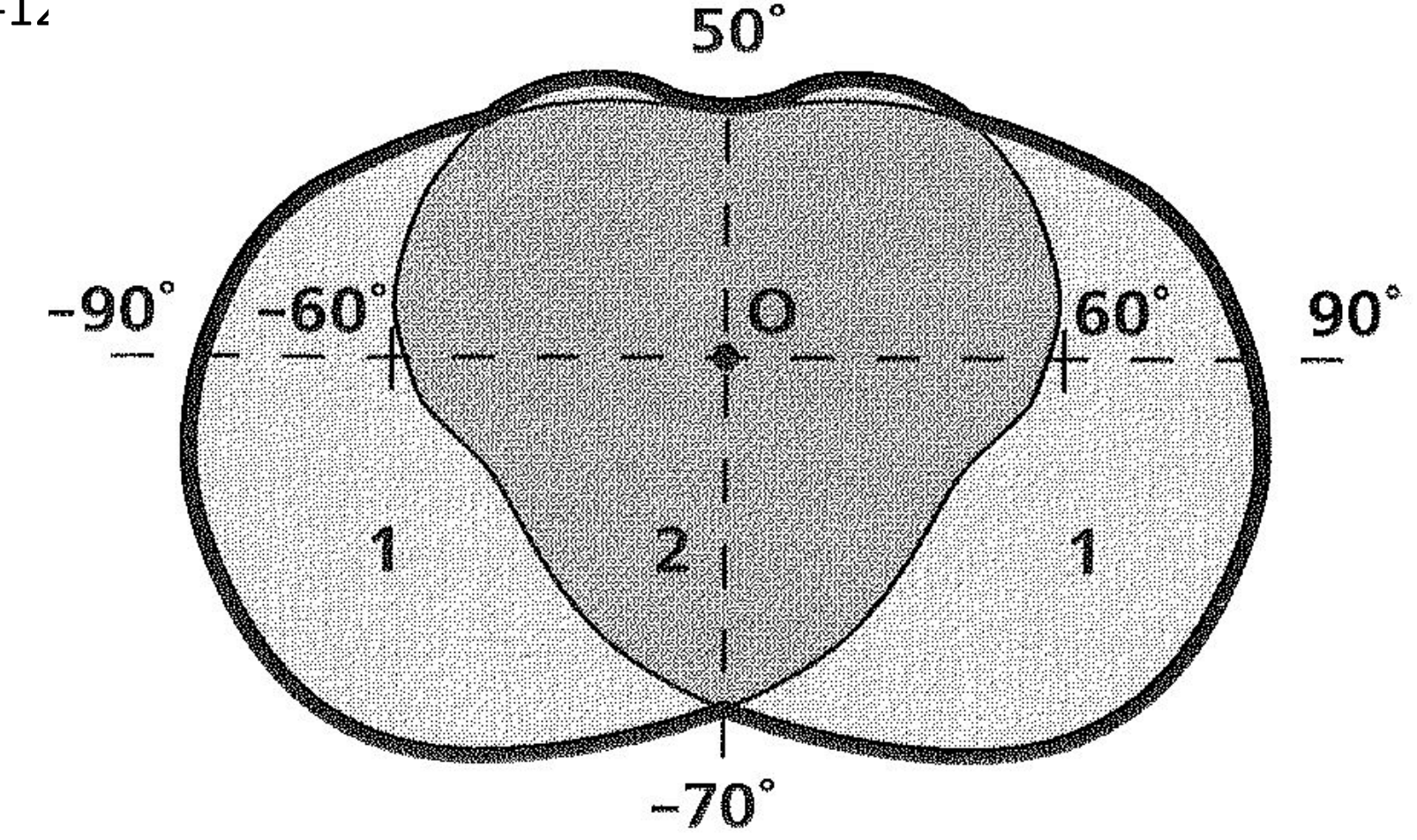
$$= \widehat{a_{\Pi}O_{\Pi}a'_{\Pi}} - \widehat{a_{\Lambda}O_{\Lambda}a'_{\Lambda}} = \alpha - \alpha' = 0$$
или

$$P_{A'} = \underbrace{-a_{\Pi}a'_{\Pi}}_{=a_{\Pi}a'_{\Pi}} - \underbrace{(-a_{\Pi}a'_{\Pi})}_{=0} = 0$$

Конвергенция – непроизвольное сведение зрительных осей обоих глаз на некоторую фиксируемую точку под определенным углом, называемым углом конвергенции.



1. Бинокулярное поле зрения (поле стереоскопического видения) – область пространства, наблюдаемая одновременно двумя глазами при неизменном направлении взора и неподвижном положении головы. Оно представляет собой общую часть наложенных друг на друга монокулярных полей зрения. Поле стереоскопического видения глаз составляет по горизонтали до 115°-12



Пределы стереовосприятия Порог стереоскопического **зрения** – минимальная (предельно малая) величина углового параллакса, при котором человек еще способен воспринимать разницу в удаленности между двумя точечными объектами, рассматривая их двумя глазами. Эта величина сильно зависит как особенностей индивидуальных человека, так и условий наблюдения и находится в пределах $∂\delta_{min}$ =10"-30". Величина обратная порогу зрения стереоскопического остротой называется стереоскопического зрения. **Порог диплопии** – максимально a_{π} , $a_{1\pi}$ допустимое значение углового

параллакса, при котором

стереообраза.

отсутствует двоение наблюдаемого

По

резупьтатам

 A_1 Л B_3 $\partial \delta$

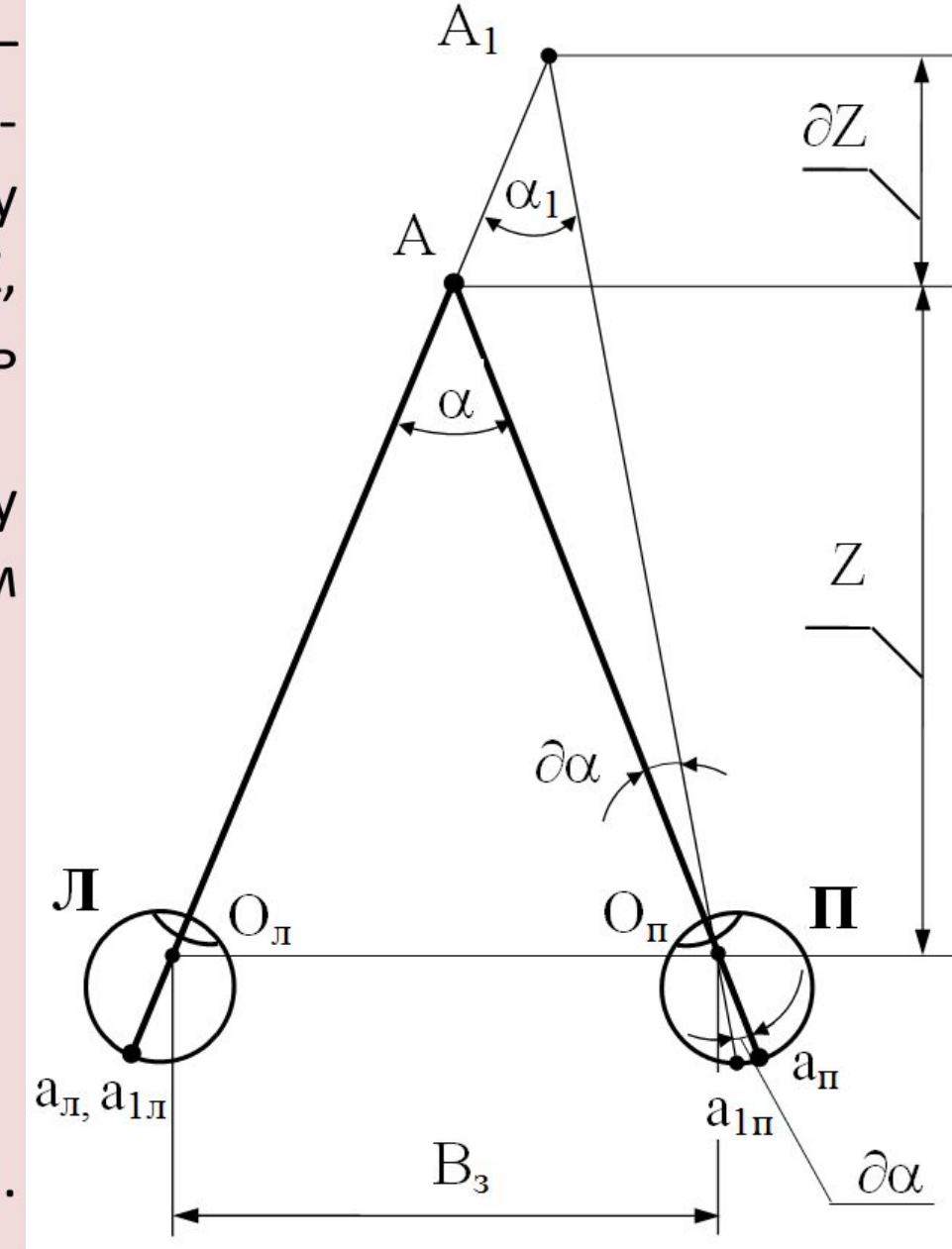
3. Порог различения глубины — минимальная разница в расстоянии по глубине сцены между двумя точками (плоскостями) ∂Z, которую человек может ощутить стереоскопическим зрением.

Найдем связь между величиной ∂Z и приращением угла $\partial \alpha$.

, Из треугольника $O_{_{J}}AO_{_{\Pi}}$: tg $\frac{\alpha}{2}=\frac{B_3}{27}$.

Тогда

$$\alpha = \frac{B_3}{Z}$$
 (1). Продифференцируем (1) по величине удаленности Z.

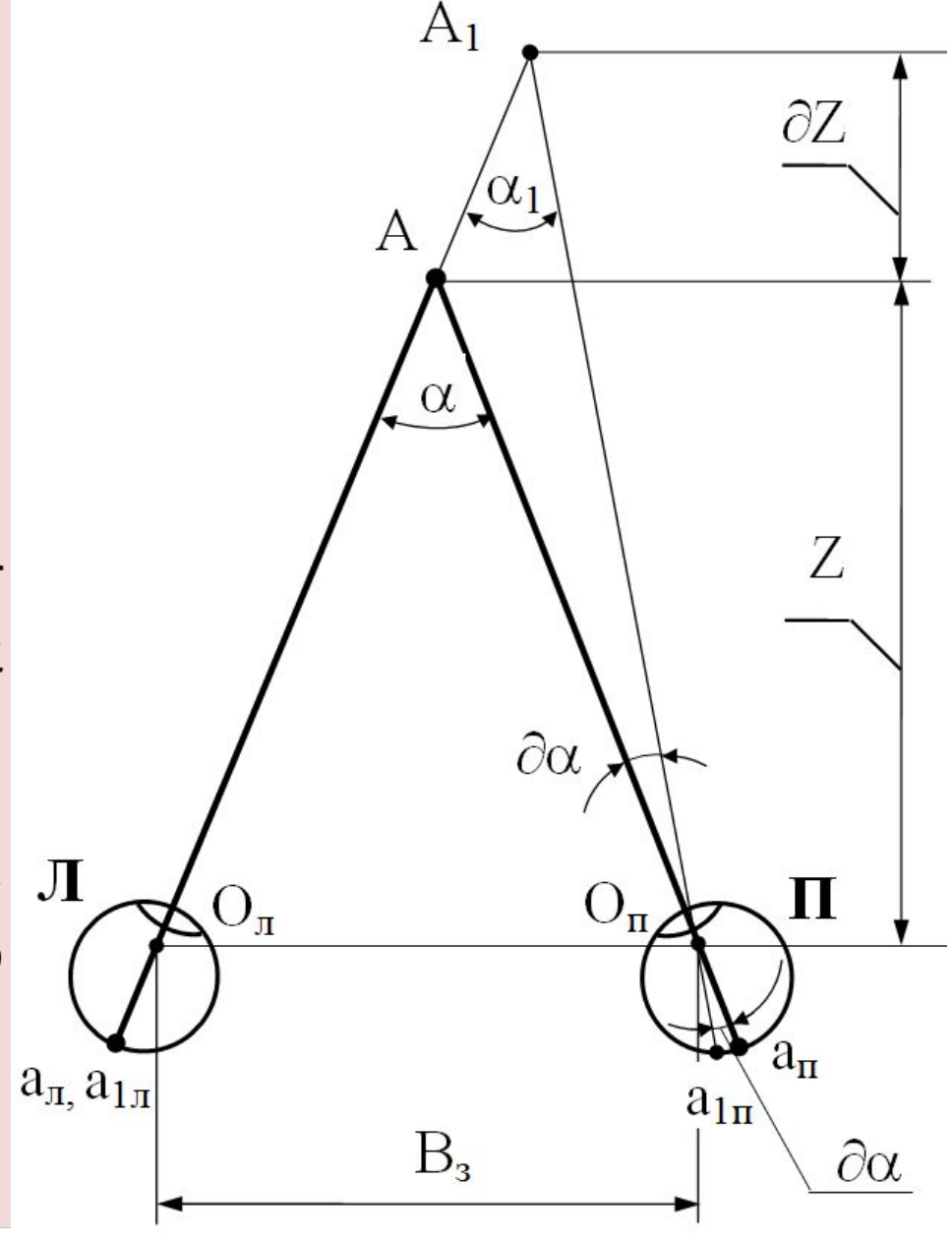


$$\partial \alpha = -\frac{B_3}{Z^2} \partial Z$$

Откуда

$$\partial Z = -\frac{Z^2}{B_3} \partial \alpha . \qquad (2)$$

Оценим численно порог различения глубины. Если угол $\partial \alpha$ принять равным величине порога стереоскопического зрения $\partial \delta_{\text{min}}$, т.е. $\partial \alpha = \partial \delta_{\text{min}} = 10" = 4,85 \cdot 10^{-5}$ рад, то при $B_3 = 0,065$ м и расстоянии до объекта Z=1 м $\partial Z = 0,75$ мм; при Z=10 м $\partial Z = 7,5$ м.



Радиус ∂Z стереоскопического зрения - α_1 расстояние (Z), такое превышении которого величина углового параллакса становится меньше величины порога стереоскопического зрения. Начиная с ЭТОГО расстояния бинокулярные факторы пространственного зрения перестают действовать. При этом наблюдатель не в Л O_{π} состоянии будет оценивать взаимную удаленность $a_{\pi}, a_{1\pi}$ объектов в пространстве. B_3 Положим, что $\alpha = \partial \delta_{\min} = 10$ = 4,85 ·10⁻⁵ рад. Тогда из формулы (1) при В₃=0,065 м получим: Z=**1340**

1.1.4 Требования к системам формирования объемного изображения

Основные

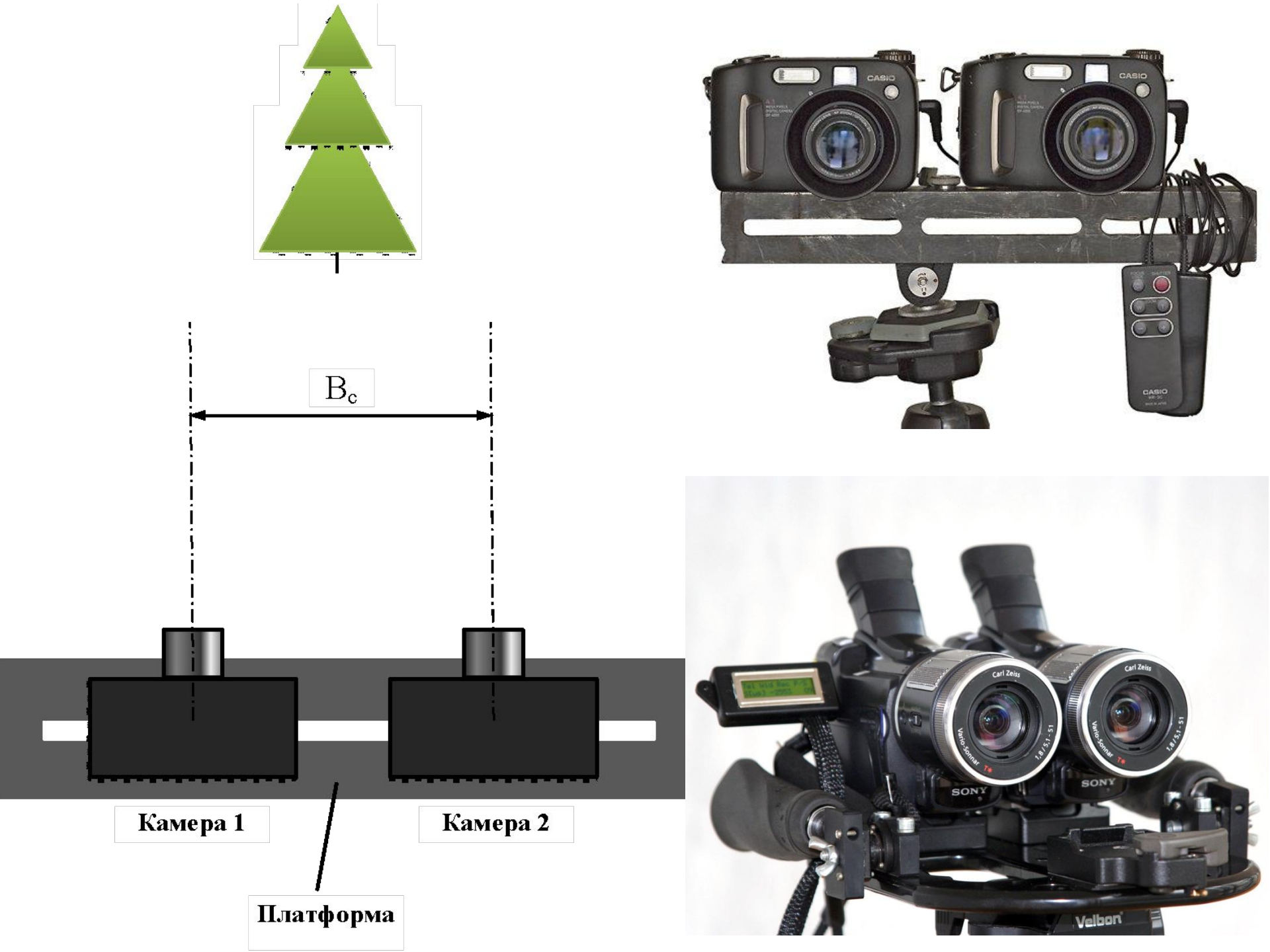
- способность системы созда**ва Сорва нь Съб**изображений на сетчатках глаз;
- возможность задействования монокулярных факторов пространственного зрения;
- стремление к достижению максимального использования остроты стереоскопического зрения человека;
- отсутствие или, по крайней мере, минимизация возможных искажений при передаче пространственного образа;
- отсутствие диплопии;
- отсутствие расхождения расстояний конвергенции и аккомодации или, по крайней мере, не превышение величины «зоны комфорта»;
- предоставление достаточной области пространства для размещения глаз наблюдателя, откуда может вестись бинокулярный просмотр с целью обеспечения подвижности наблюдателя;
- обеспечение достаточного времени наблюдения изображения для возникновения устойчивого объемного образа;
- обеспечение возможности одновременного рассматривания объемного изображения многими зрителями.

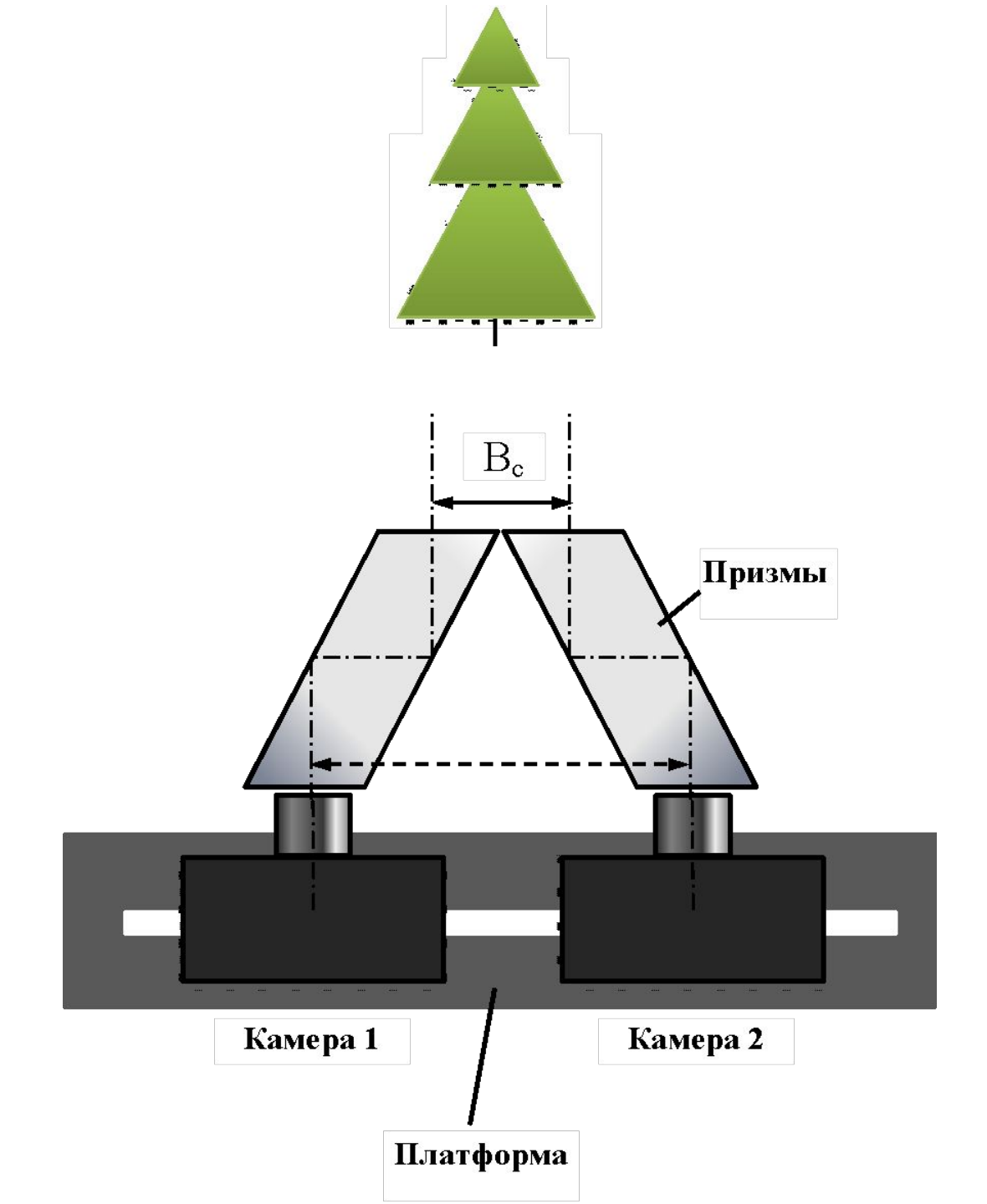
Раздел 2. Методы и аппаратура создания объемных изображений

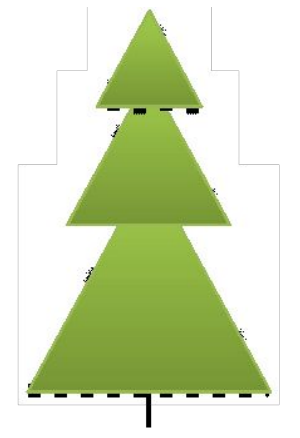
Тема 2.1 Обычные одноракурсные стереоскопические системы

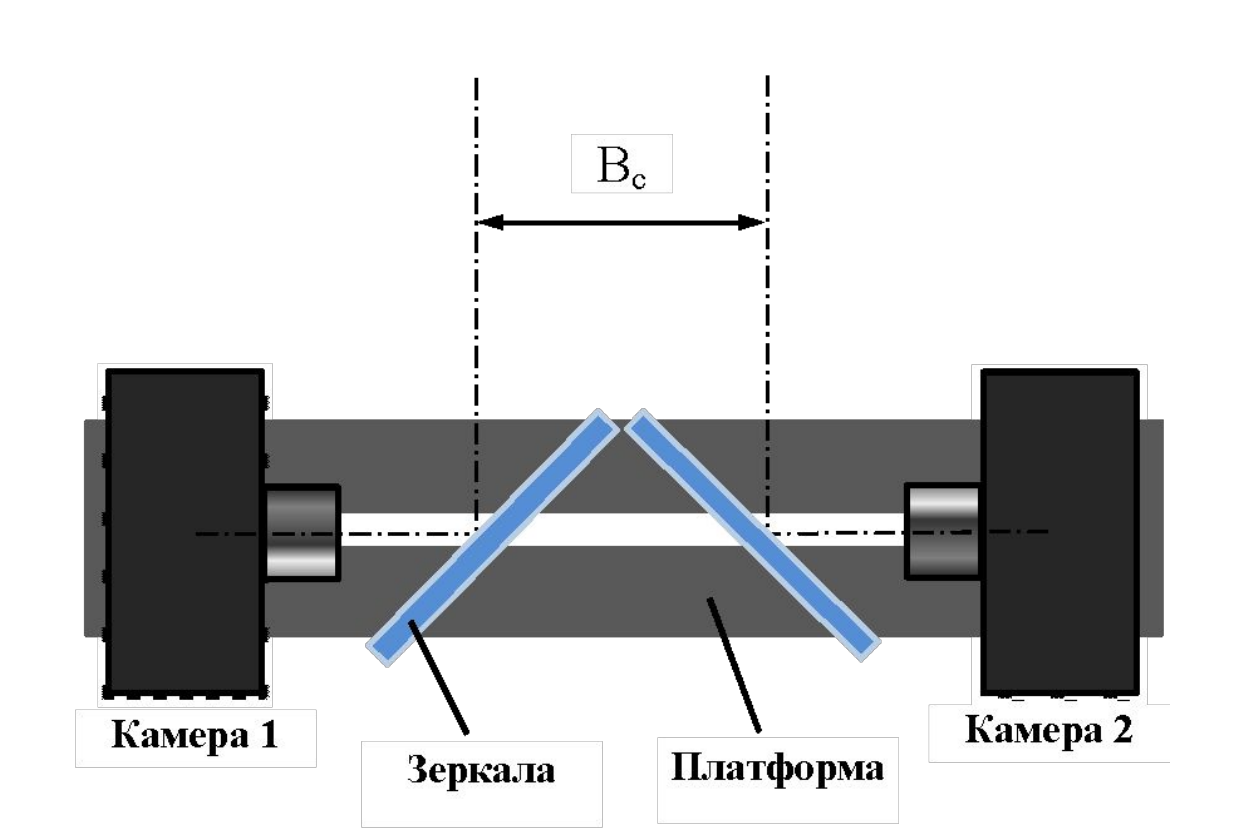
2.1.1 Принципы формирования объемных изображений в обычных одноракурсных системах

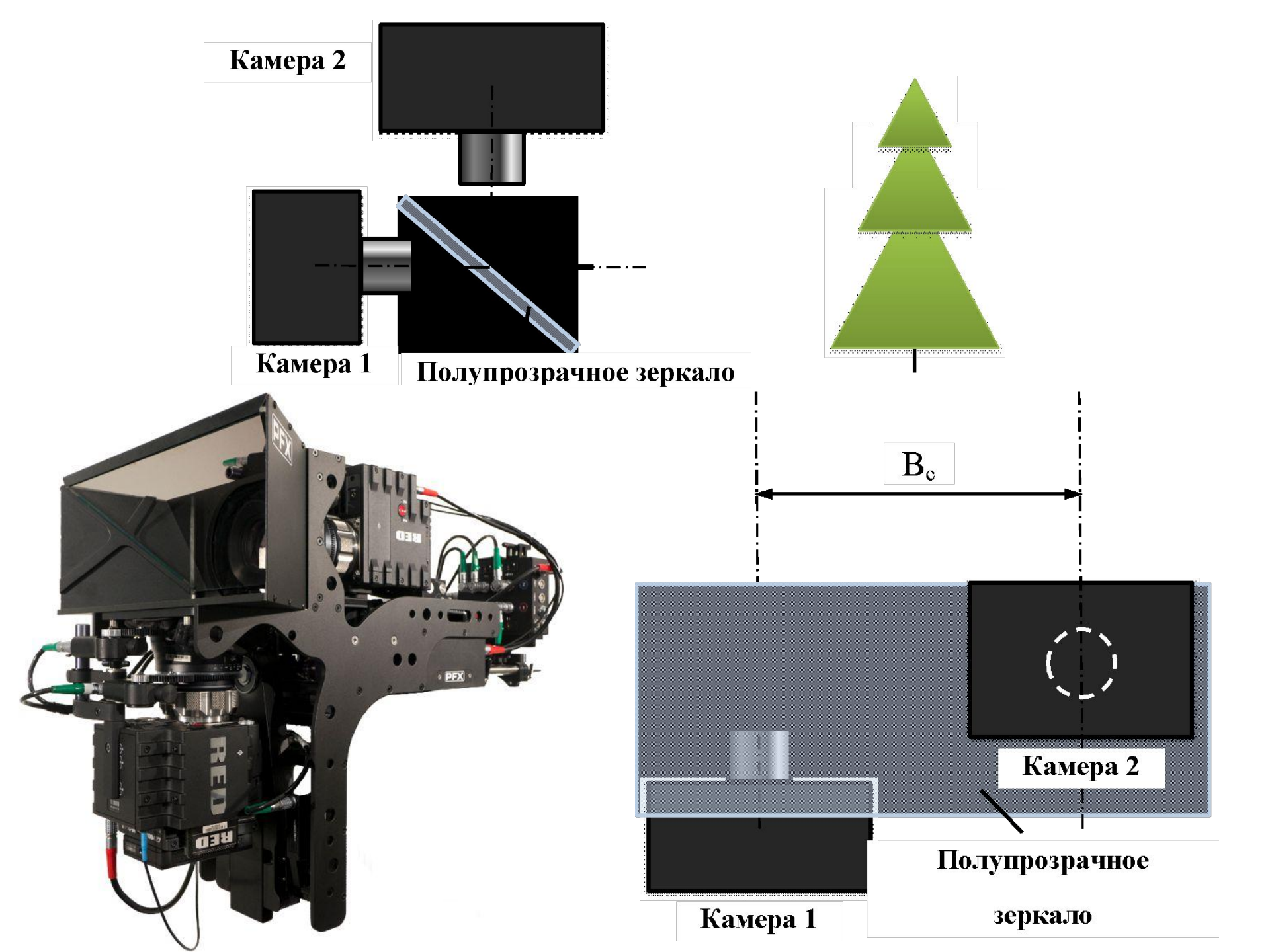
2.1.2 Методы и аппаратура для съемки стереопары



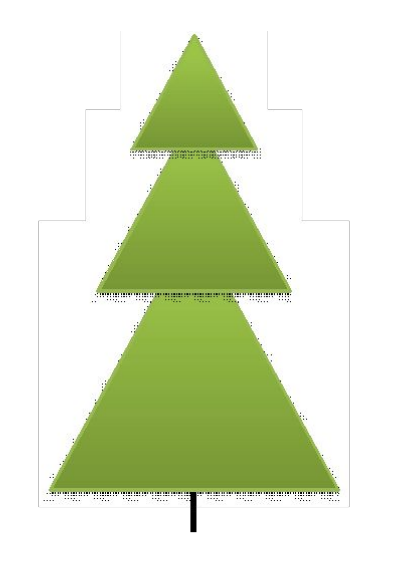








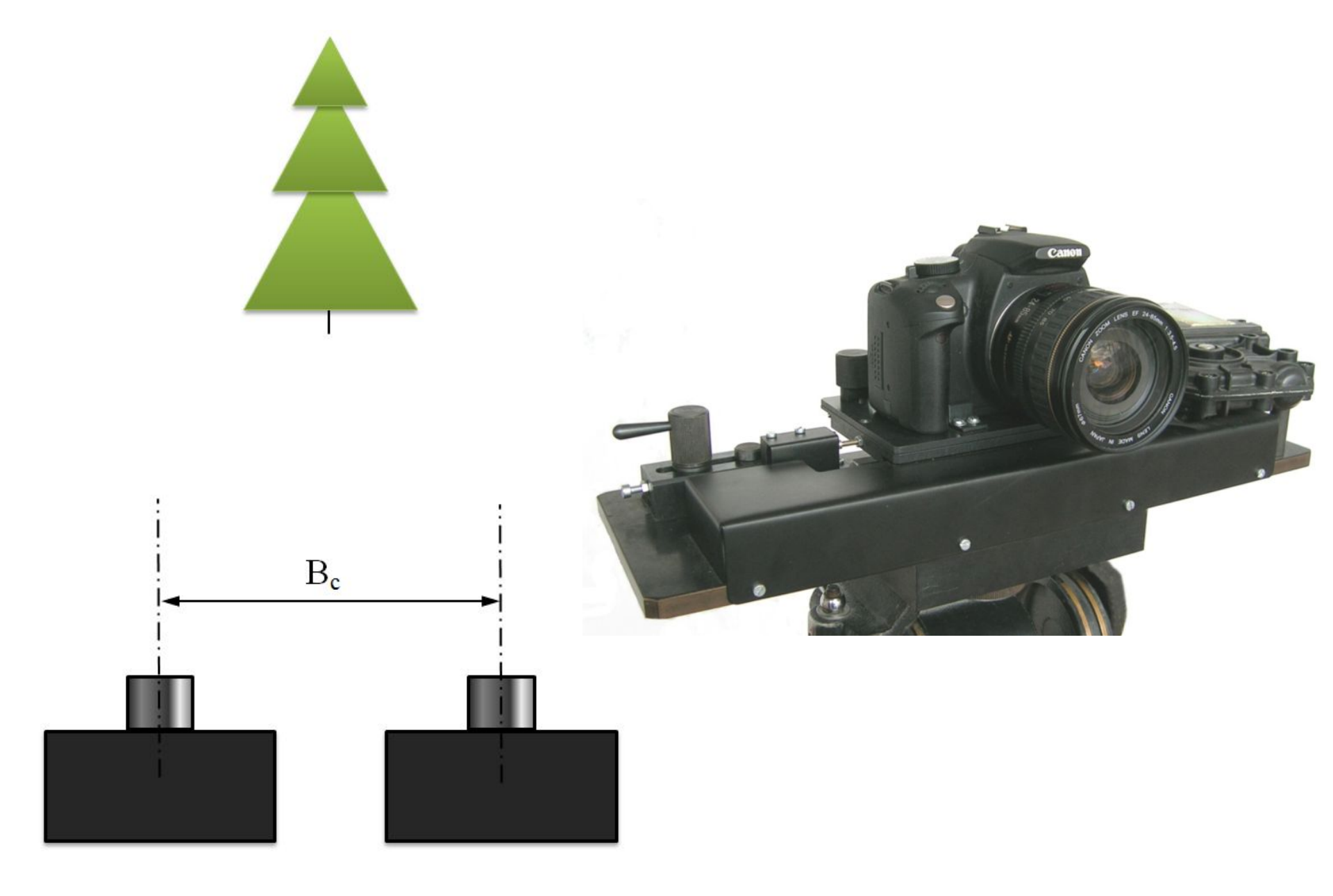




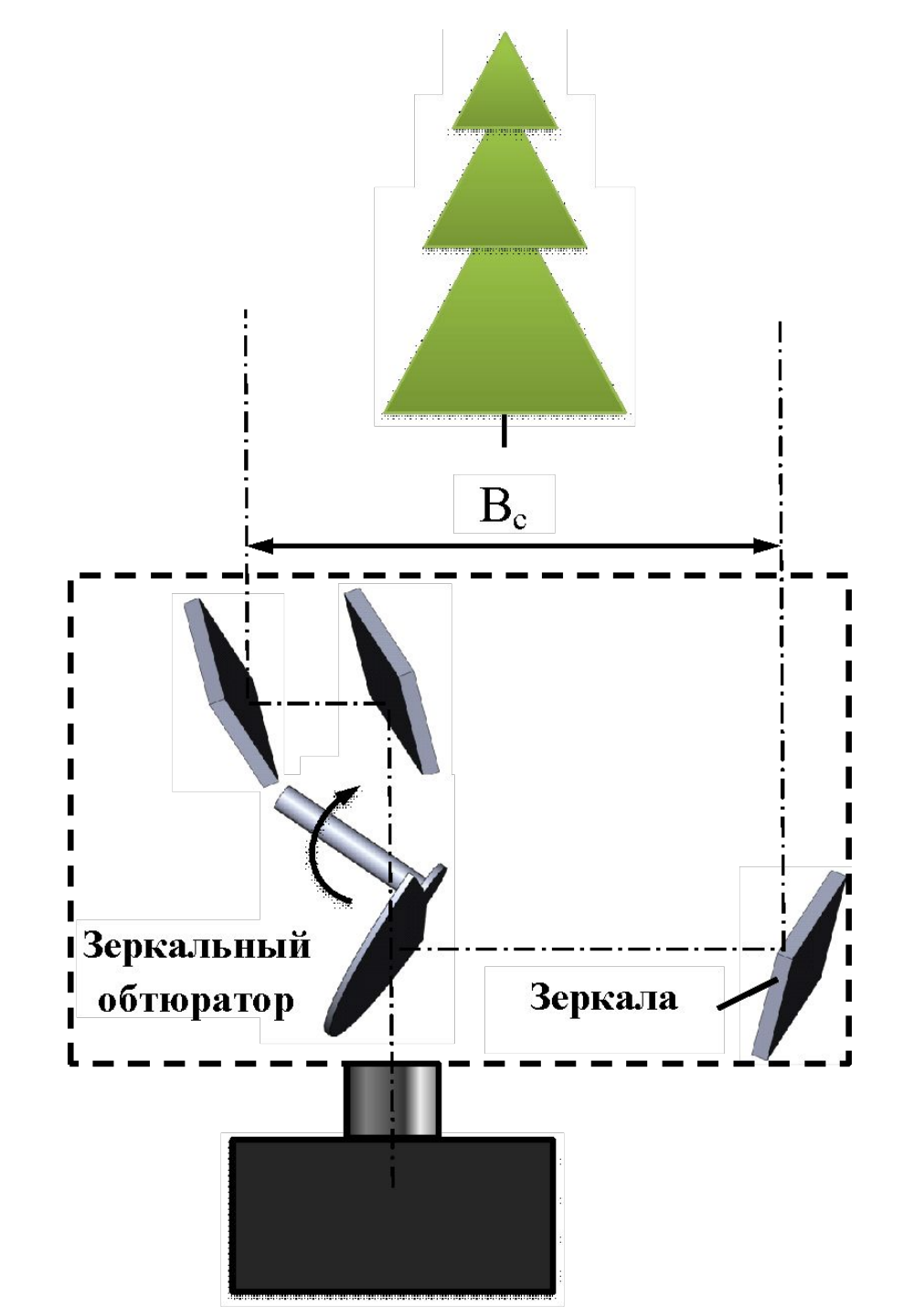


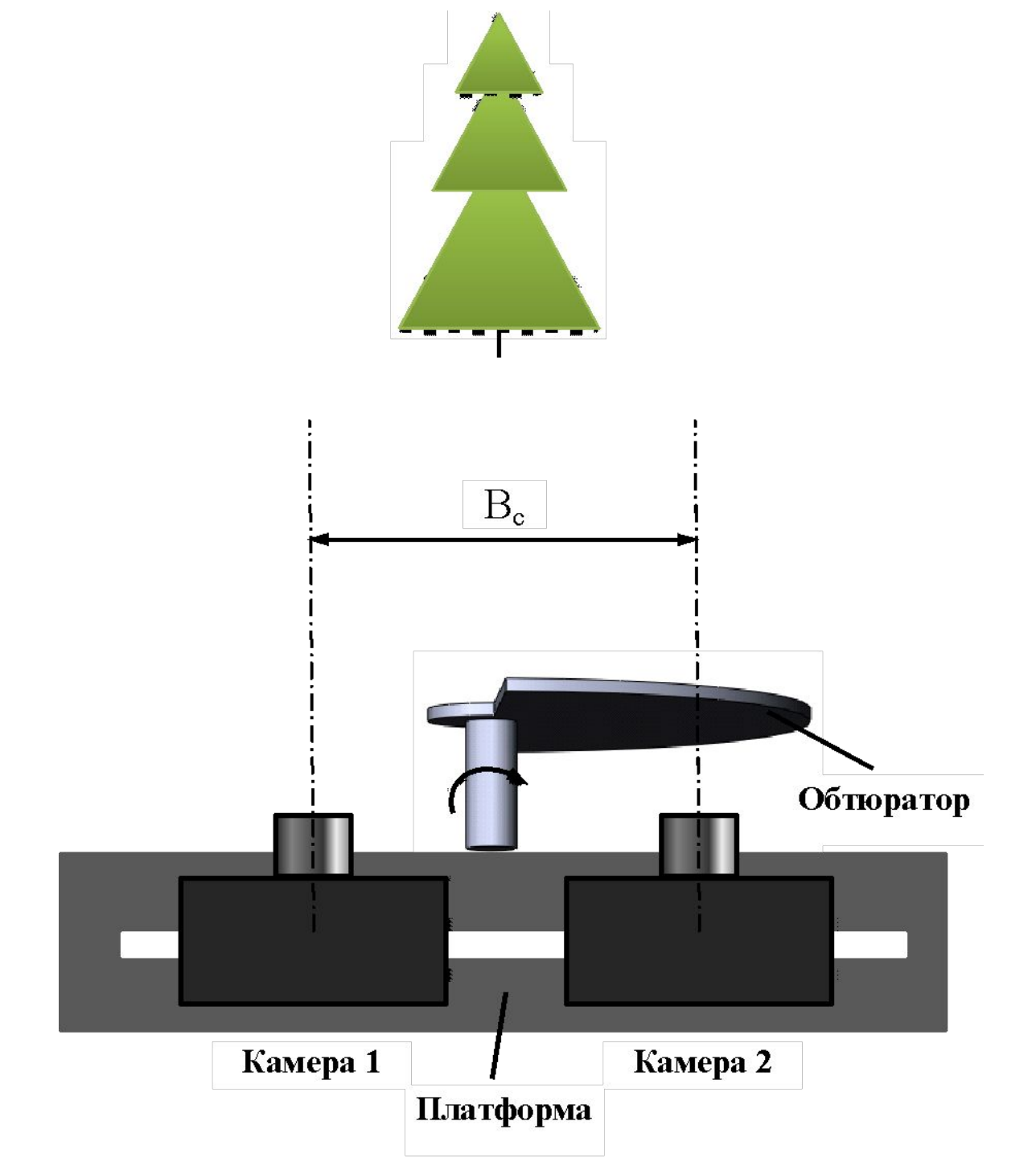


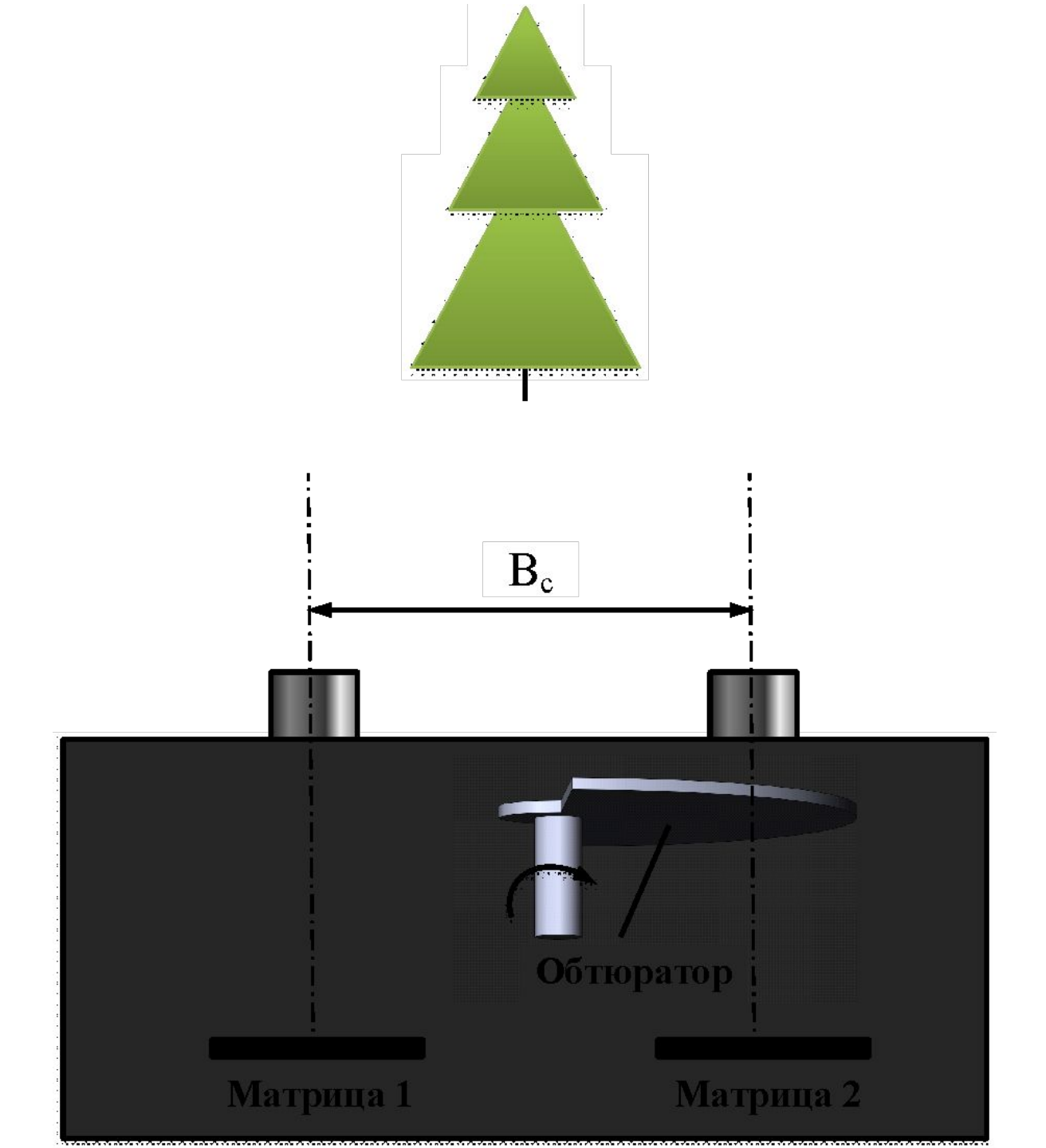




1 положение — → 2 положение





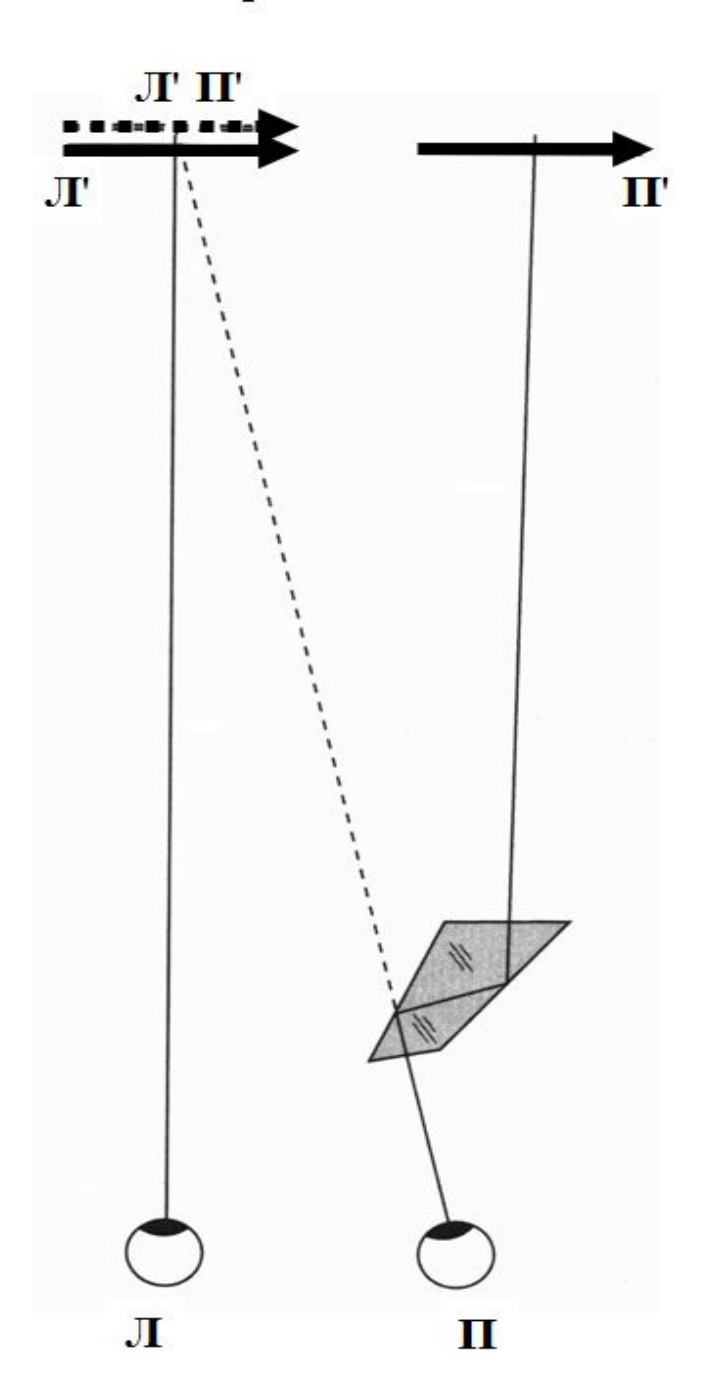


2.1.3 Методы укладки (предъявления) изображений стереопары при воспроизведении

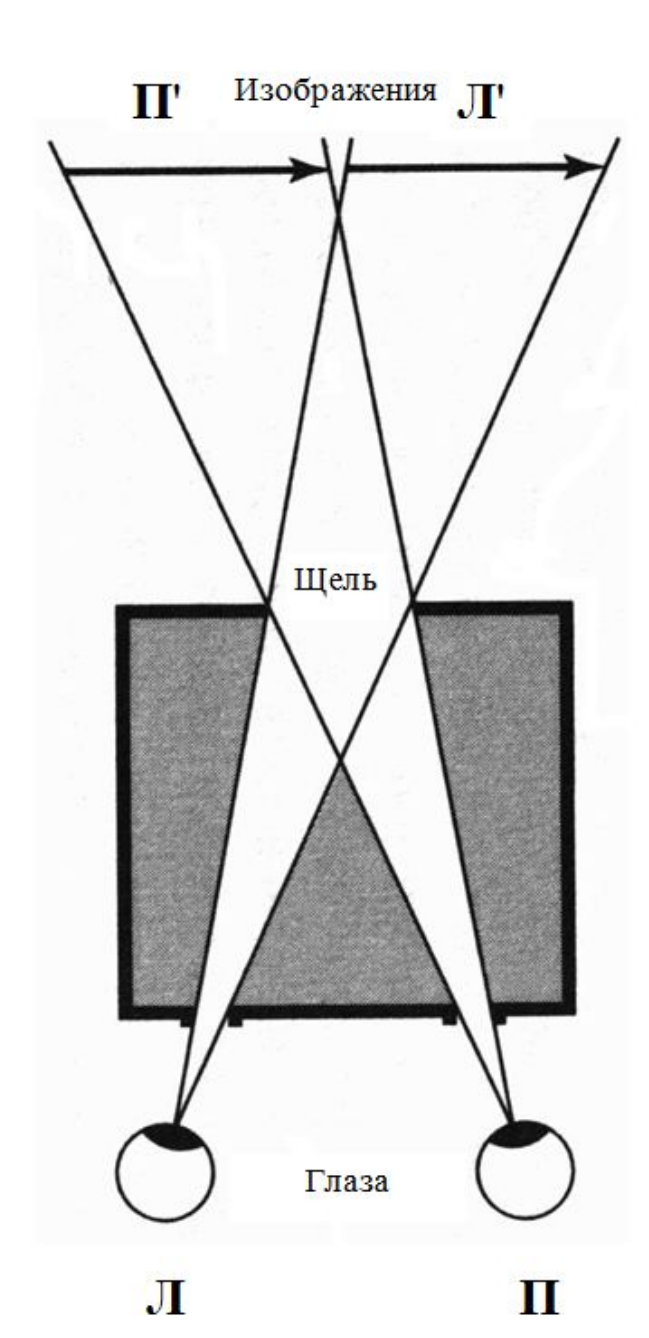
| Пространственный Временной критерий критерий | Разнесены в пространстве | Пространственно наложены |
|--|-----------------------------|-----------------------------|
| Воспроизводятся одновременно | 1 П | 3 |
| Воспроизводятся поочередно | <u>Д</u> | 4 |

Вариант 1. Пространственная сепарация

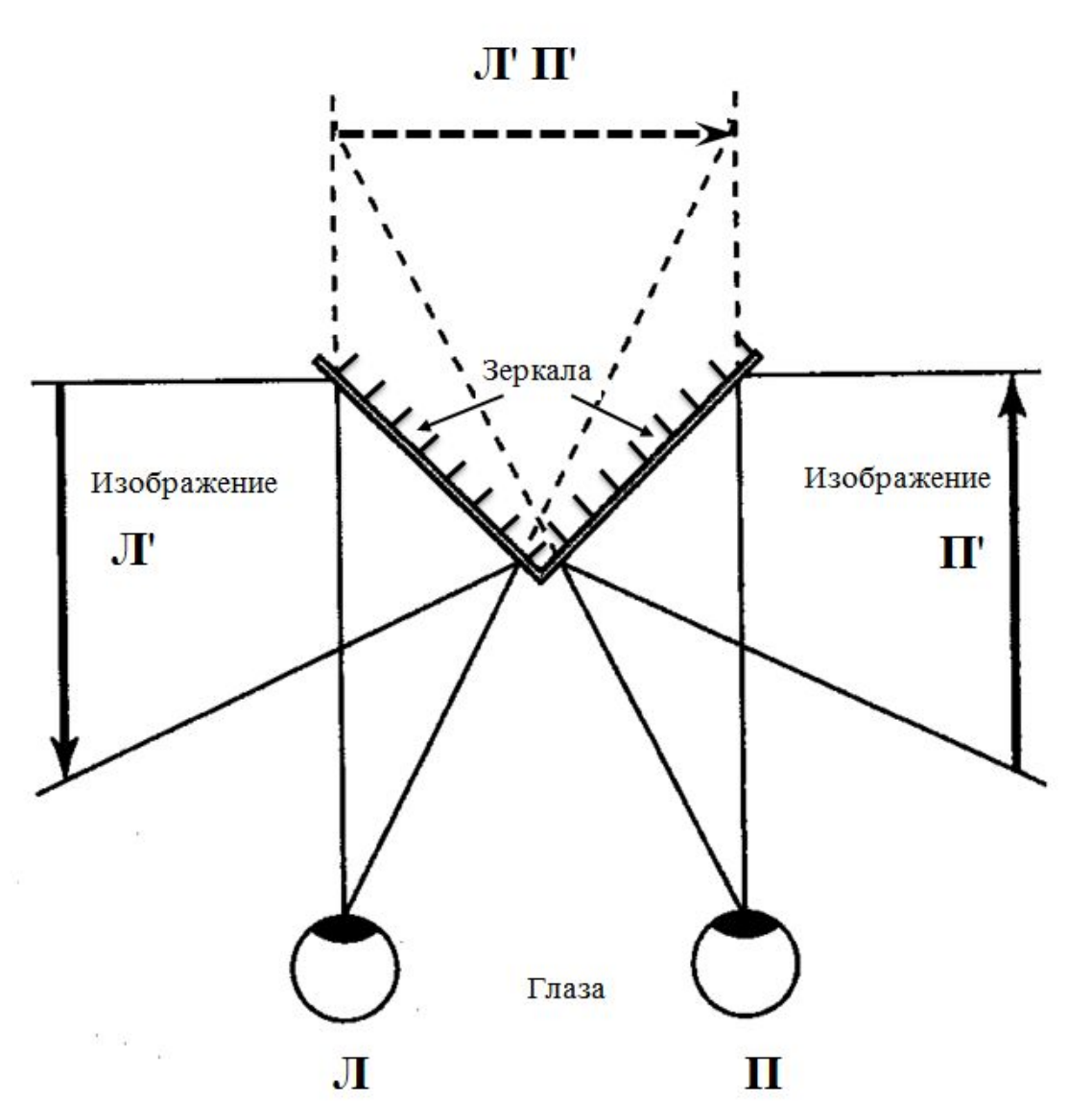
Стереомонокль

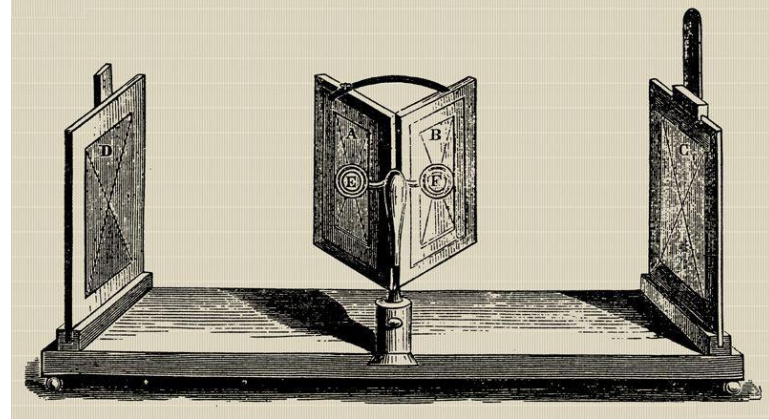


Щелевой стереоскоп Эллиота

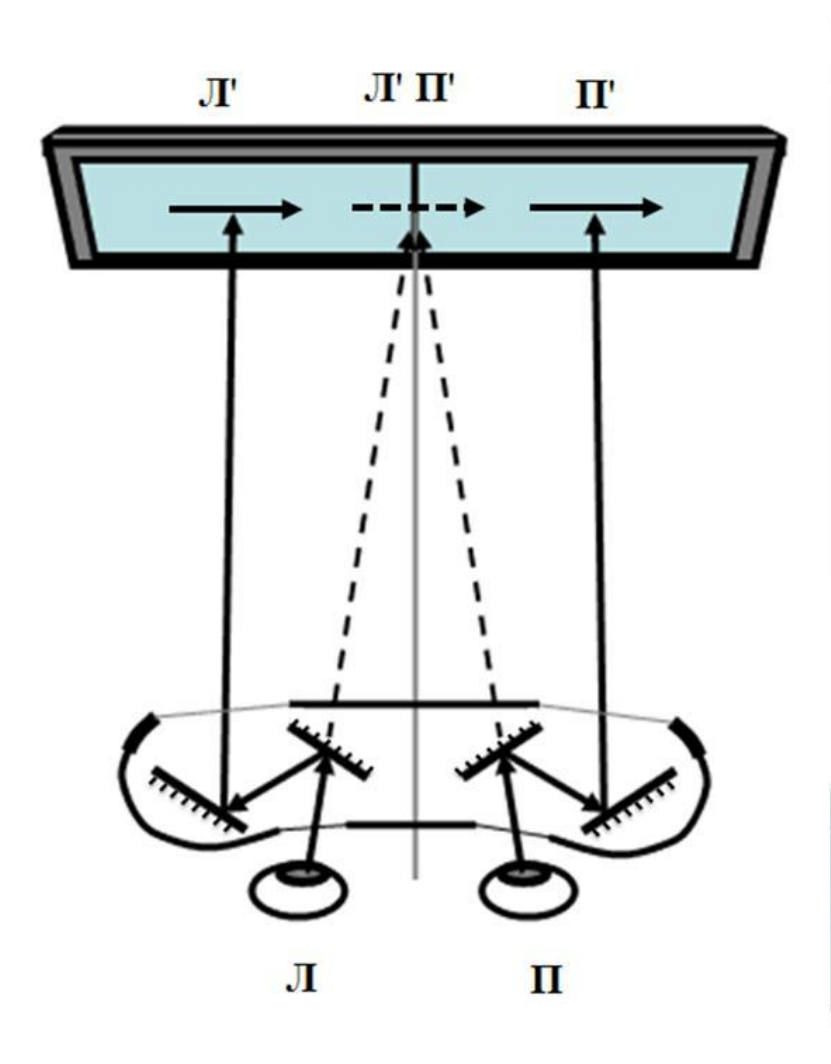


Зеркальный стереоскоп Ч. Уитстона





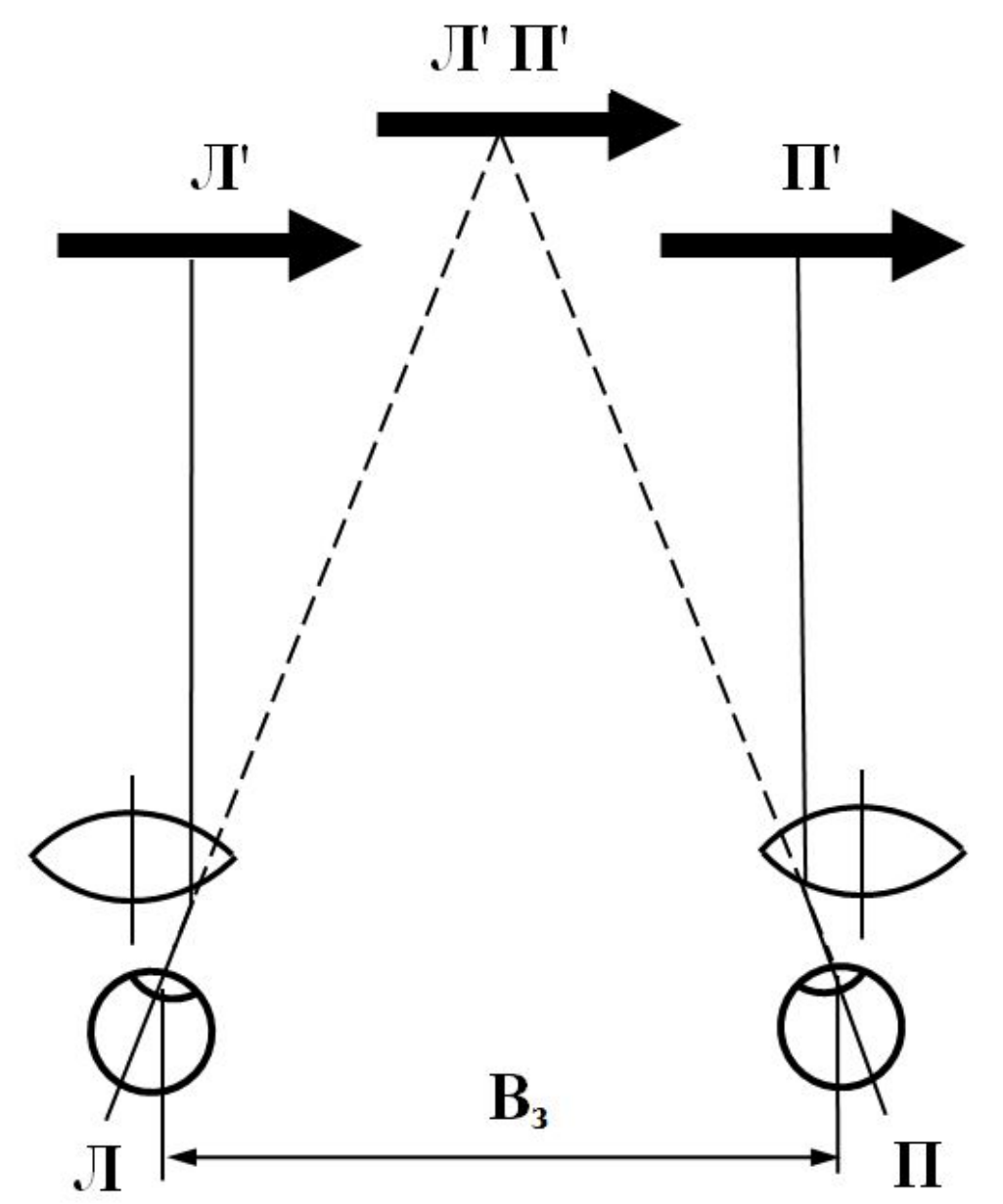
Четырехзеркальный стереоскоп

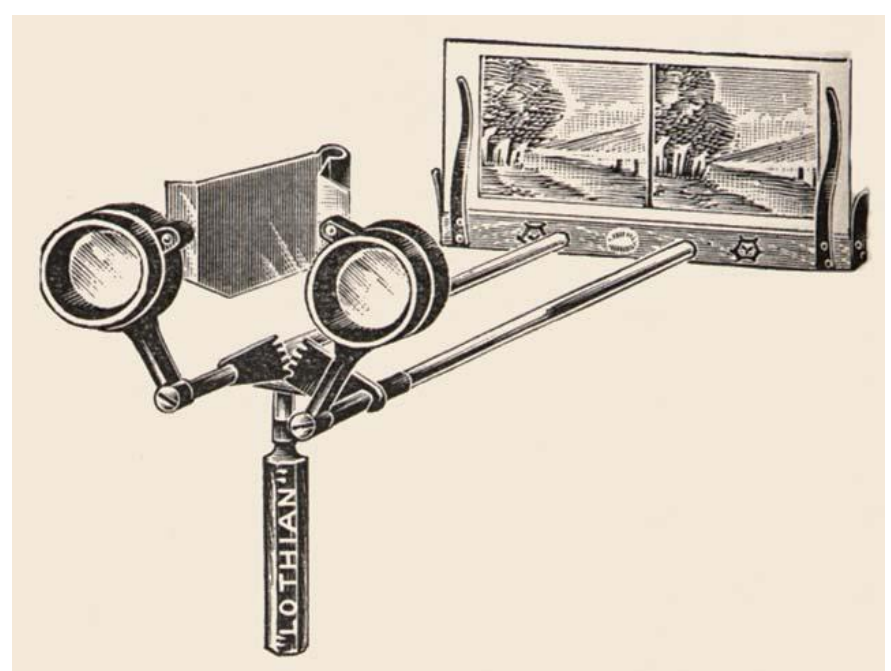


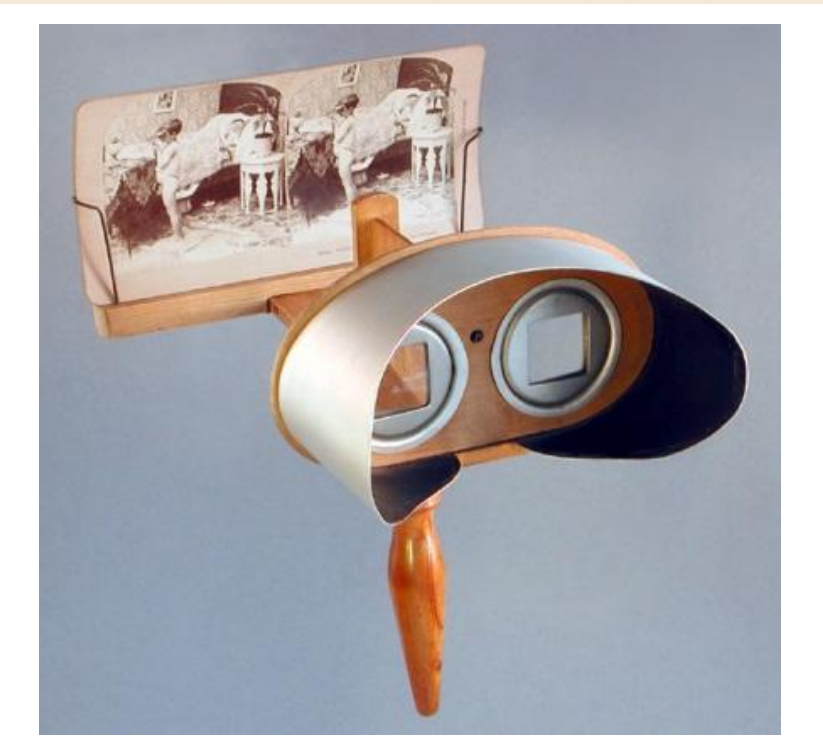




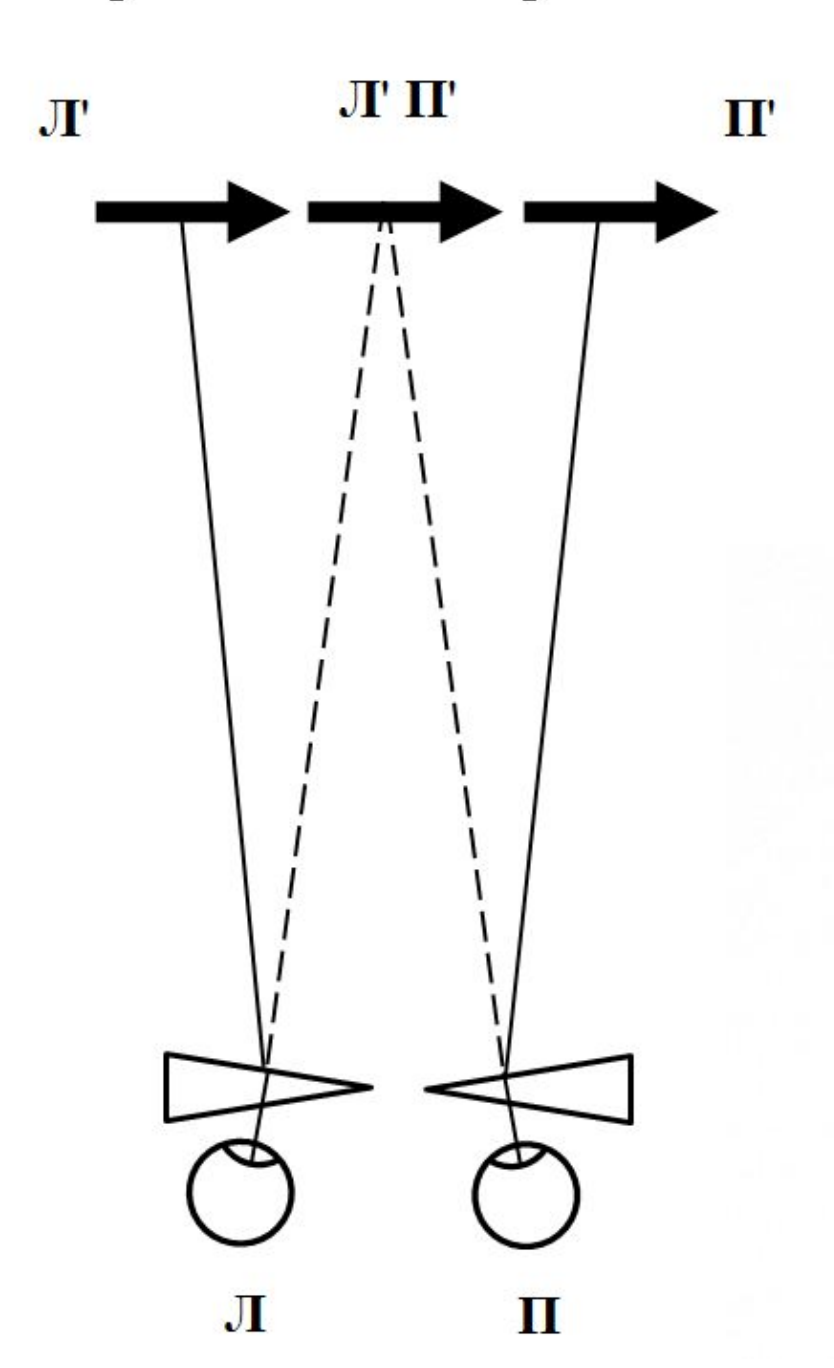
Линзовый стереоскоп







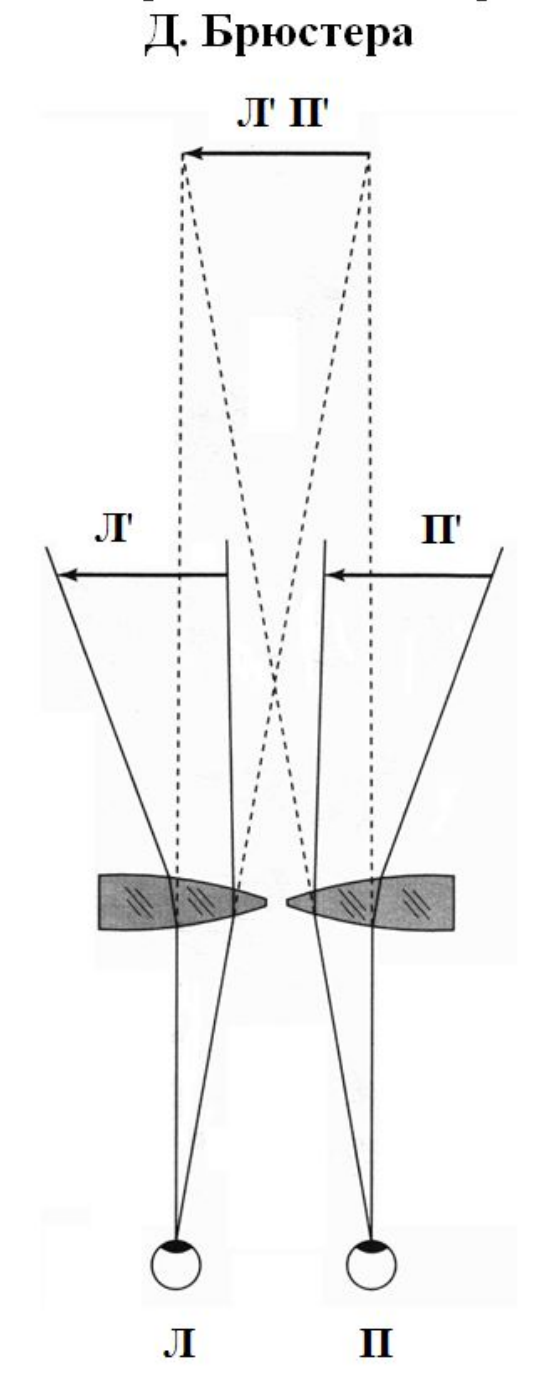
Призменный стереоскоп





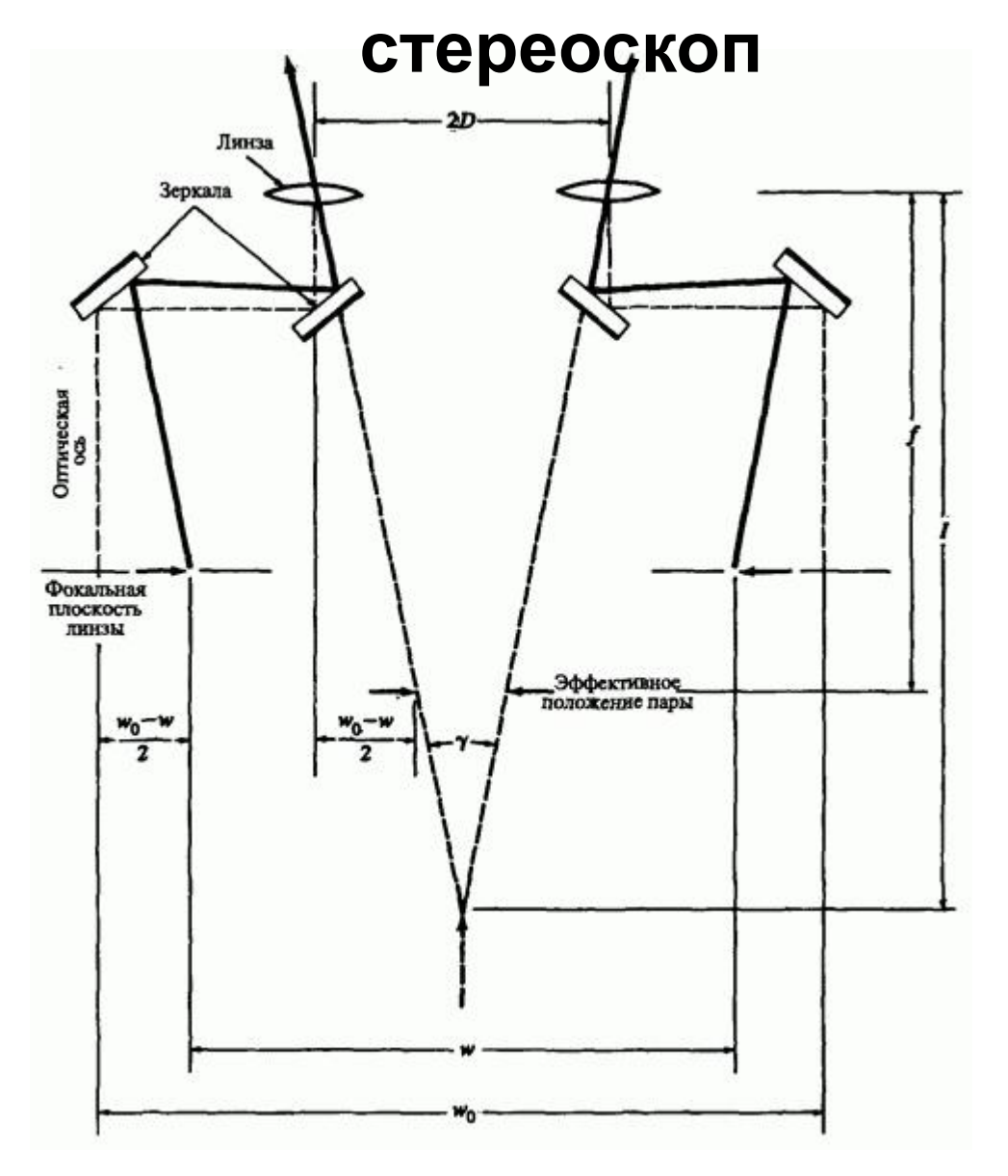


Линзово-призменный стереоскоп





Зеркально-линзовый





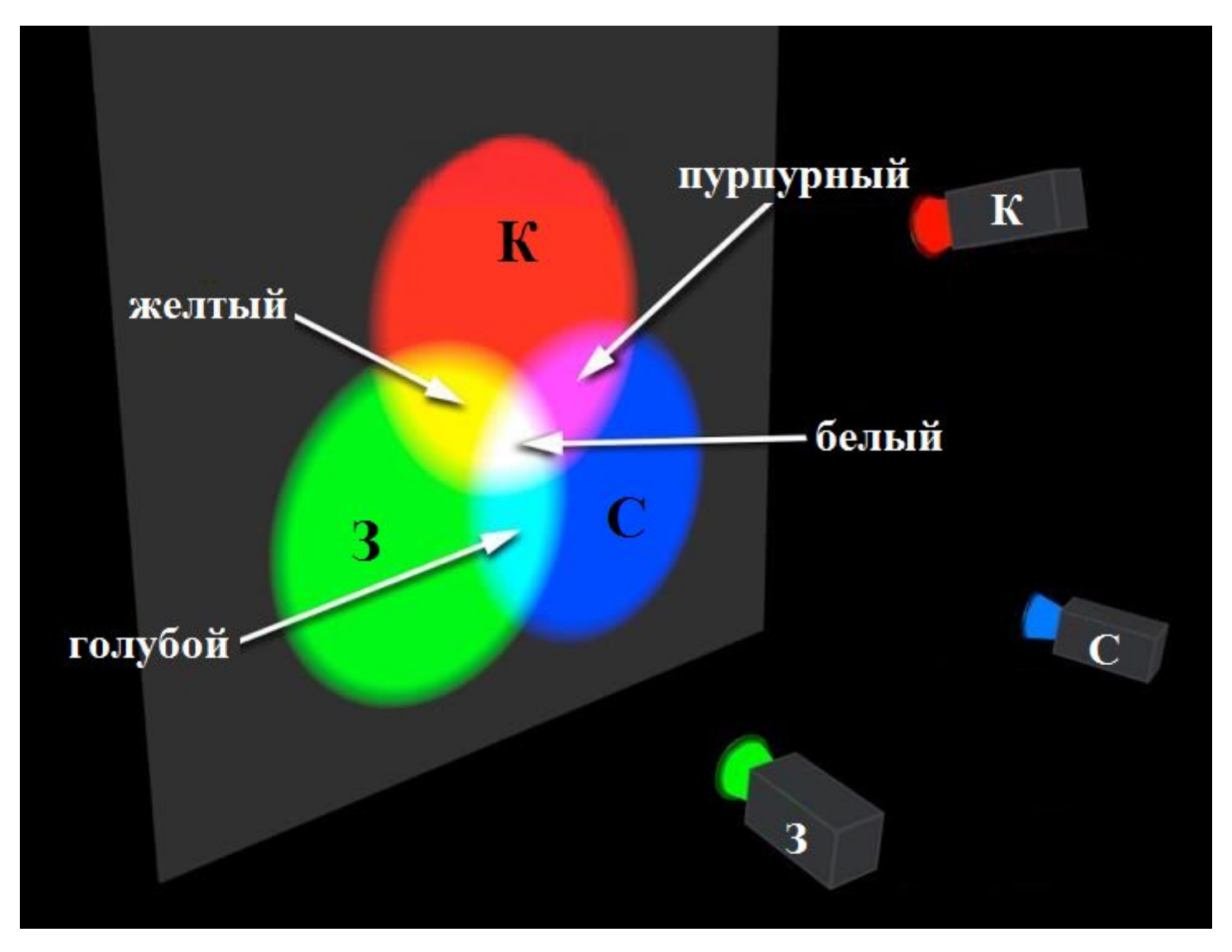
Вариант 3. Параметрическая сепарация

Вариант 3. Параметрическая сепарация

Сепарация на основе длины световой волны

Метод цветных анаглифов. Анаглифическая (анаглифная) сепарация

Аддитивный синтез цвета

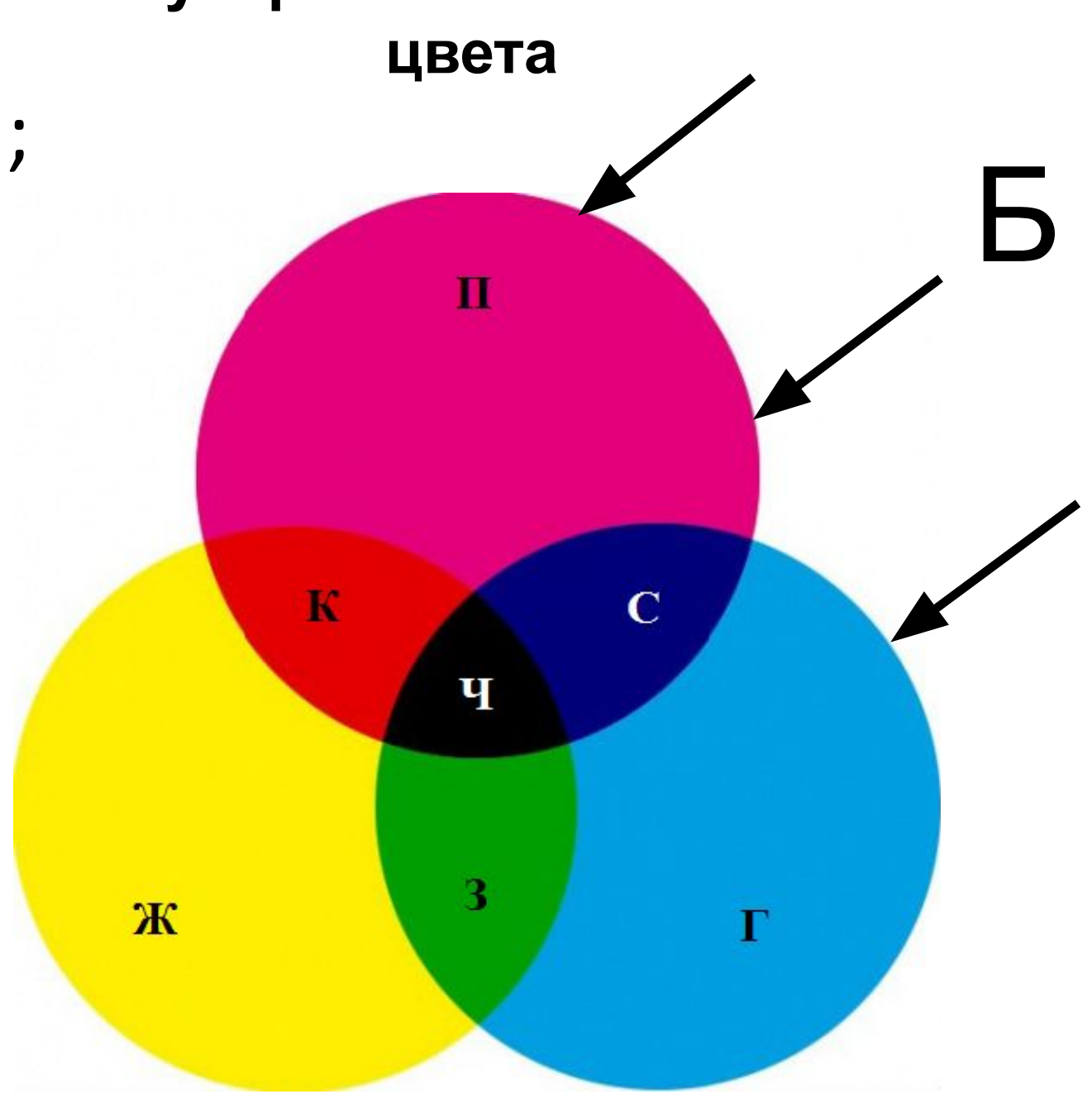


Субтрактивный синтез

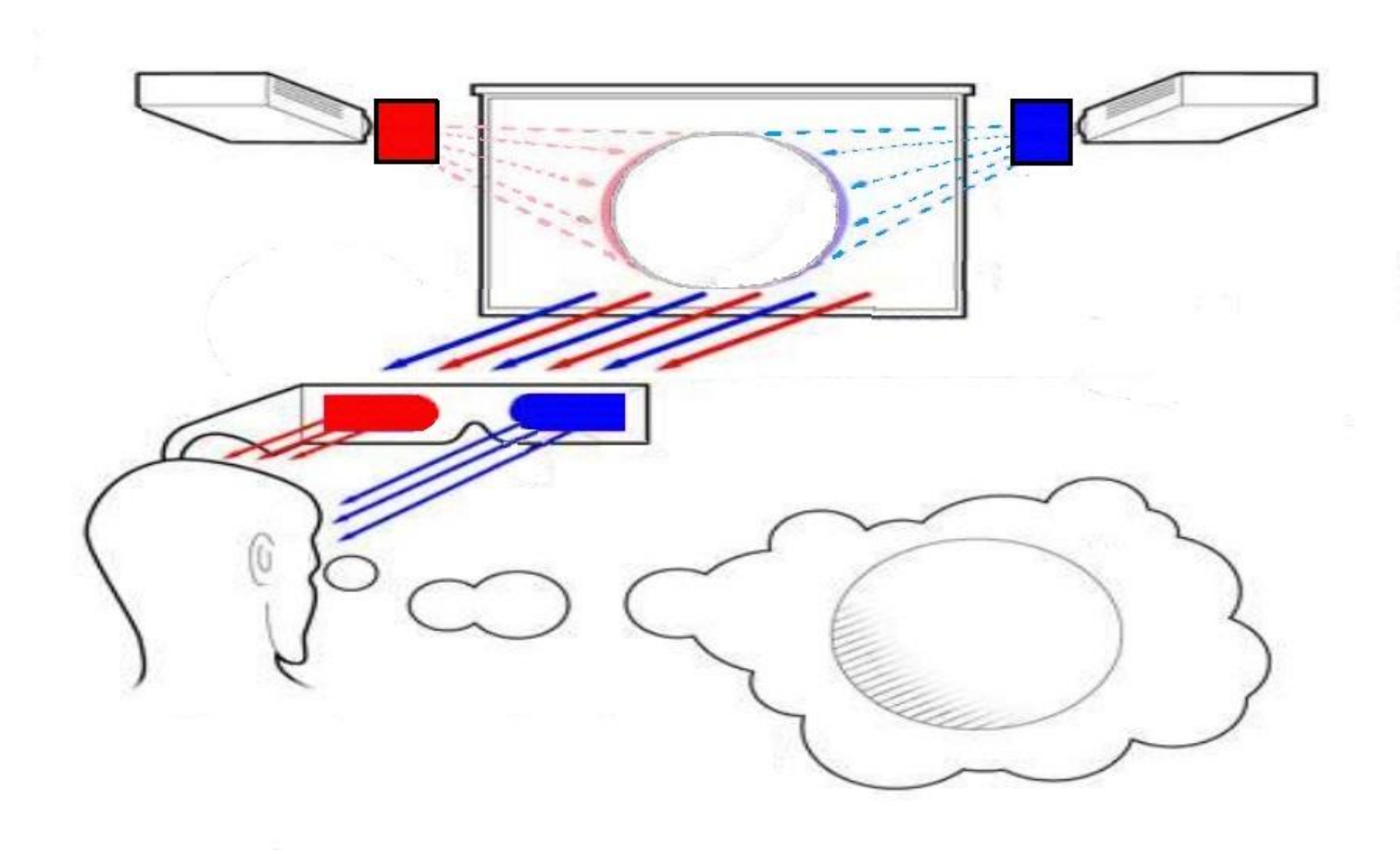


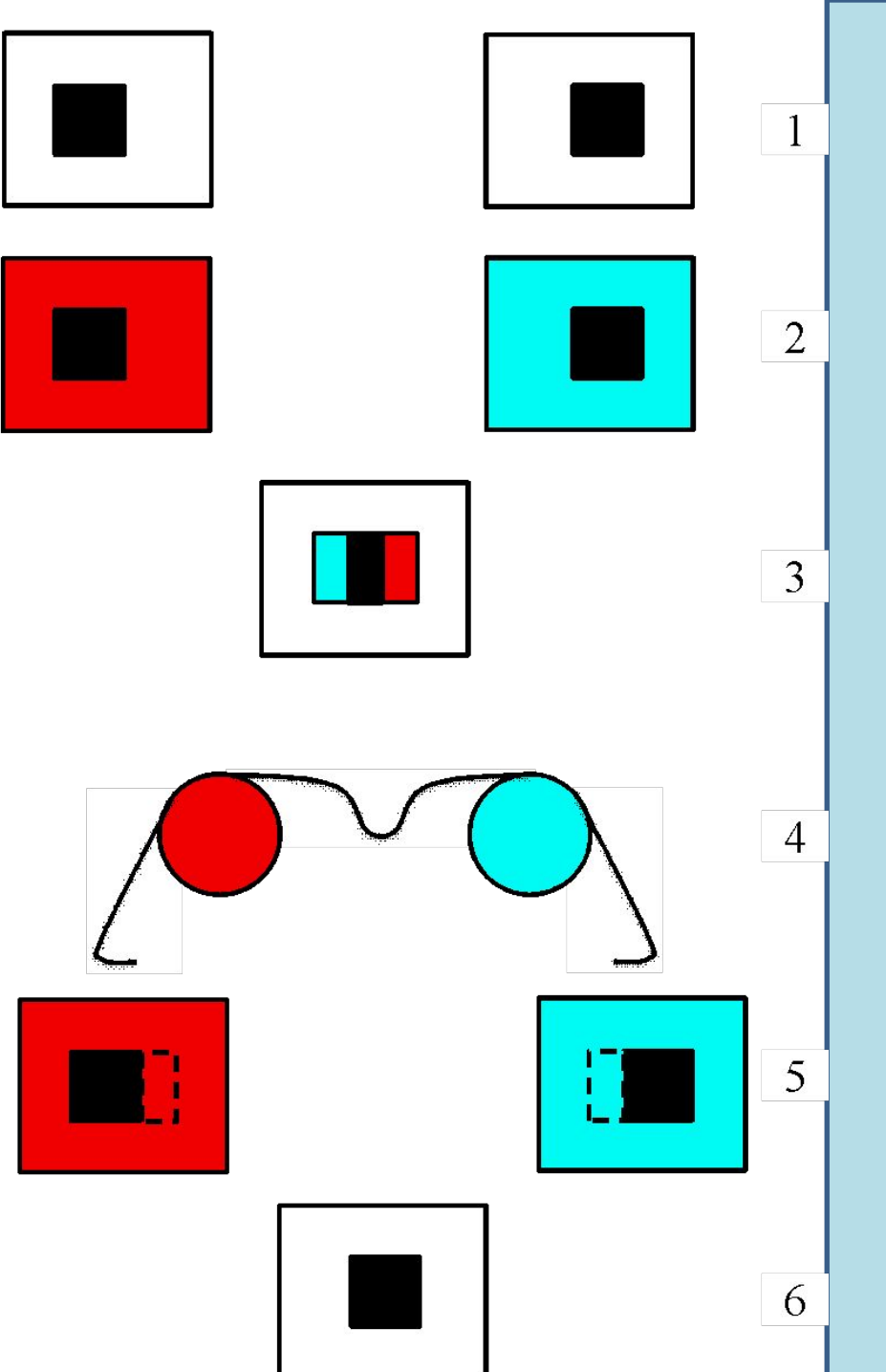
Б-3-

В-С; Ж=Ч



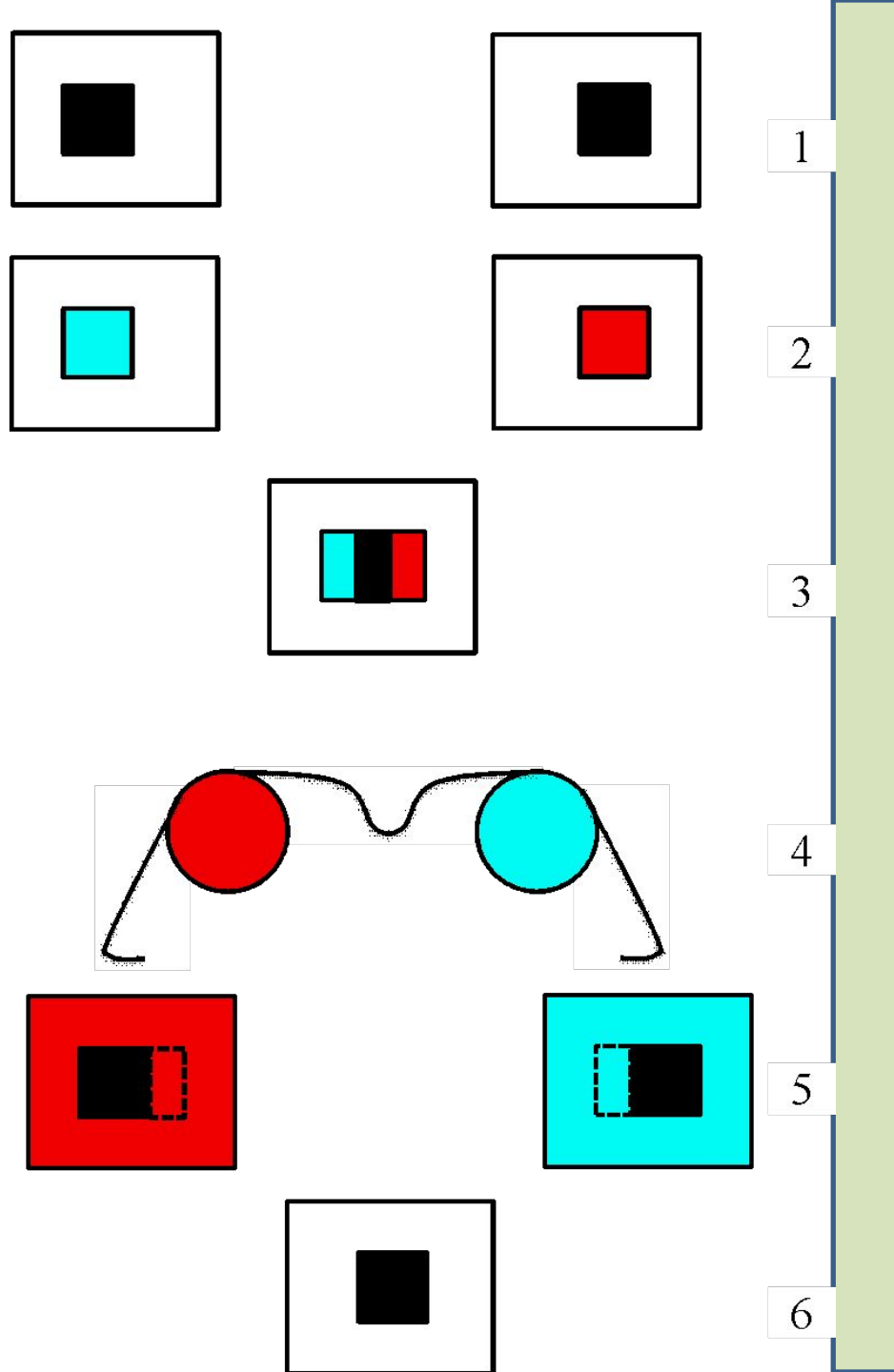
Проекция стереоизображения по аддитивному методу цветных анаглифов





Аддитивный метод цветных анаглифов

- 1 Исходные ч/б кадры стереопары
- 2 Отдельные кадры стереопары, проецируемые на экран через светофильтры
- 3 Совмещенные изображения кадров на экране
- 4 Стереоочки с анаглифами
- 5 Изображения на сетчатках глаз
- 6 Воспринимаемое изображение



Субтрактивный метод цветных анаглифов

- 1 Исходные ч/б кадры стереопары
- 2 Окрашенные изображения отдельных кадров стереопары
- 3 Совмещенные изображения кадров на экране
- 4 Стереоочки с анаглифами
- 5 Изображения на сетчатках глаз
- 6 Воспринимаемое изображение

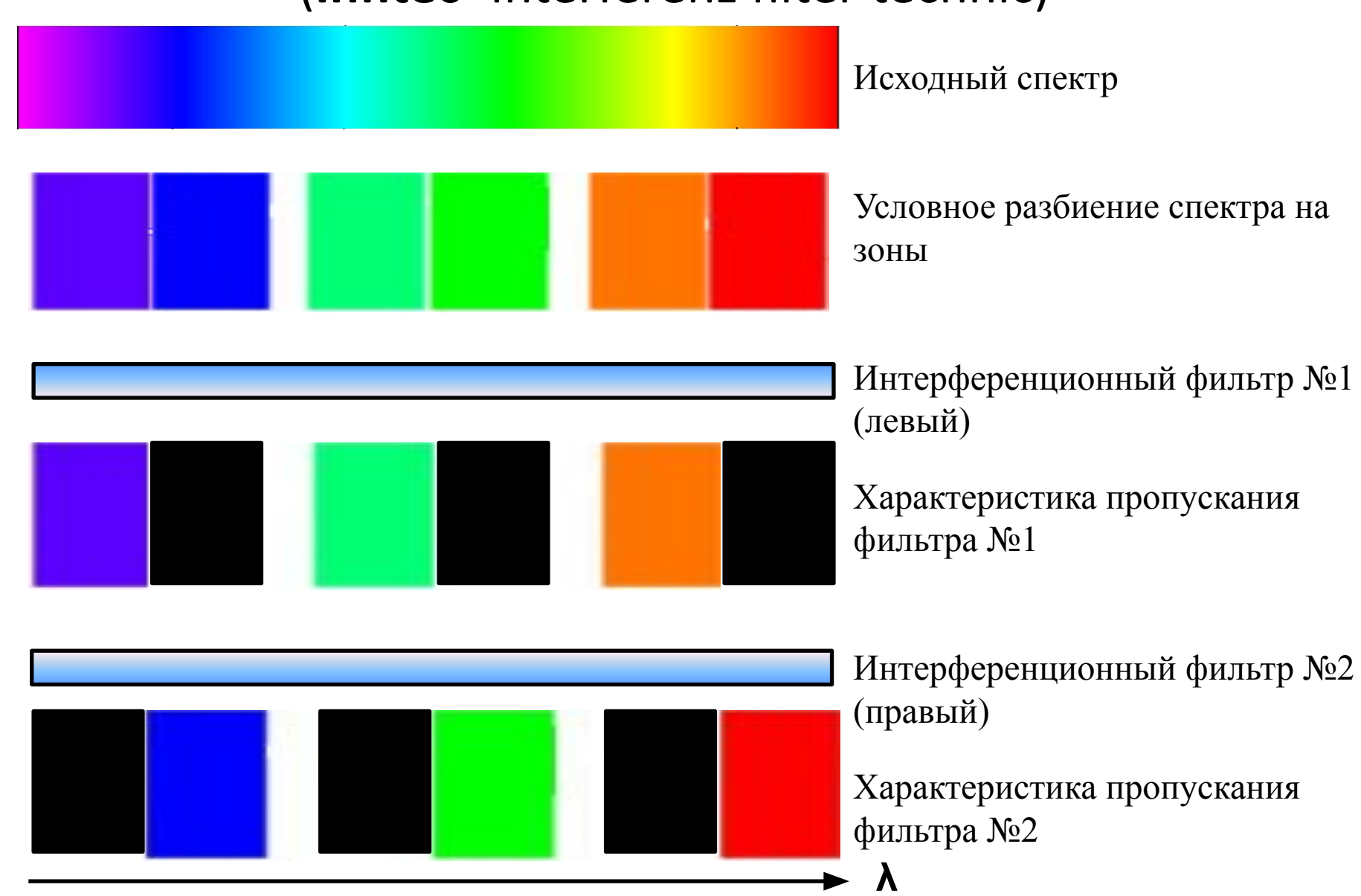
Вариант 3. Параметрическая сепарация

Сепарация на основе длины световой волны

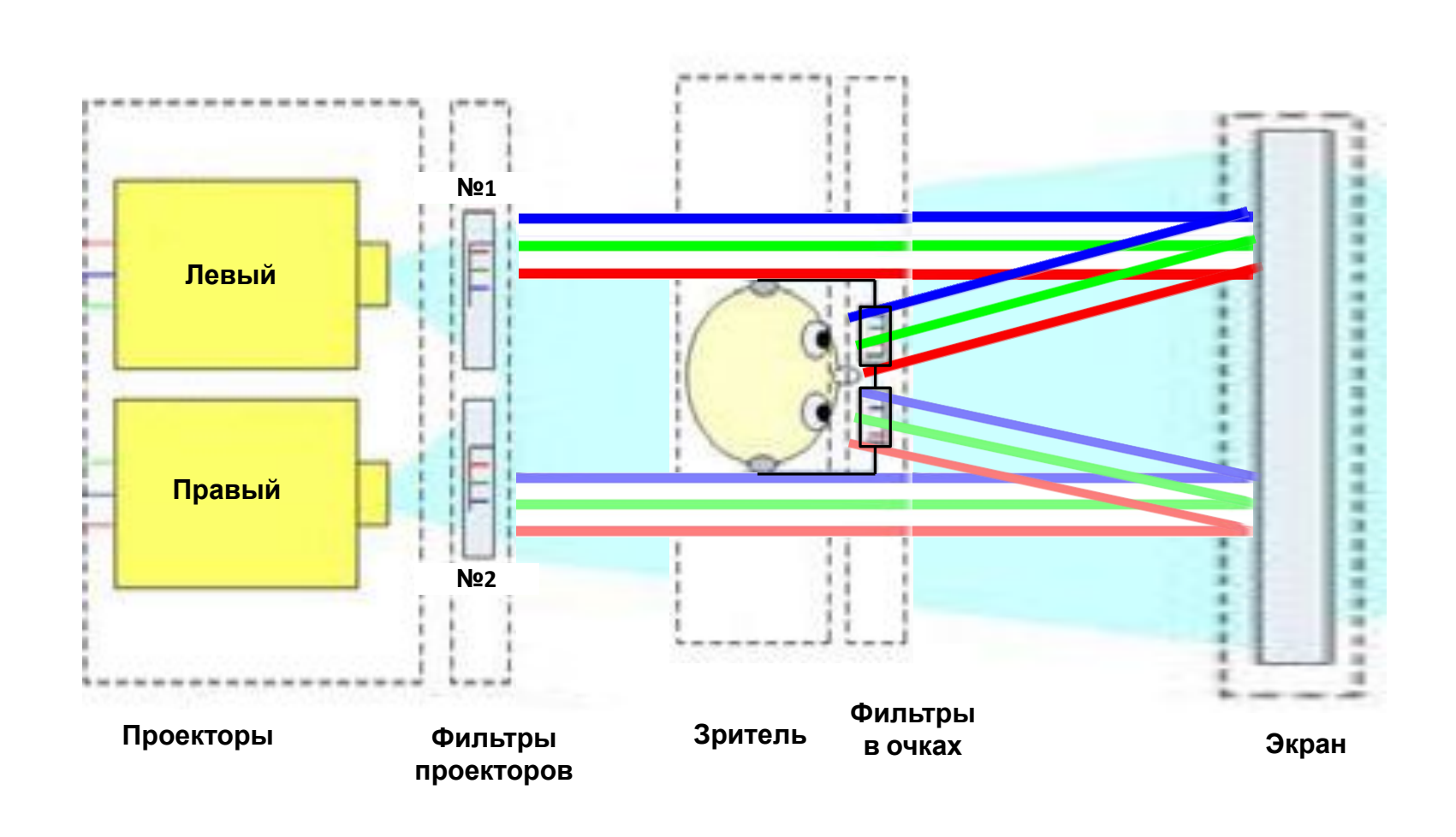
Метод интерференционных светофильтров

Метод интерференционных фильтров

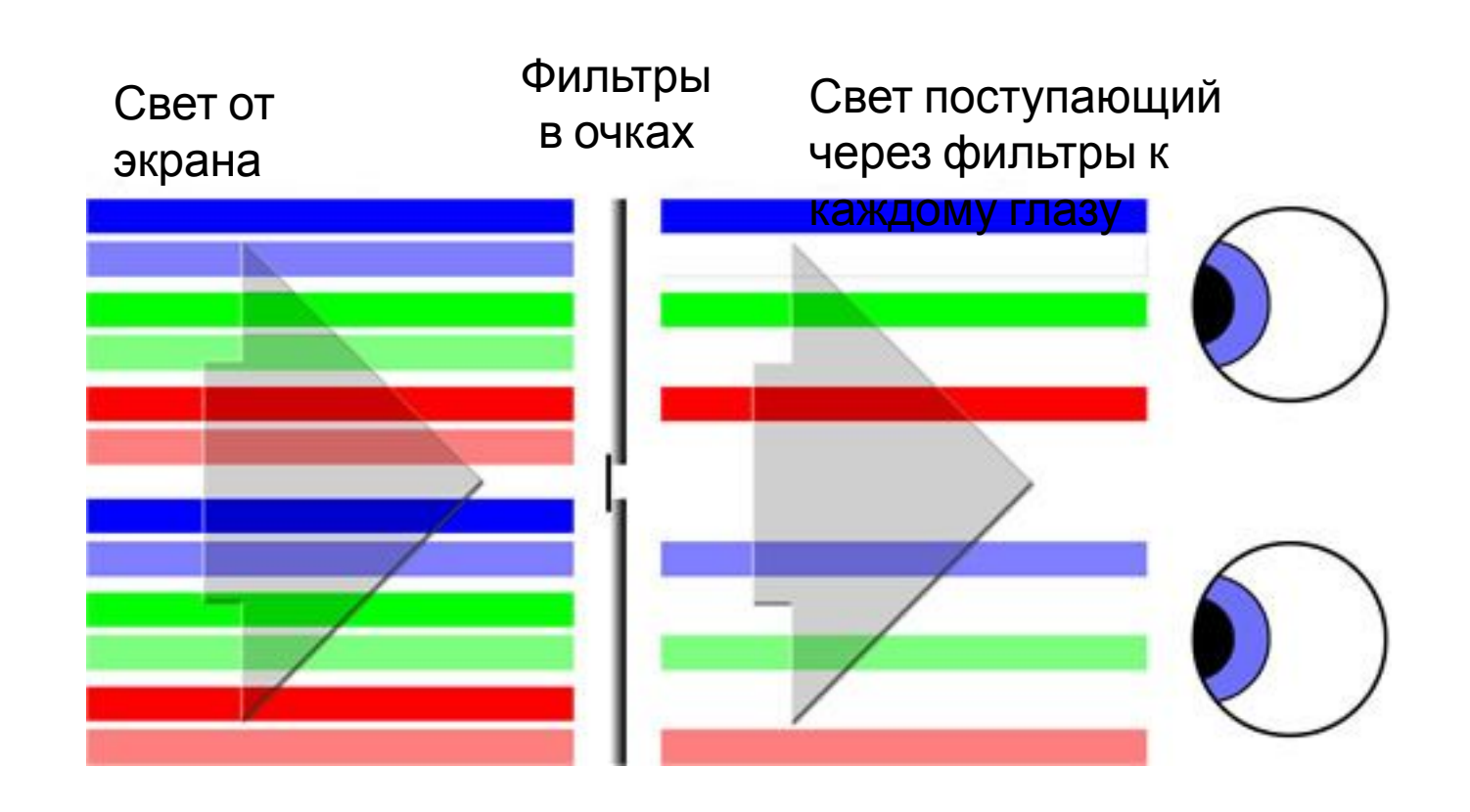
(Infitec -Interferenz filter technic)



Проекция стереоизображения с помощью интерференционных фильтров



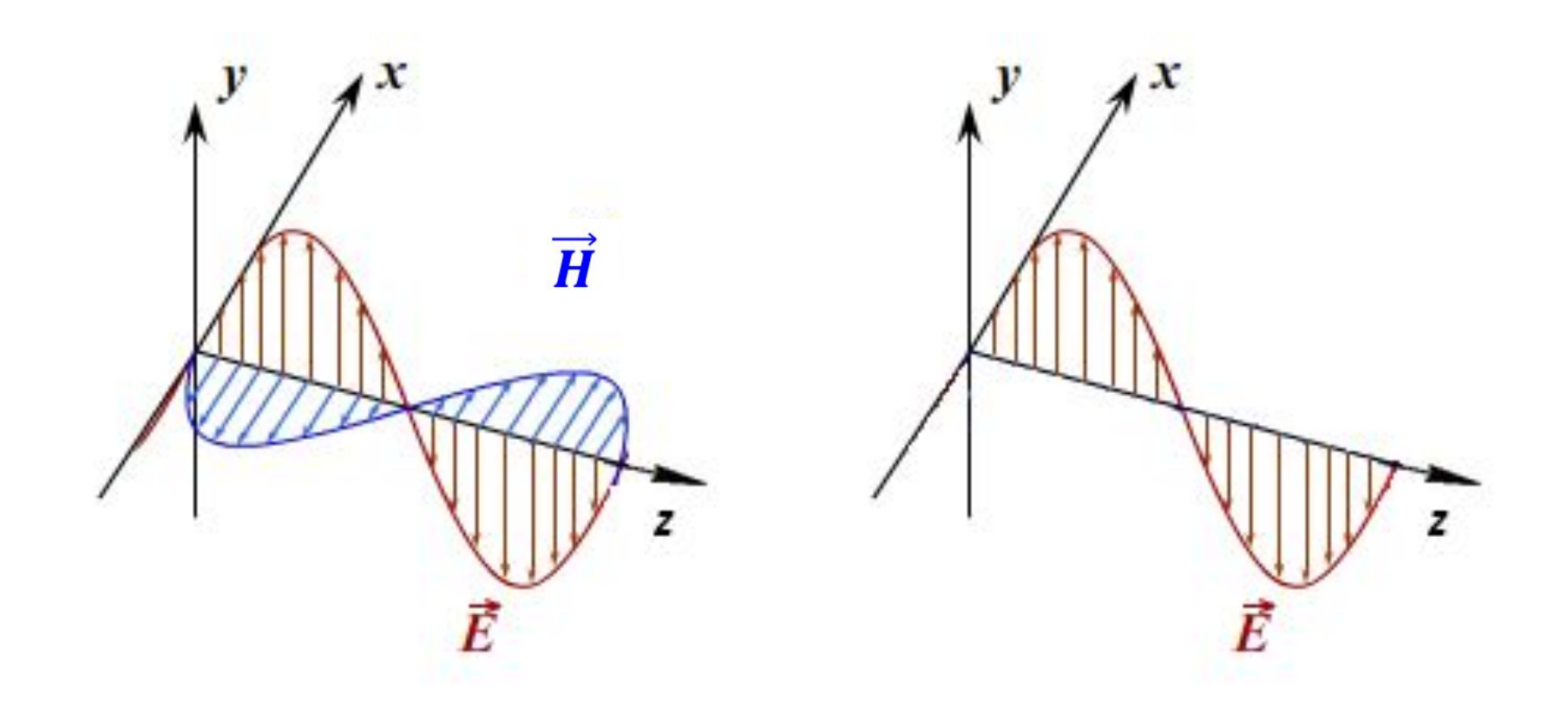
Сепарация световых потоков с помощью интерференционных фильтров



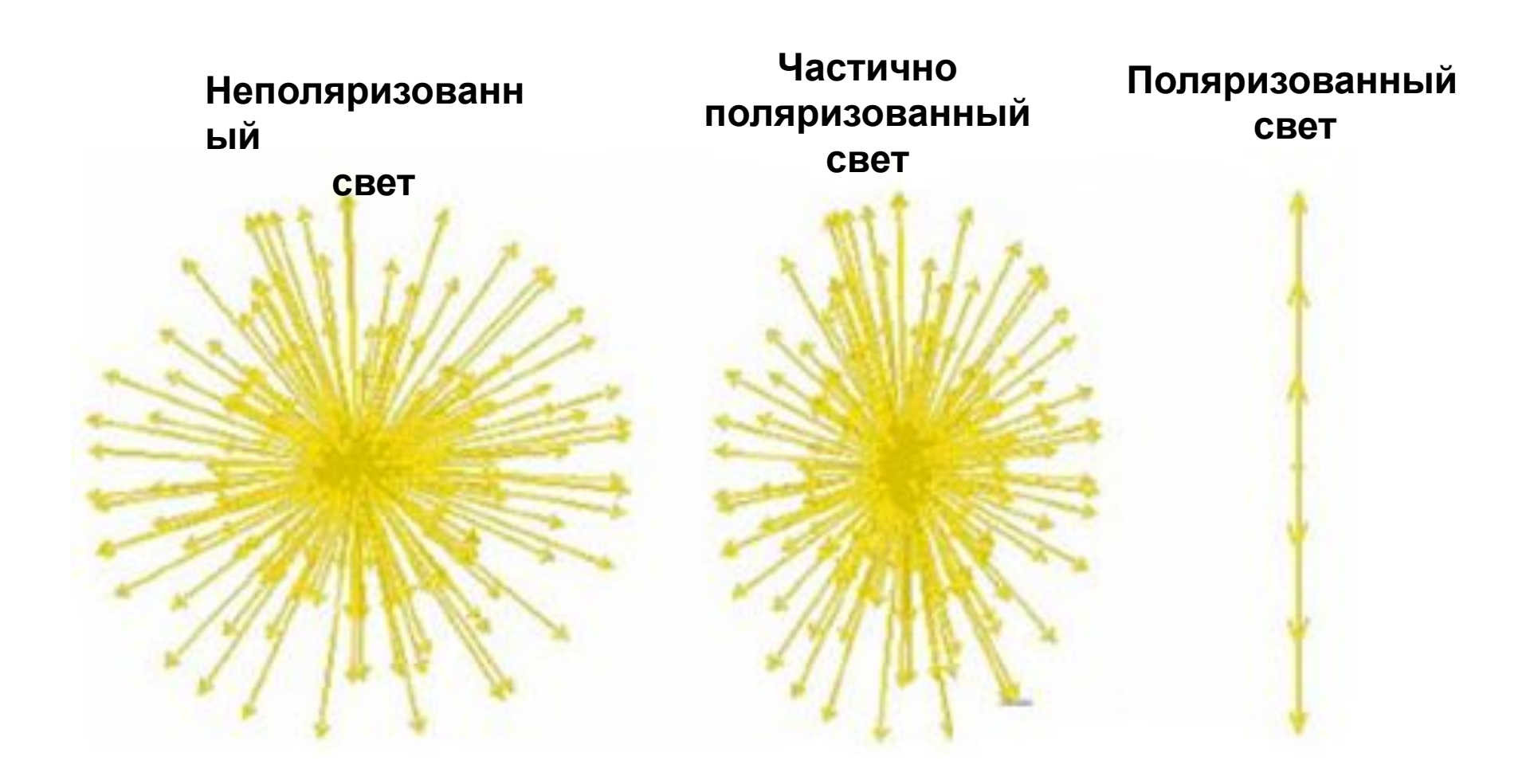
Вариант 3. Параметрическая сепарация

Сепарация на основе поляризации световых волн

Представление электромагнитных волн и упрощение при рассматривании явления поляризации



Степень поляризации световых волн

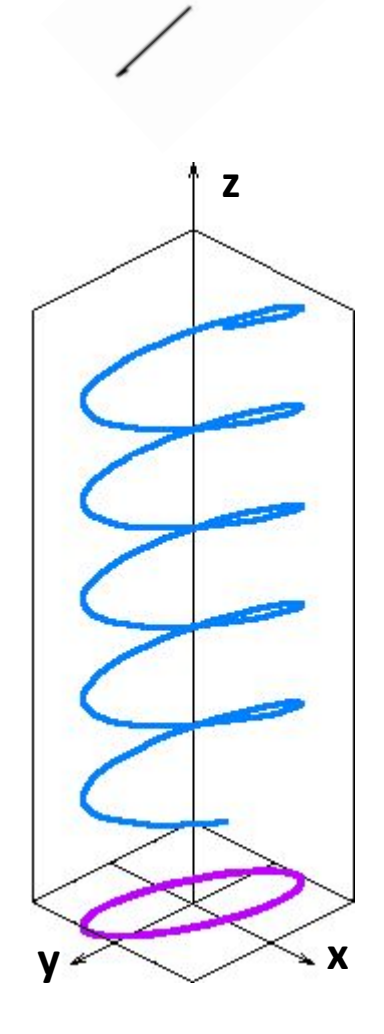


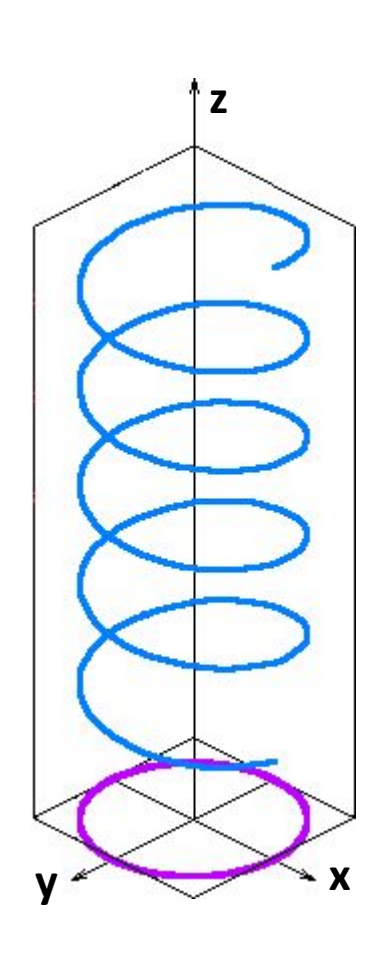
Виды поляризации

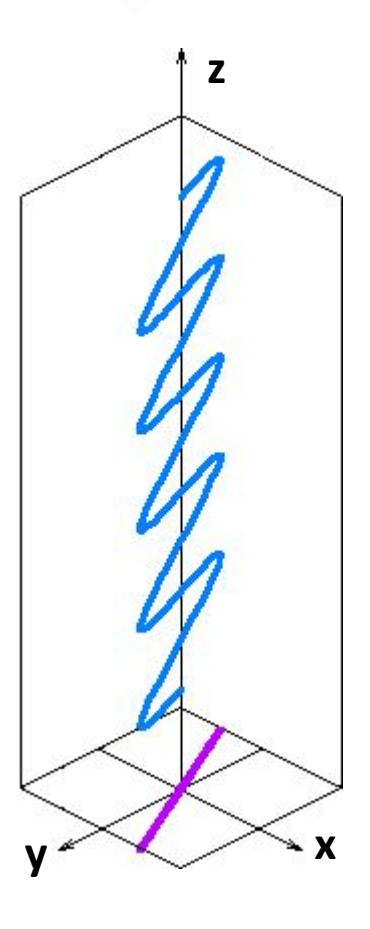
Эллиптическ ая



Линейна я







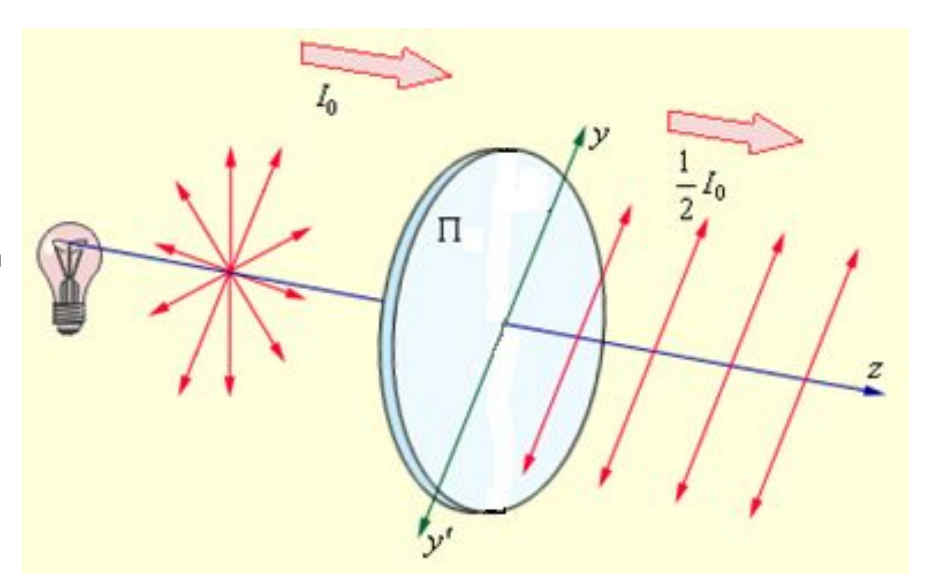
Вариант 3. Параметрическая сепарация

Сепарация на основе поляризации световых волн

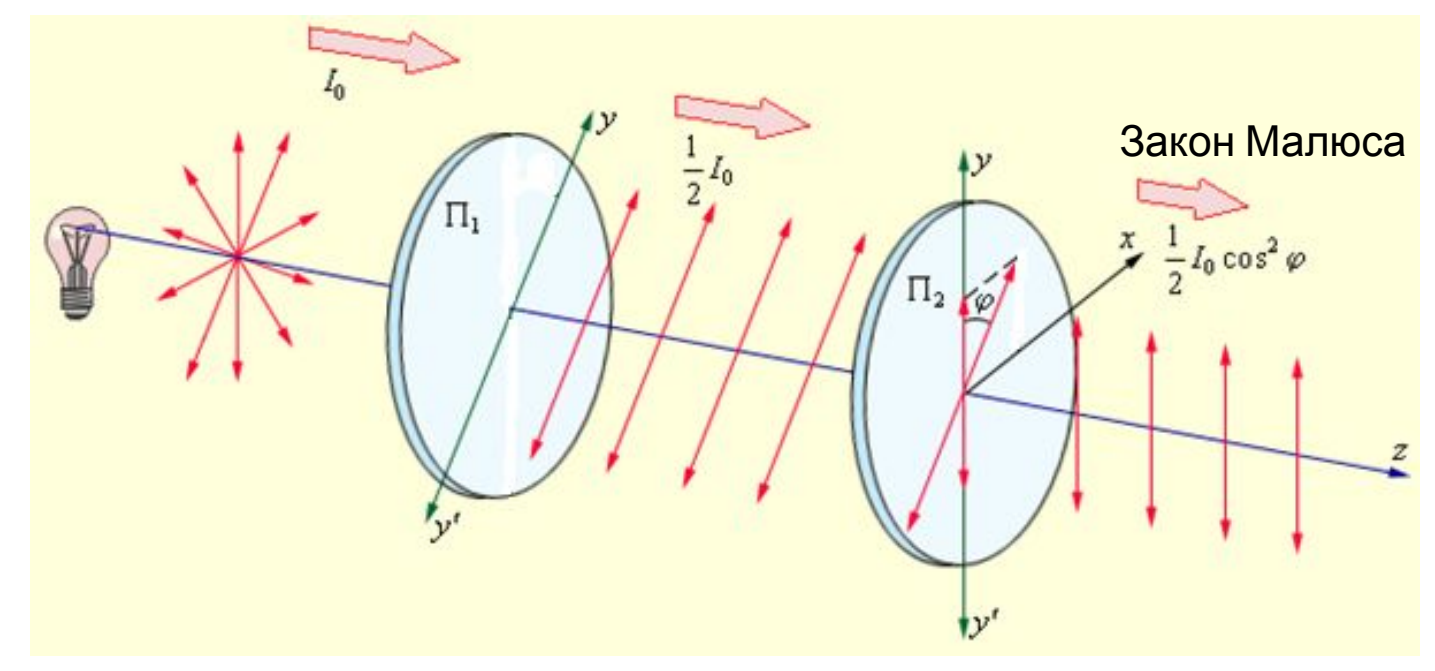
Линейная поляризация

Поляризация естественного света с помощью поляроидов

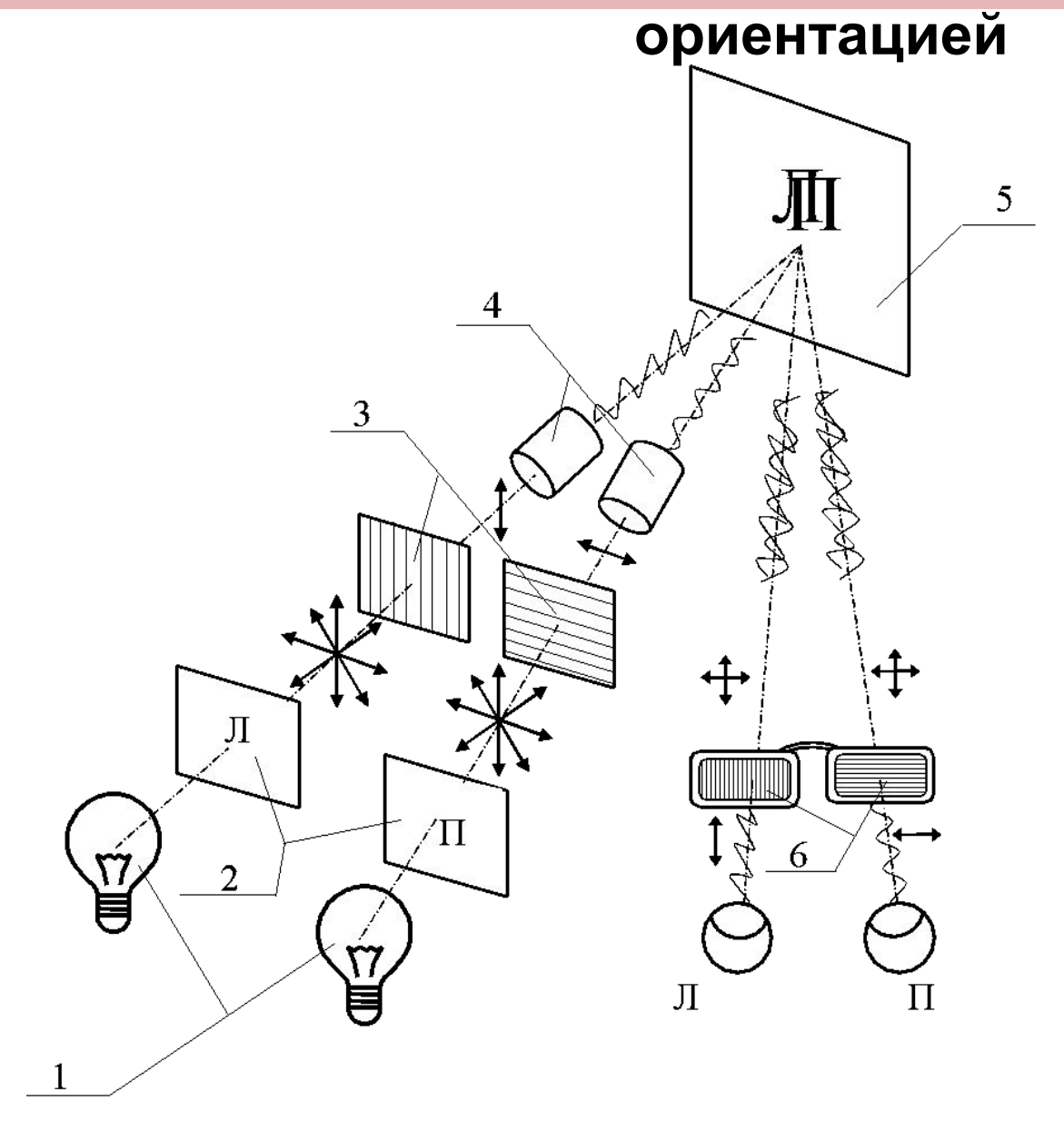
Один поляроид



Два поляроида



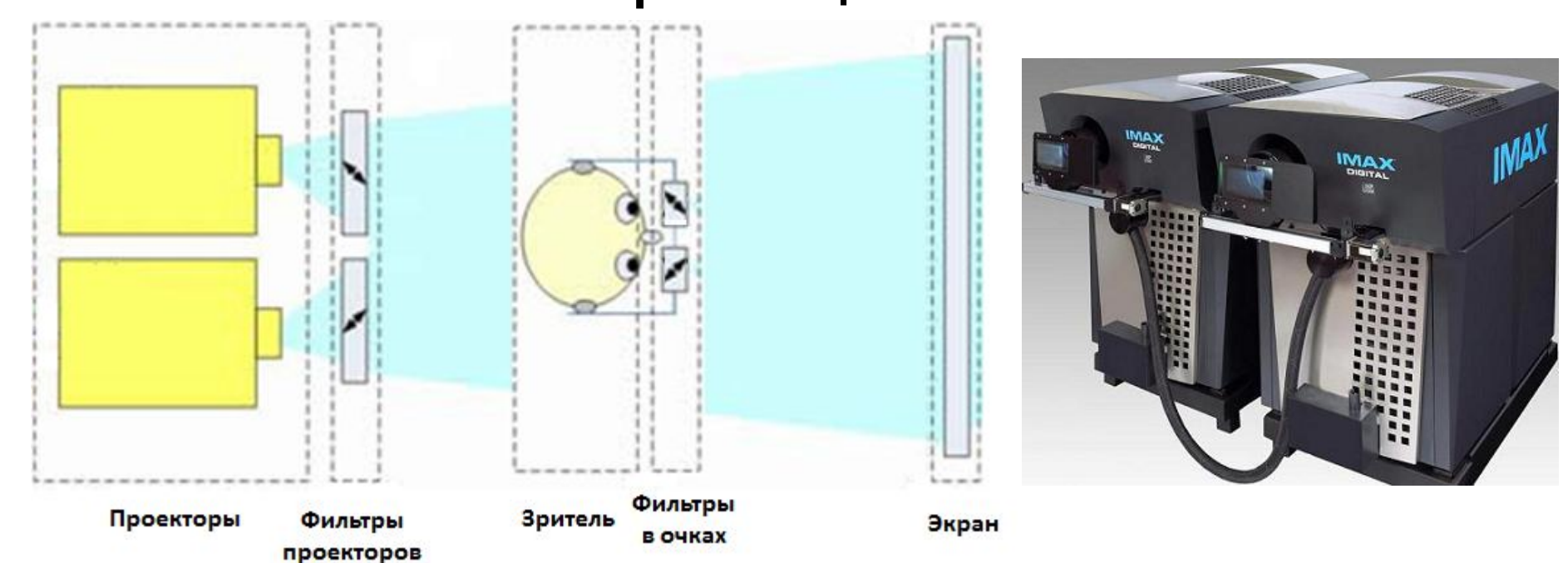
Стереопроекция по методу линейной поляризации с L-

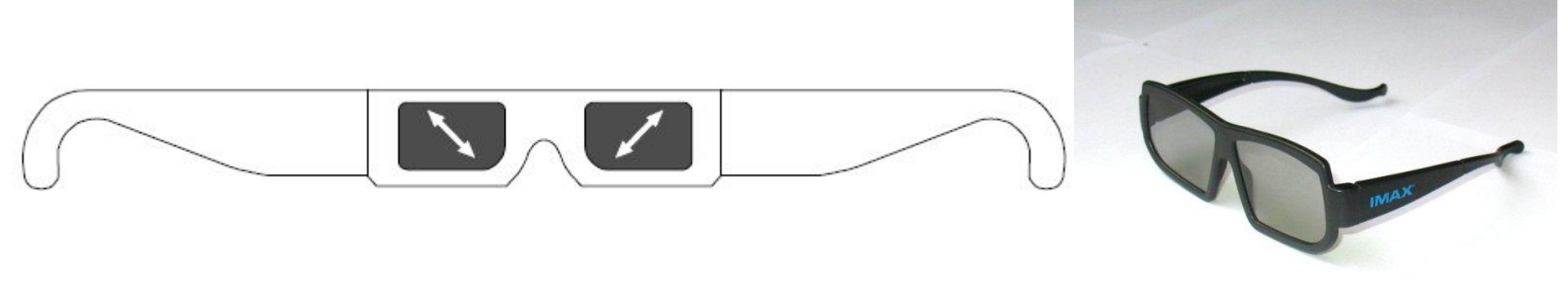


- 1- Источники света в проекторах
- 2- Проецируемые кадры стереопары
- 3- Поляризационные фильтры проекторов
- 4- Объективы проекторов
- 5-Недеполяризующий

(металлизированны Й)Поляризационные фиранры в очках

Стереопроекция по методу линейной поляризации с Vориентацией





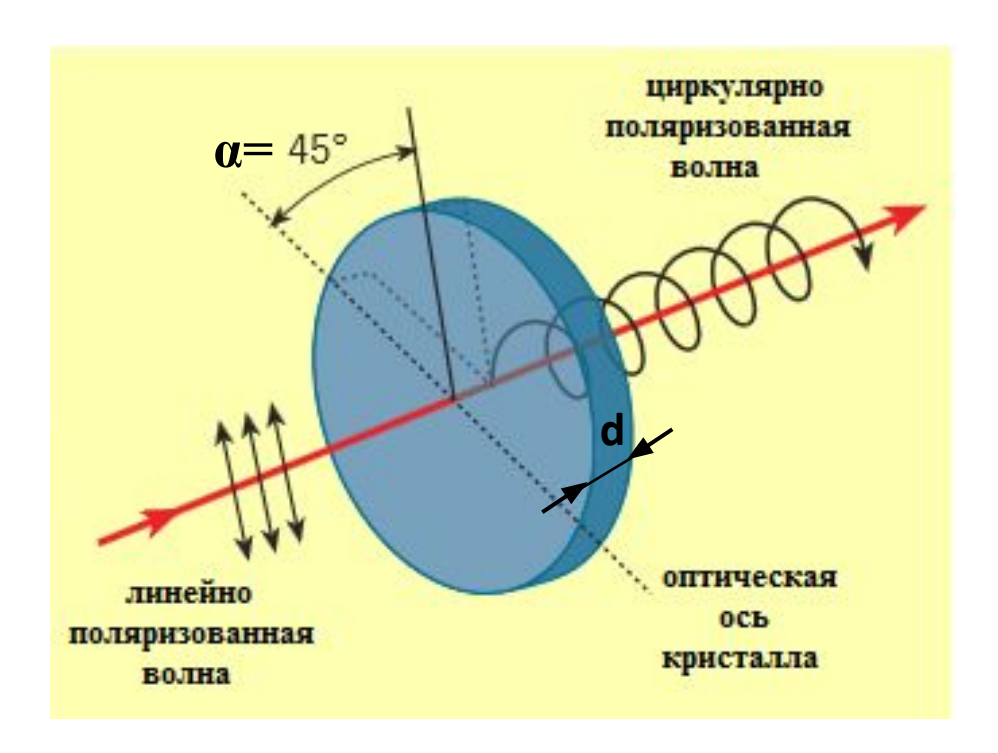
2.1.4 Методы сепарации изображений стереопары с использованием индивидуальных устройств

Вариант 3. Параметрическая сепарация

Сепарация на основе поляризации световых волн

Круговая поляризация

Действие четвертьволновой пластинки

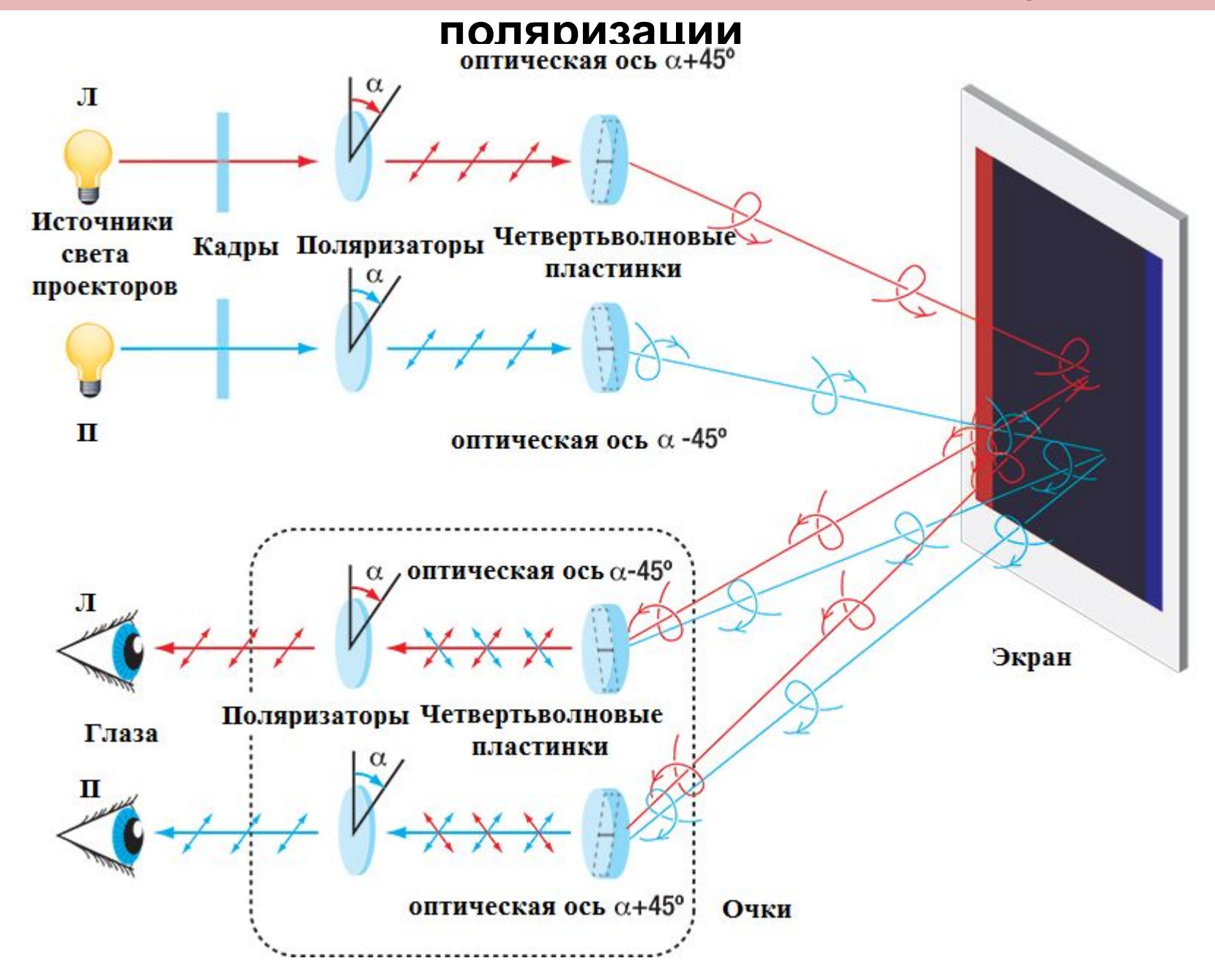


$$\Delta = (n_o - n_e)d = (1 + 2m)\lambda/4; (m = 0,1,2,...);$$

$$\alpha = \frac{\pi}{4}, \ 3\frac{\pi}{4}, \ 5\frac{\pi}{4}, \ 7\frac{\pi}{4} \dots$$

- Δ оптическая разность хода обыкновенного и необыкновенного лучей; $n_{_{o,}}$ $n_{_{e}}$ показатели преломления для обыкновенного и необыкновенного лучей; d— толщина пластинки;
- λ длина волны, на которую рассчитывается пластинка;
- α угол между направлением оптической оси кристалла и направлением колебаний вектора E.

Принцип стереопроекции с применением круговой



Система стереопоказа «Sony 3D»

Для стереопоказа с одного кинопроектора на нем вместо обычного объектива устанавливается двухобъективная насадка и на каждой из трех RGB матриц половина площади используется для построения левого кадра, а другая половина - для построения правого кадра. На объективах установлены фильтры с круговой поляризацией.





Для кинопоказа по системе «Sony 3D» также может использоваться два отдельных проектора.

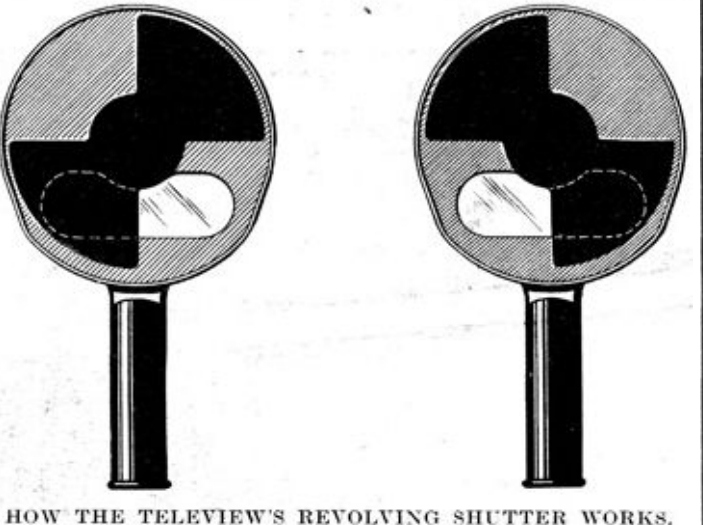


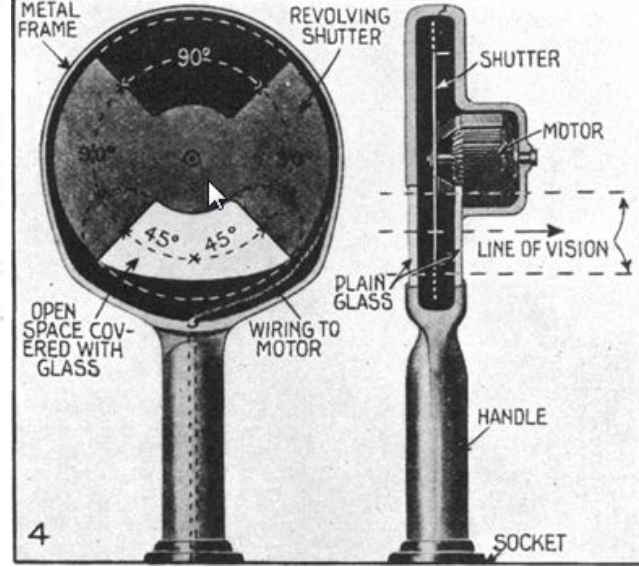
2.1.4 Методы сепарации изображений стереопары с использованием индивидуальных устройств

Вариант 4. Временная сепарация (коммутация) изображений

Стереокинопоказ по системе «Телевью» 1922г.

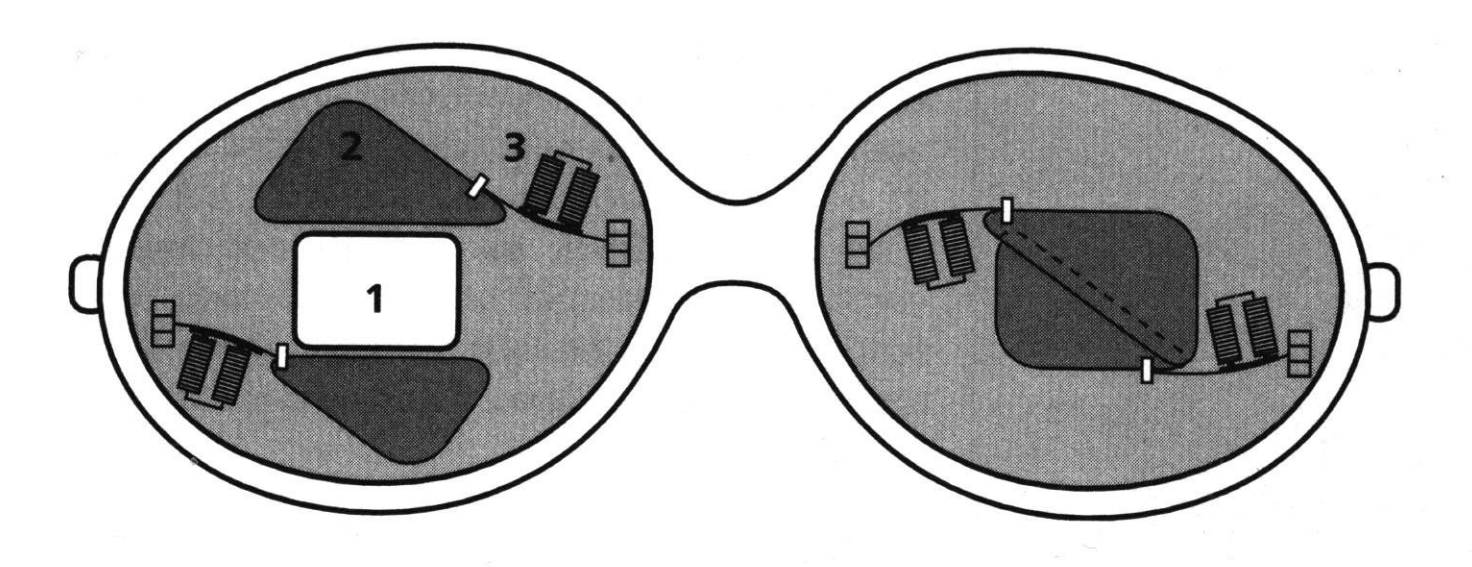






Механические коммутационные стереоочки

Юипхайт 1927г.



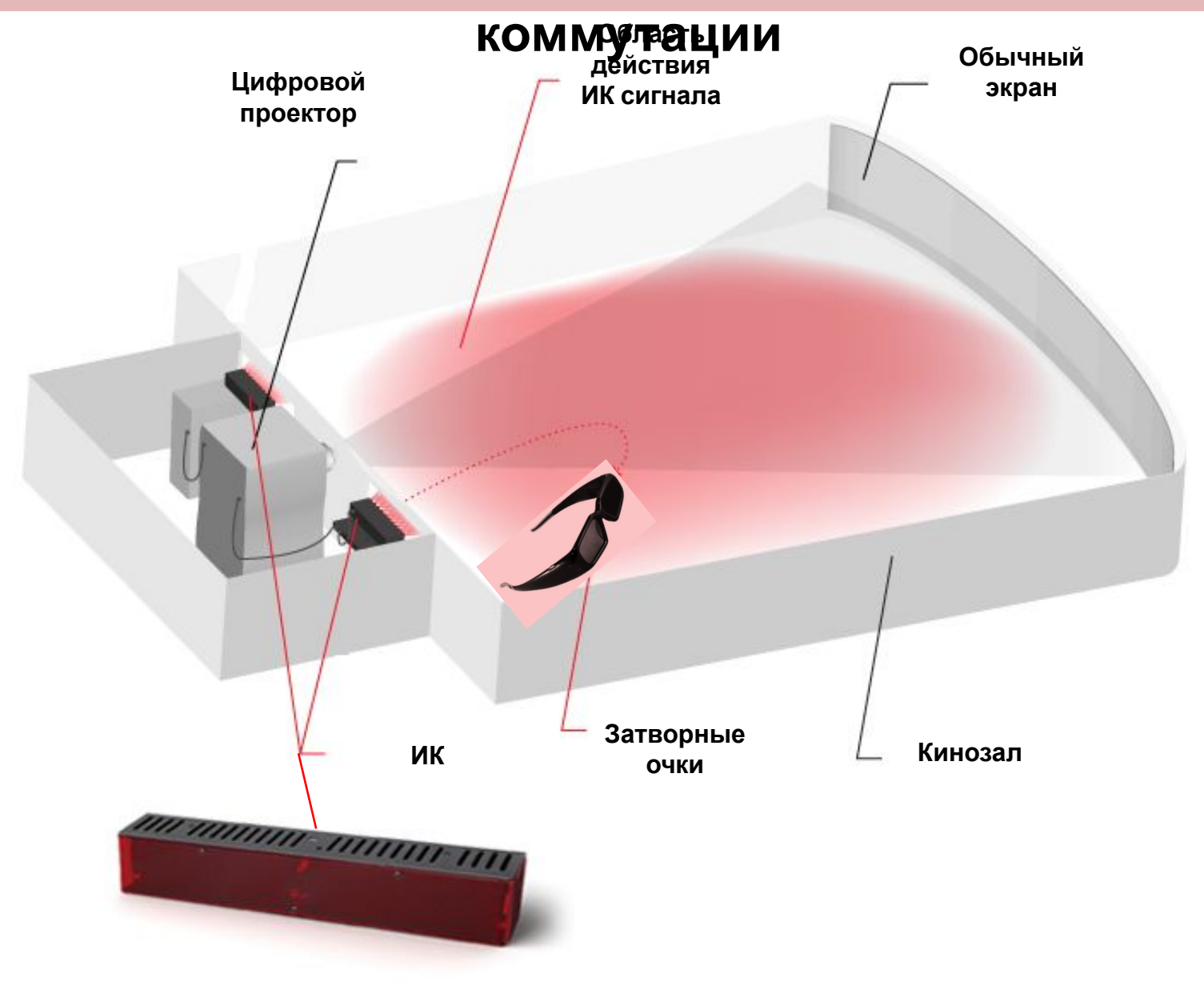
1 - Световой проем

Заслонка 3 - Электромагнит

Жидкокристаллические затворные стереоочки



Стереокинопоказ с использованием временной



Система стереокинопоказа «ХрапD»

Основные компоненты



Кабель, идущий от проектора к синхронизационному распределительному модулю.

Кабели, идущие к каждому эмиттеру от синхронизационного распределительного модуля.

Блок питания 24VDC для распределительного модуля



Очки



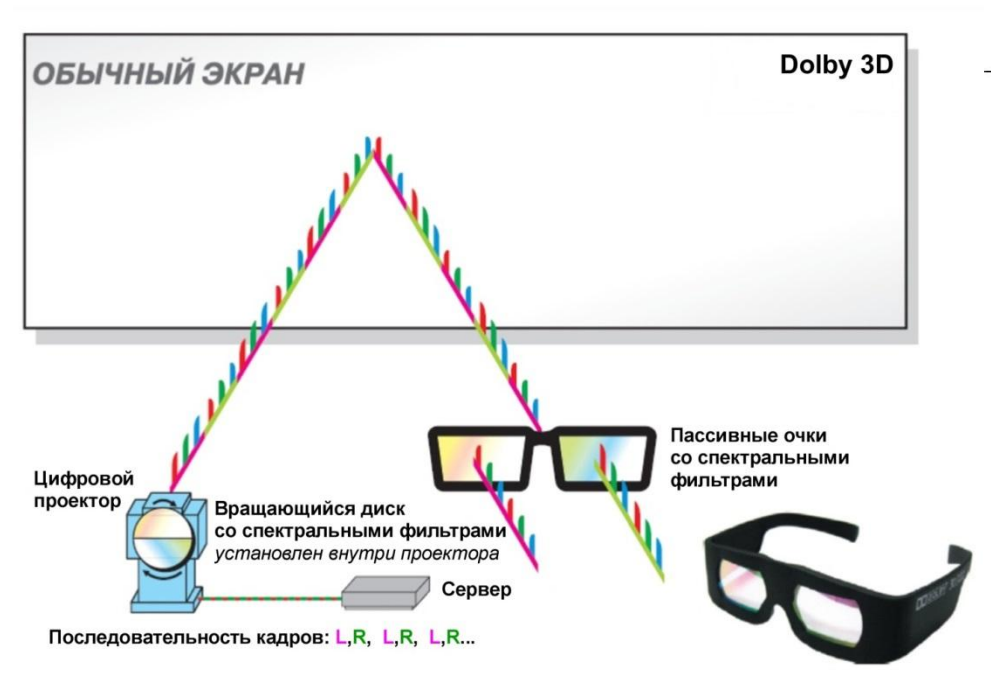
Один или несколько эмиттеров инфракрасного излучения



Синхронизационный распределительный модуль

Метод интерференционных светофильтров

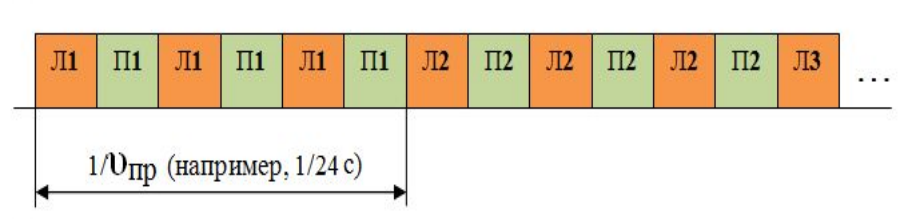




Возможны два режима работы



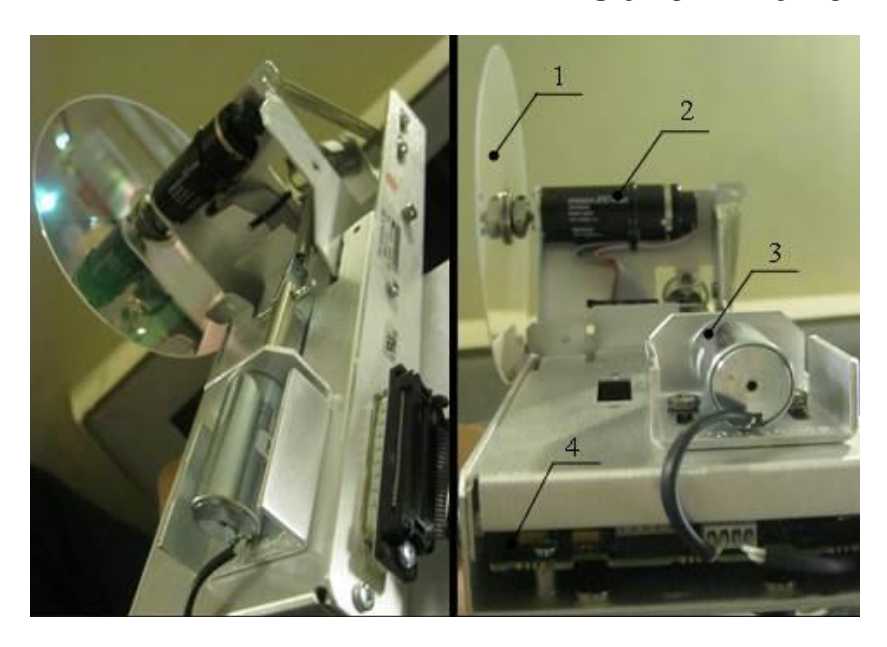
Формат проекции «Double Flash». Частота вывода каждого из изображений составляет 2 х 24 = 48 Гц на каждый глаз.



Формат проекции «Triple Flash». Частота вывода каждого из изображений составляет 3 х 24 = 72 Гц на каждый глаз.

«Dolby 3D»

Основные компоненты системы



Вращающийся дисковый фильтр «Dolby **DFC** 100 Rotary». Устанавливается стандартный цифровой кинопроектор между лампой DMD Работает чипом. при демонстрации формате 3D, В при демонстрации в 2D фильтр переводится в нерабочее положение.

- 1- дисковый фильтр
- 2- привод диска
- 3- привод ввода-вывода диска в световой





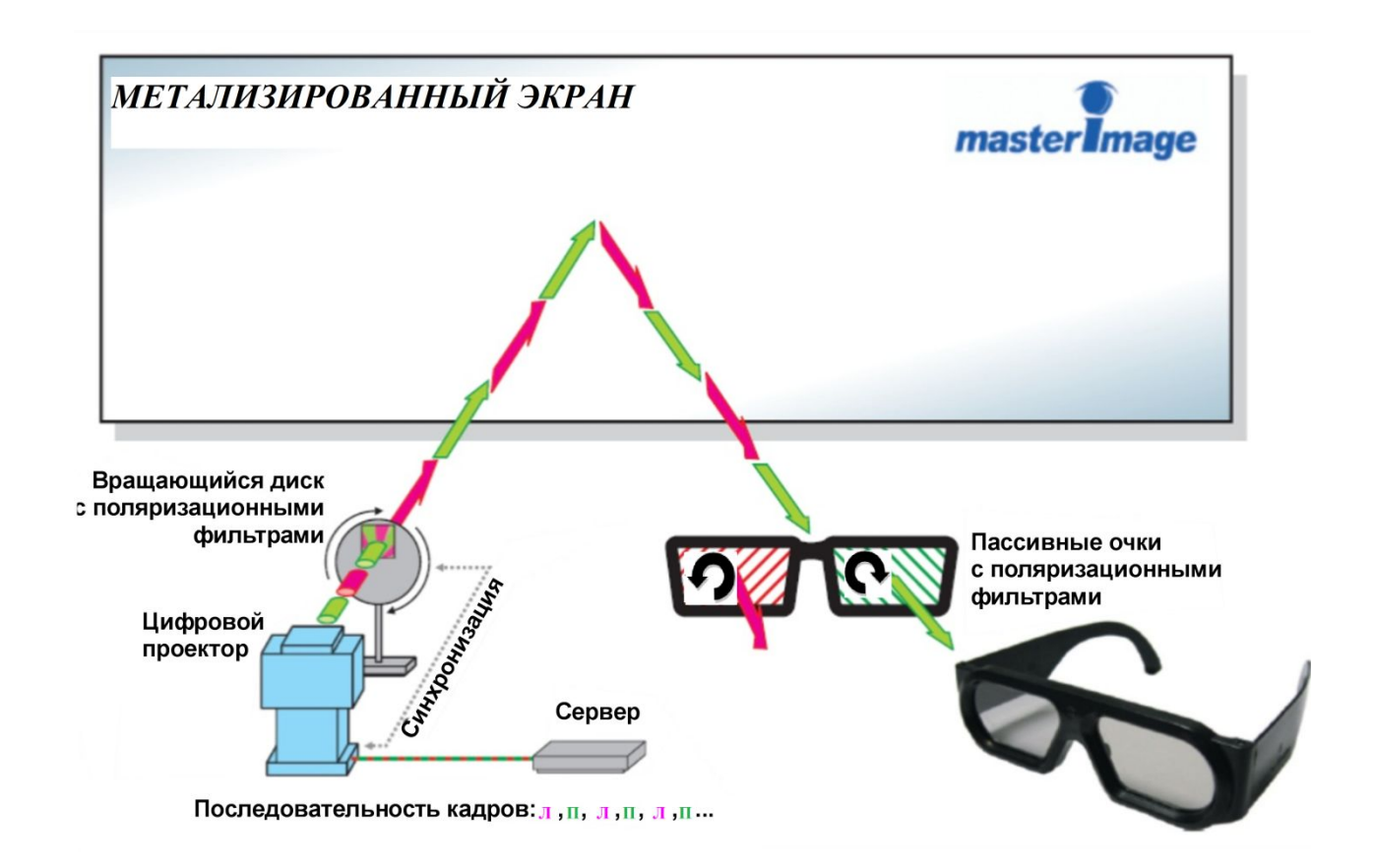
Контроллер DF C 100 Dolby

Автоматически синхронизирует вращающийся фильтр с проецируемым 3D цифровым контентом.

С круговой поляризацией



1. Динамическое переключение состояний поляризации вращающийся диск с фильтрами



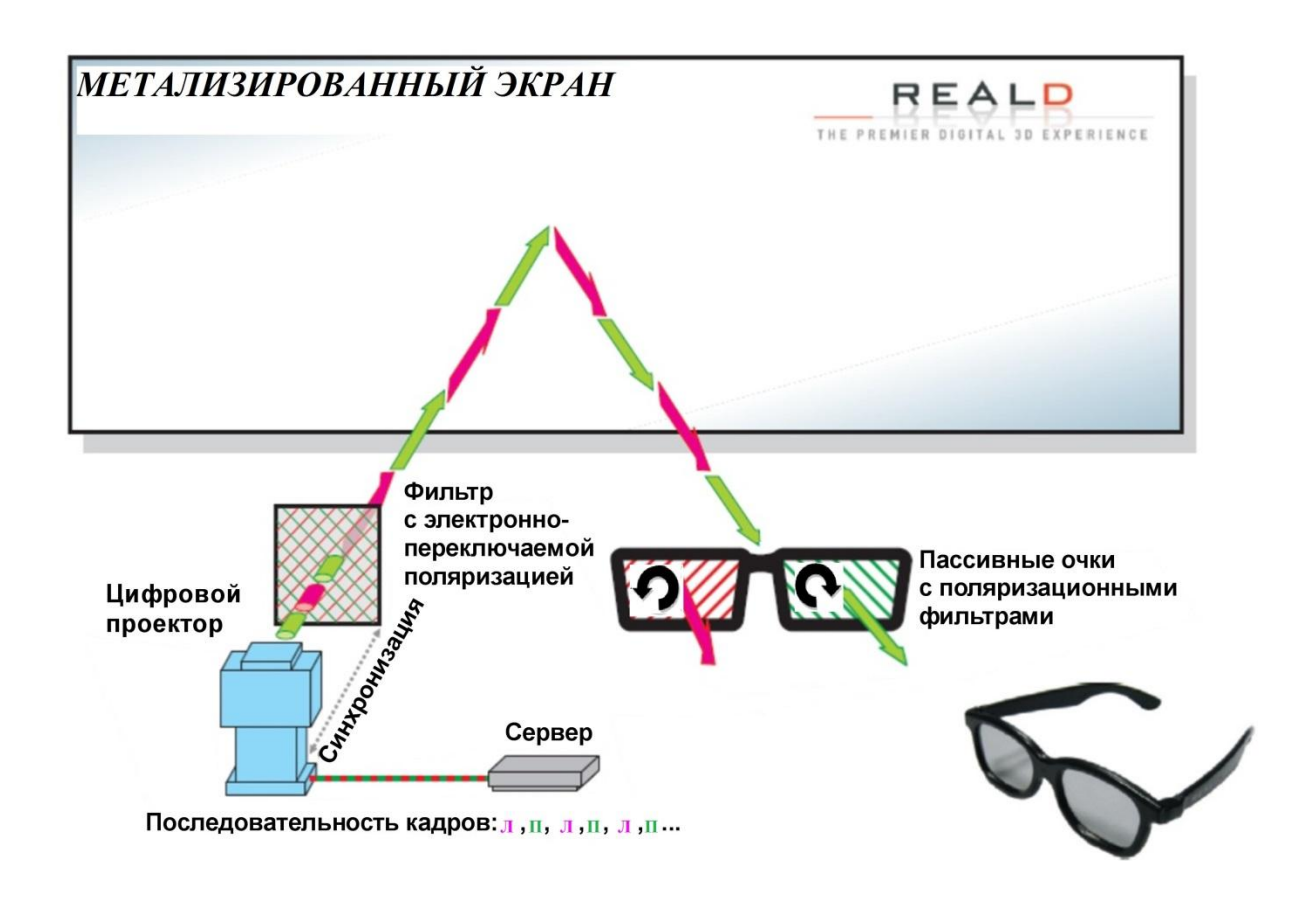


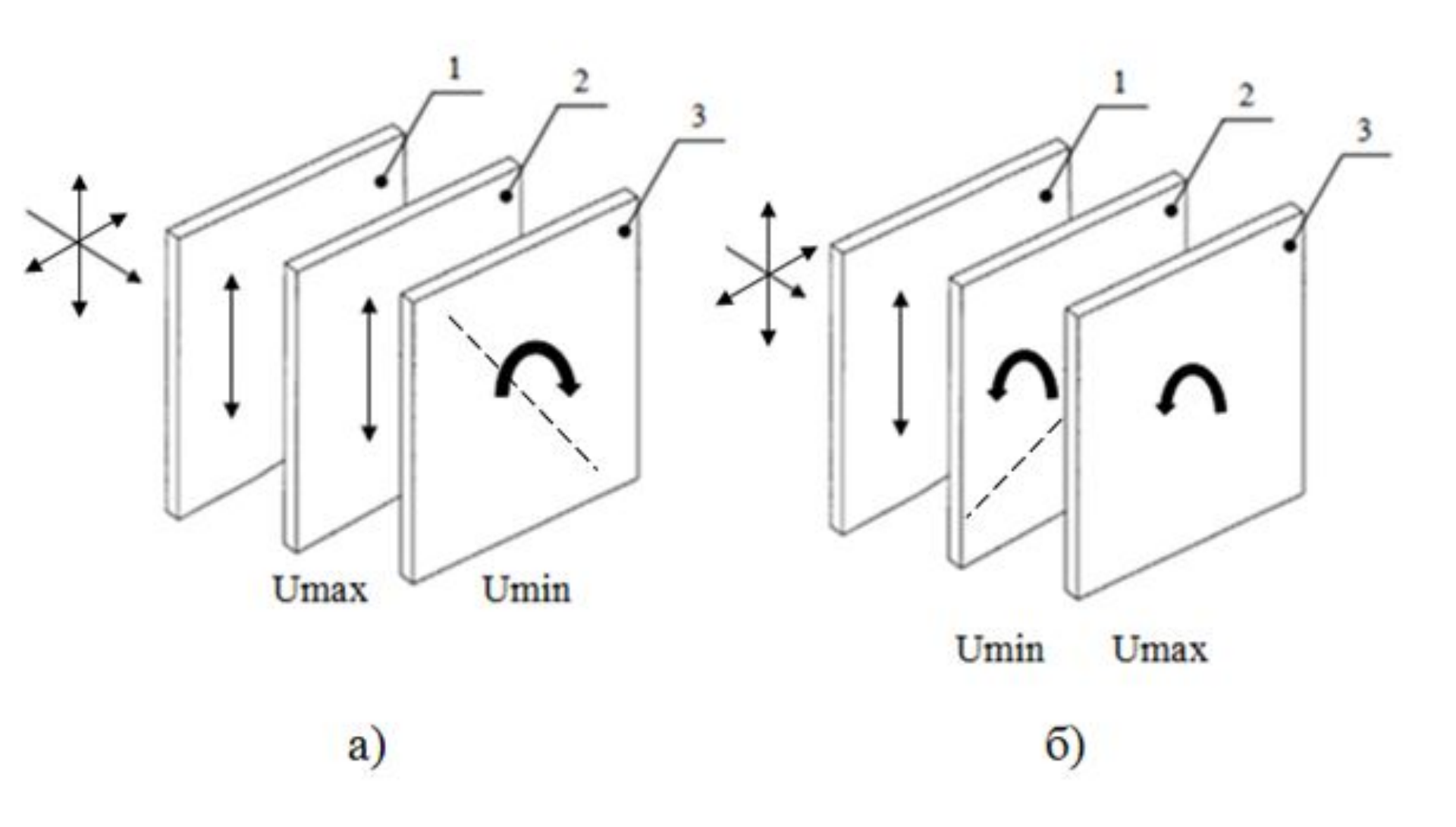
Диск с двумя разными поляризующими секторами «**MasterImage**» устанавливают перед объективом цифрового кинопроектора





2. Статический поляризационный фильтр с электронно управляемым переключением состояния поляризации





Коммерческие решения фильтров с электронно управляемым переключением состояния поляризации





«RealD Cinema Z-Screen»



«XPAND Passive 3D»

«Volfoni
The SmartCrystal
CINEMA»

1 – модуль поляризации «VASP 01000»
2 – салазки регулировки

2 – салазки регулировки положения фильтра по высоте



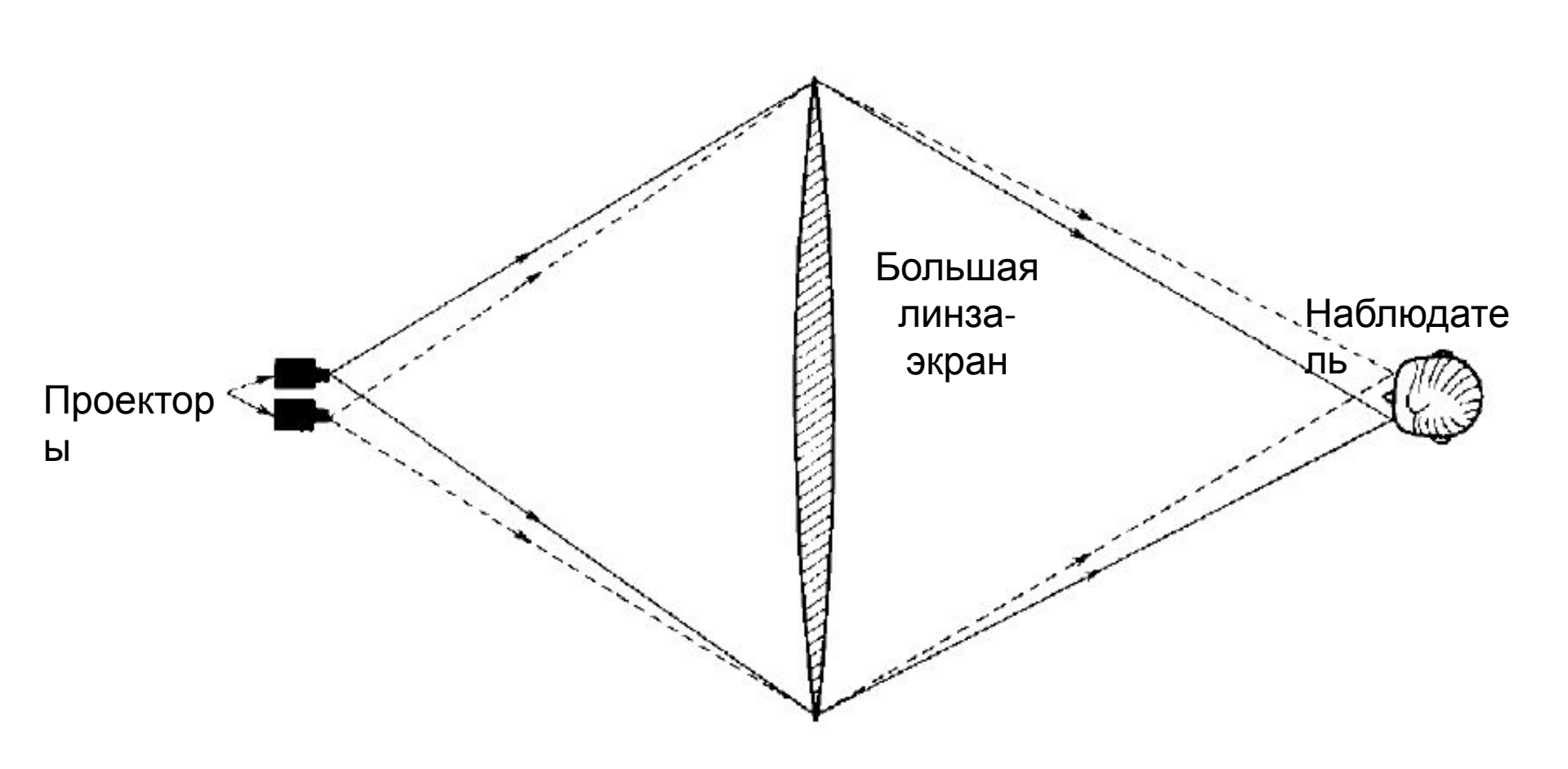
Тема2.2 Автостереоскопические одноракурсные системы

2.2.1 Понятие автостереоскопии

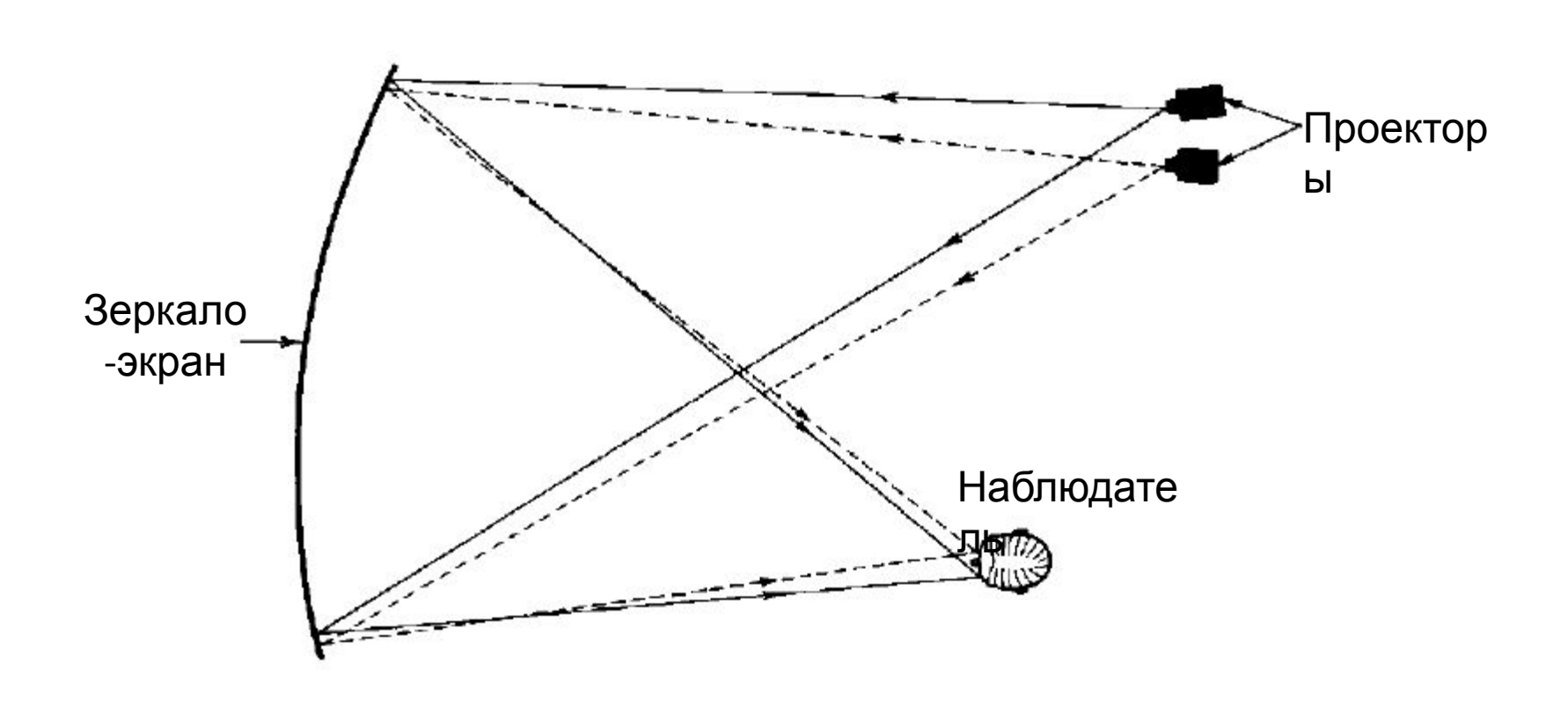
Автостереоскопия – совокупность методов стереоскопического отображения, обеспе-чивающих наблюдение стереоизображения без каких-либо сепарирующих устройств, располагаемых перед глазами наблюдателя.

2.2.2 Экраны, создающие фокальные зоны

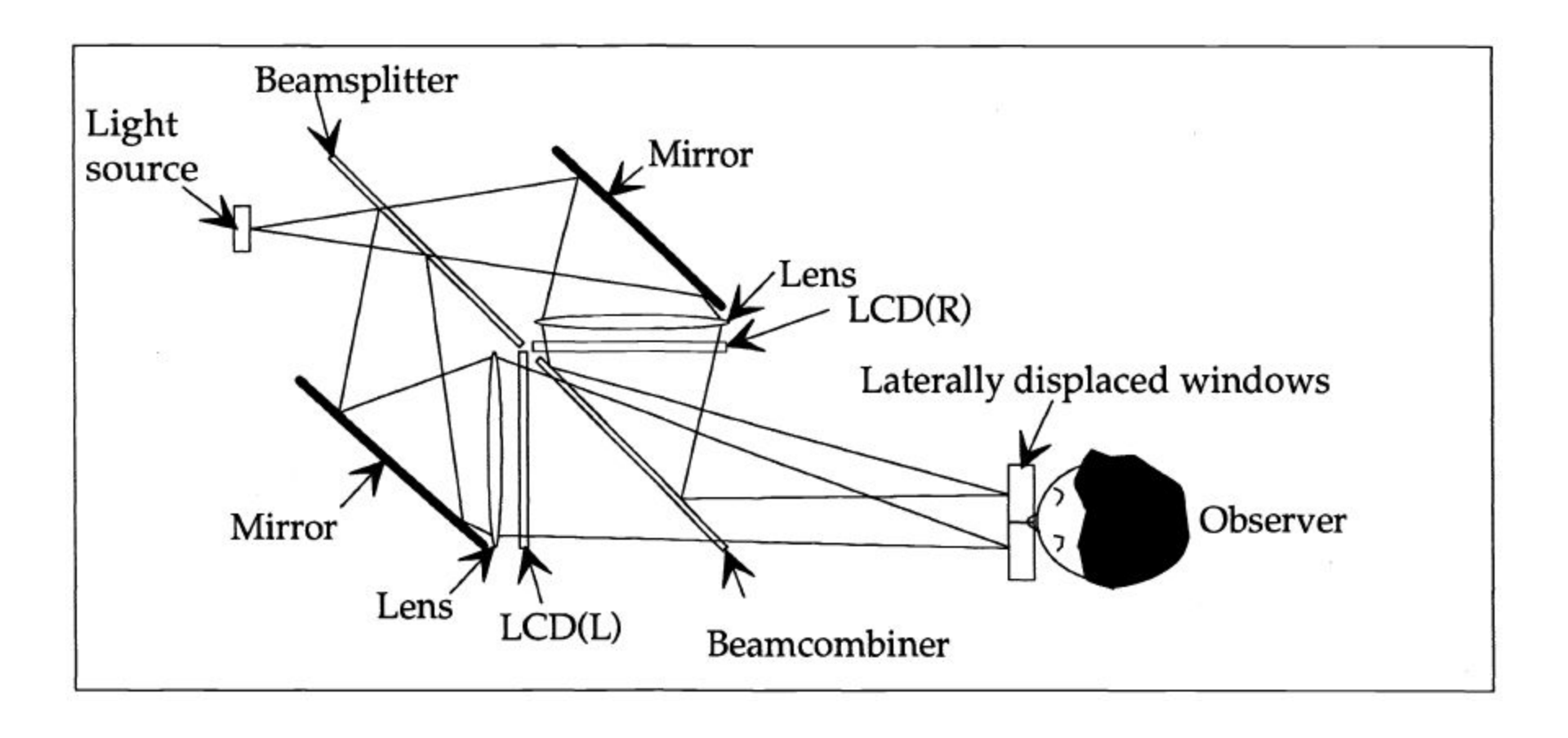
Стереопроекция на линзовый экран



Стереопроекция на зеркальный экран



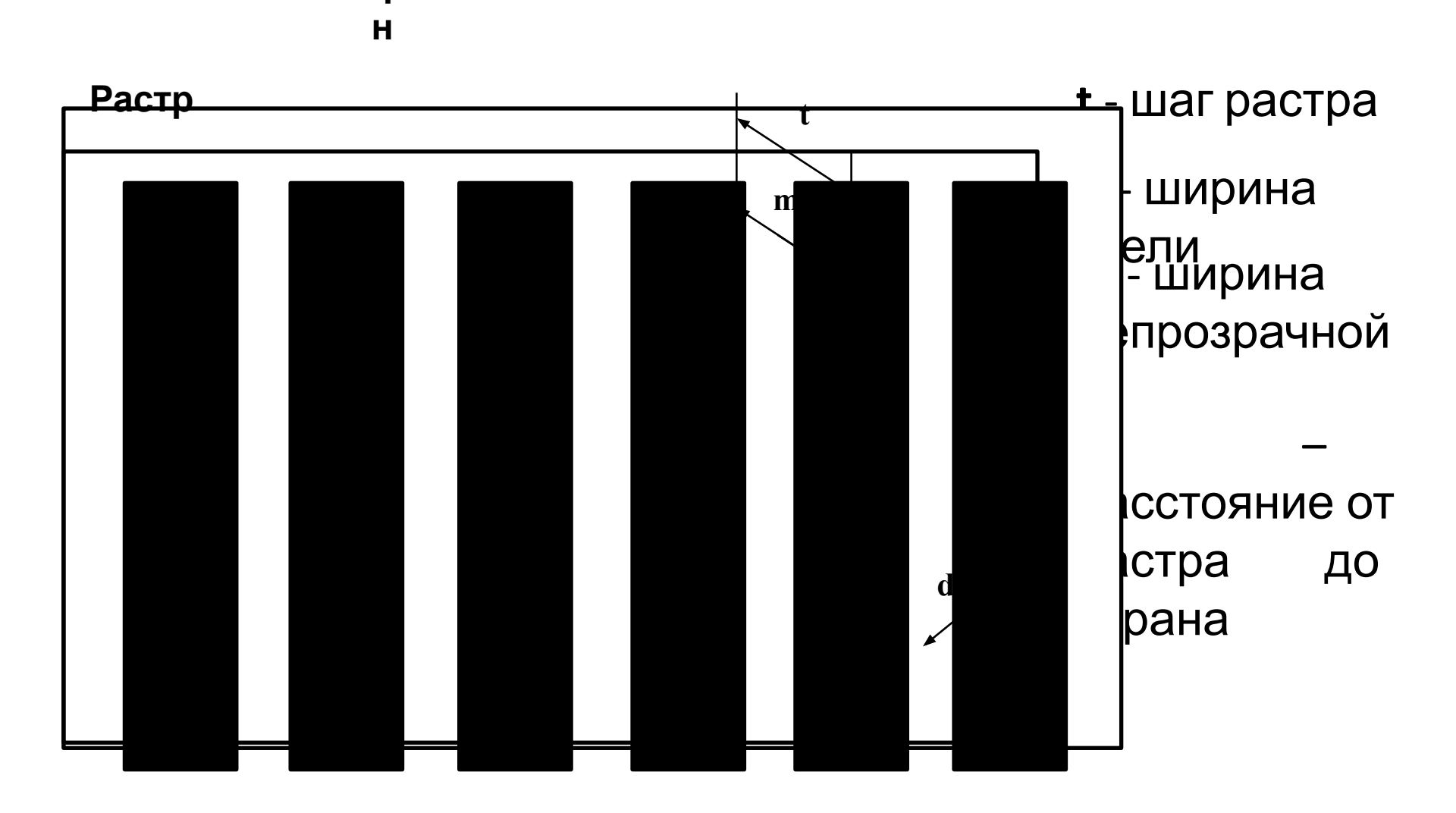
Автостереоскопическая система фирмы Sharp



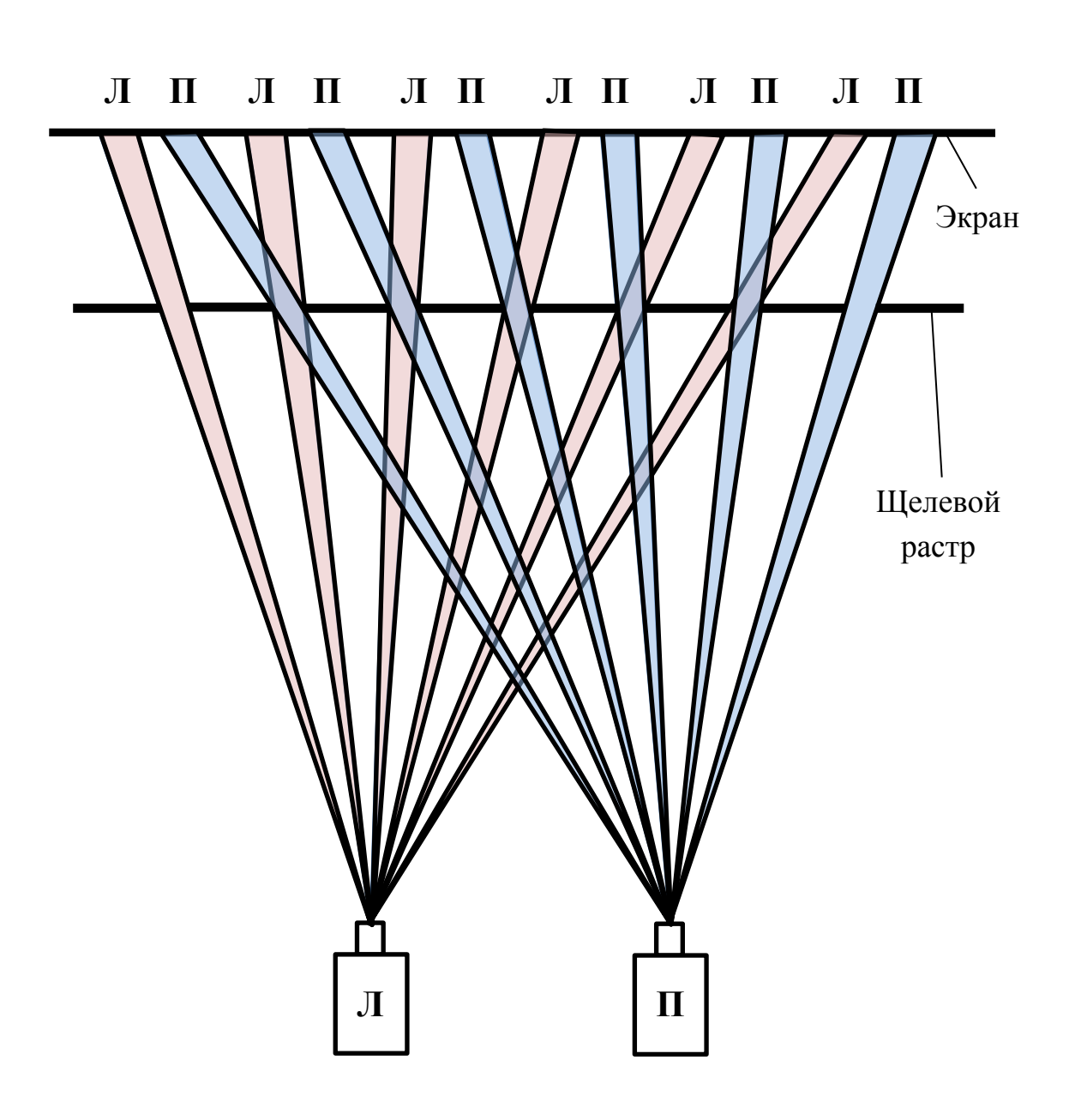
2.2.3 Растровые системы формирования и декодирования параллакс - стереограммы

Растр – система, состоящая из большого числа однотипных элементов (щелей, отверстий, линз, призм, зеркал и т.д.) определенным образом расположенных на какой-либо поверхности, служащая для структурного преобразования светового пучка.

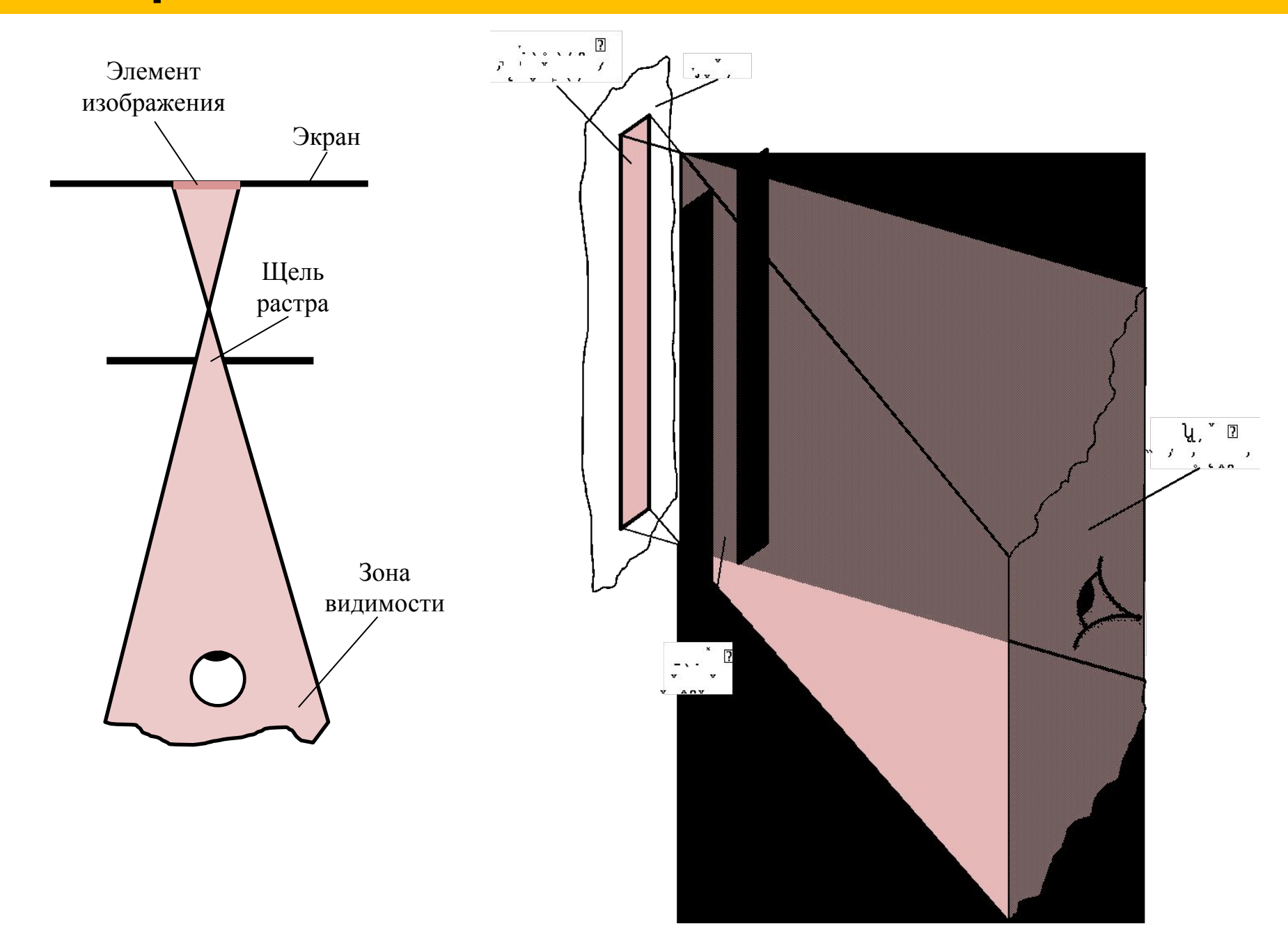
Щелевой линейный растр, установленный перед экраном экраном

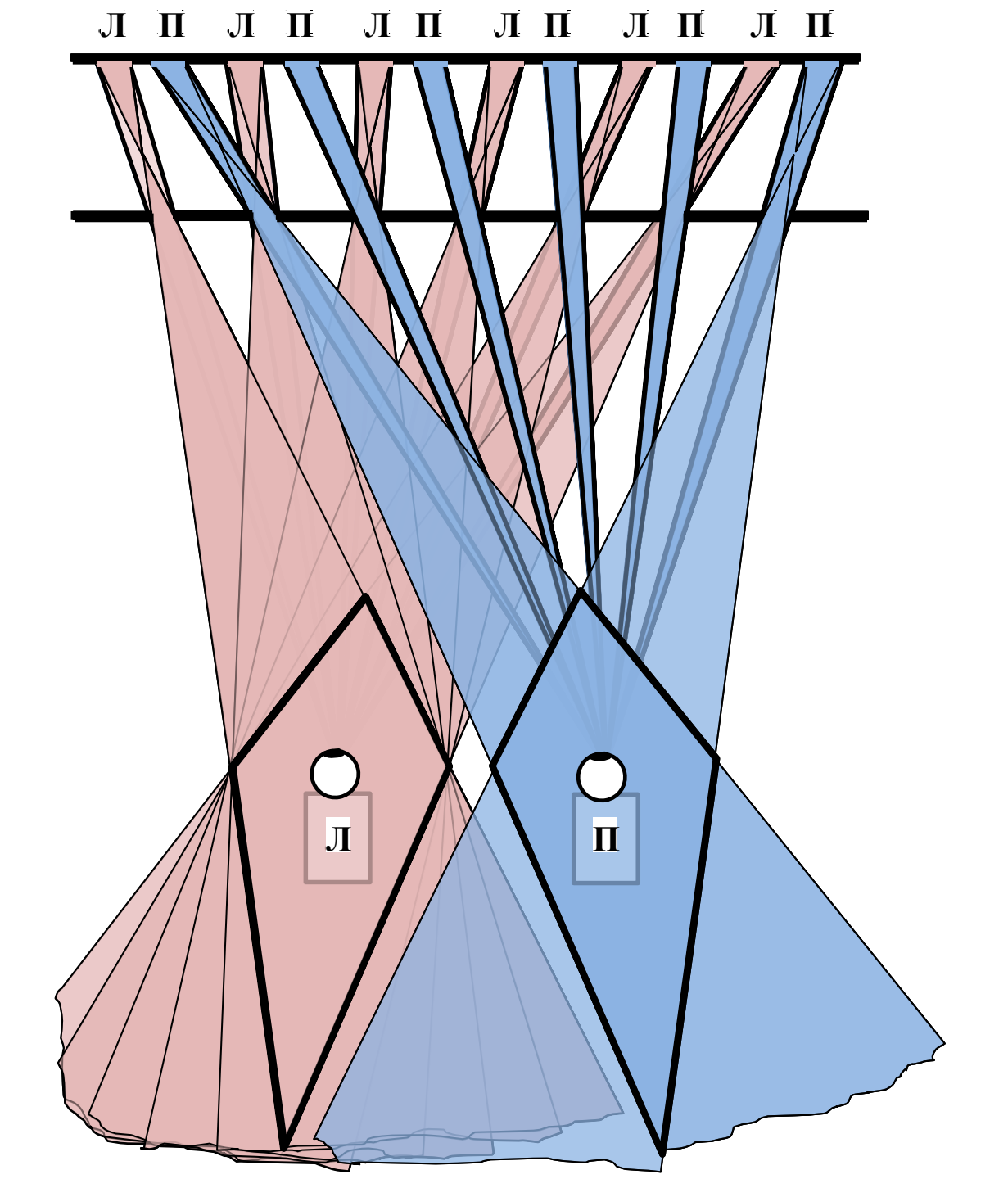


Проекция кадров стереопары на растровый экран

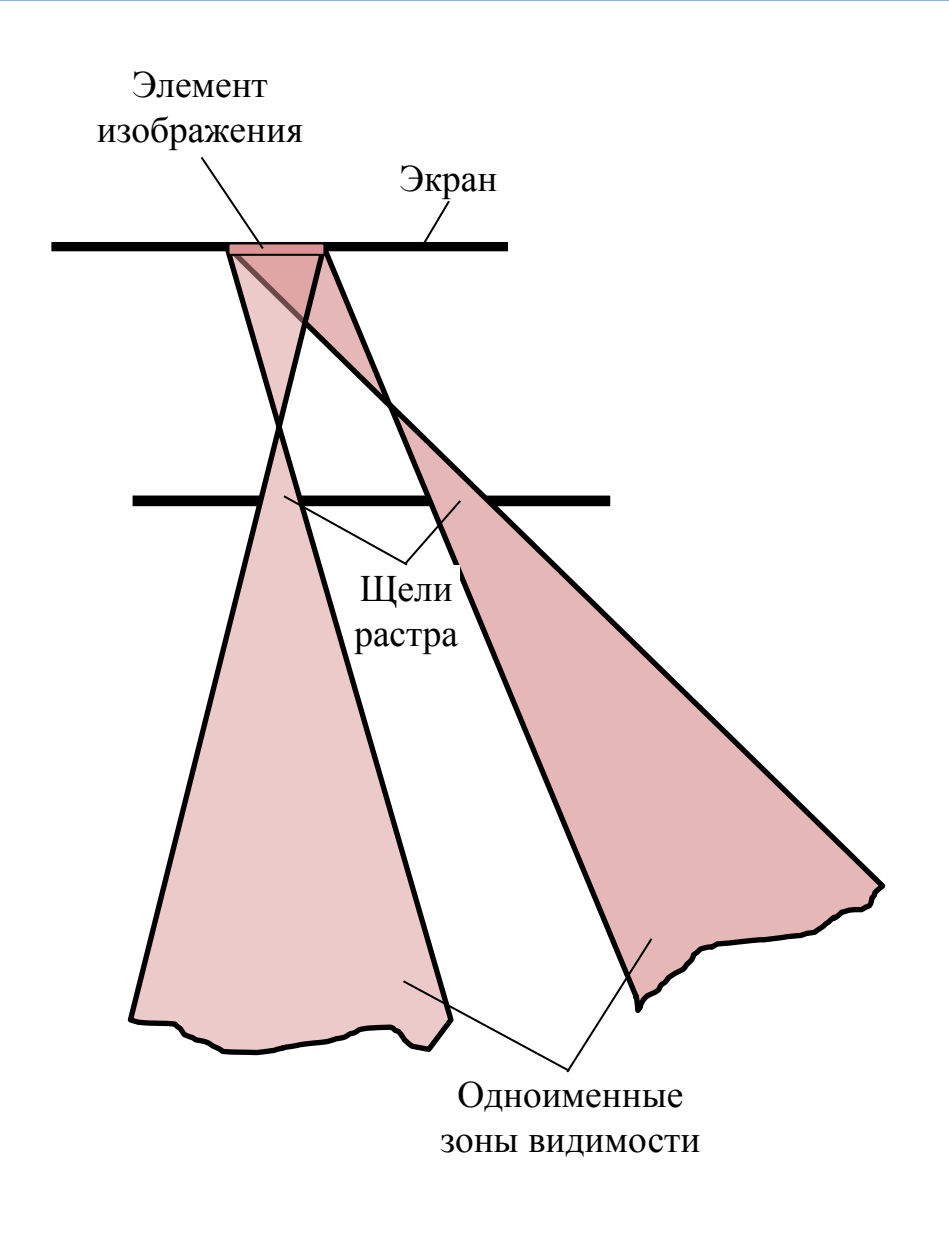


Построение зоны видимости одного элемента

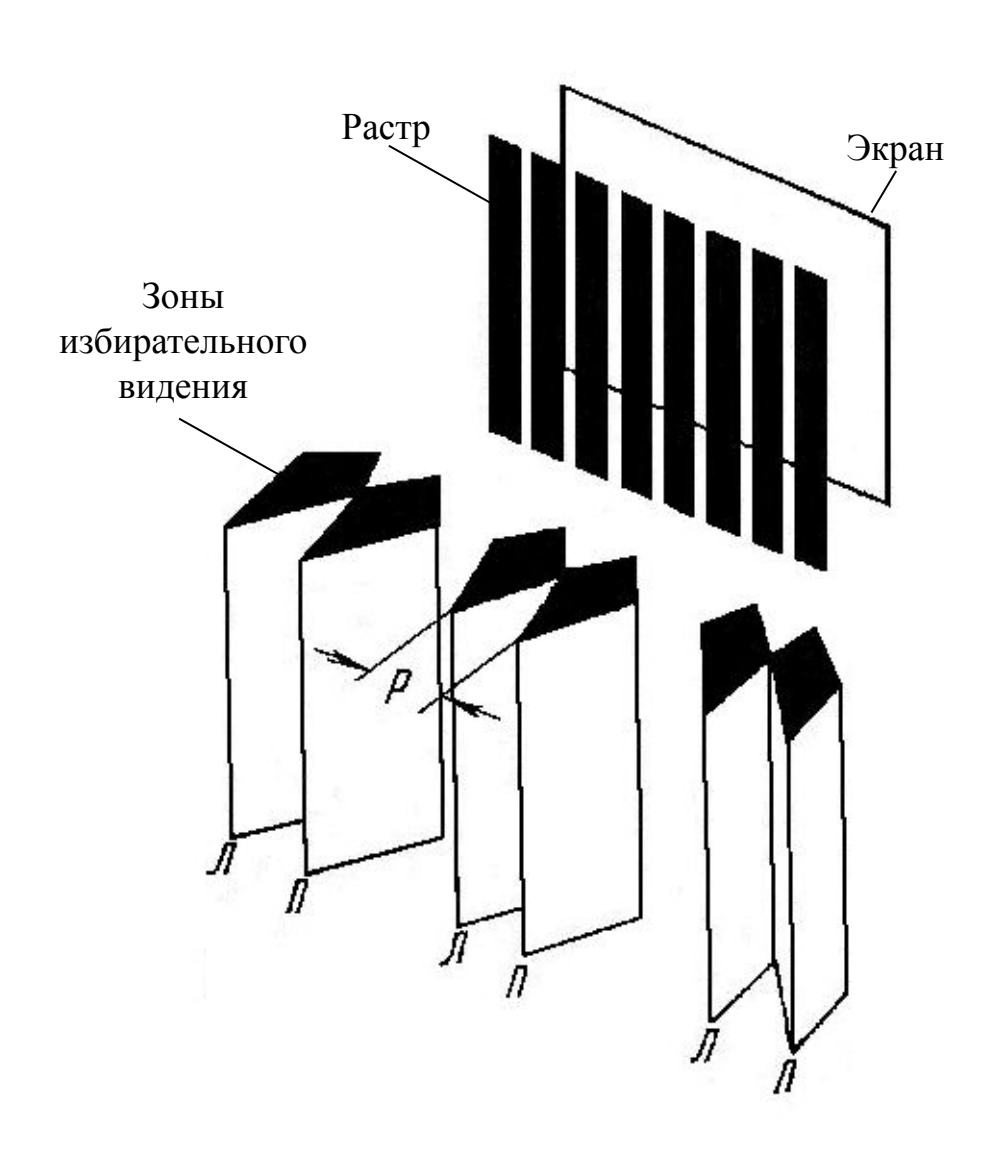




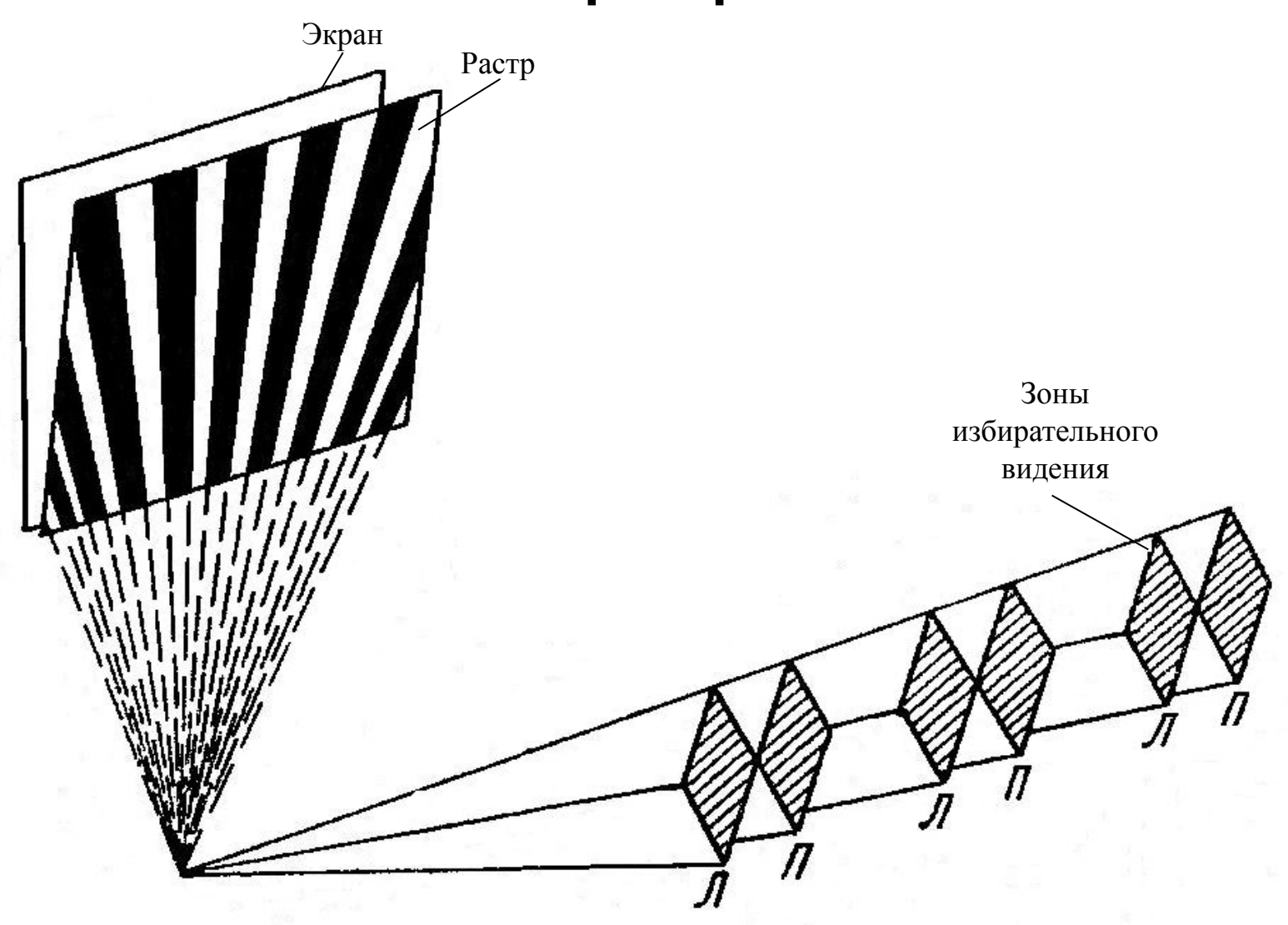
Образование одноименных зон видимости



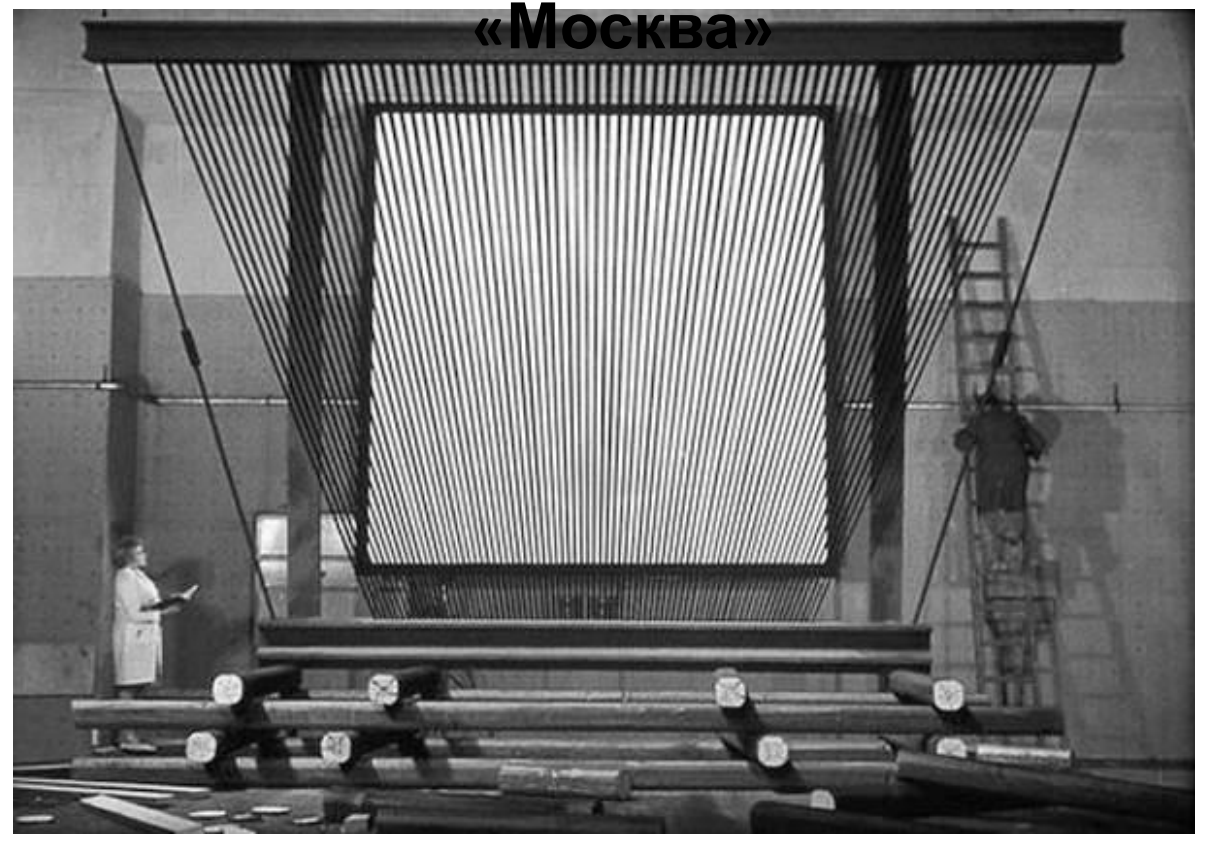
Зоны избирательного видения щелевого линейного растра

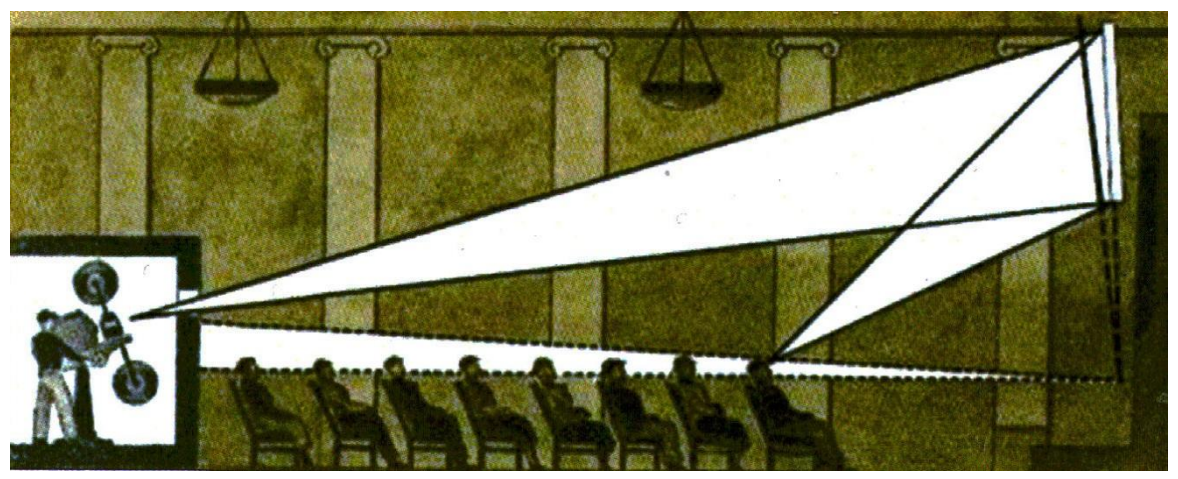


Зоны избирательного видения щелевого радиального растра

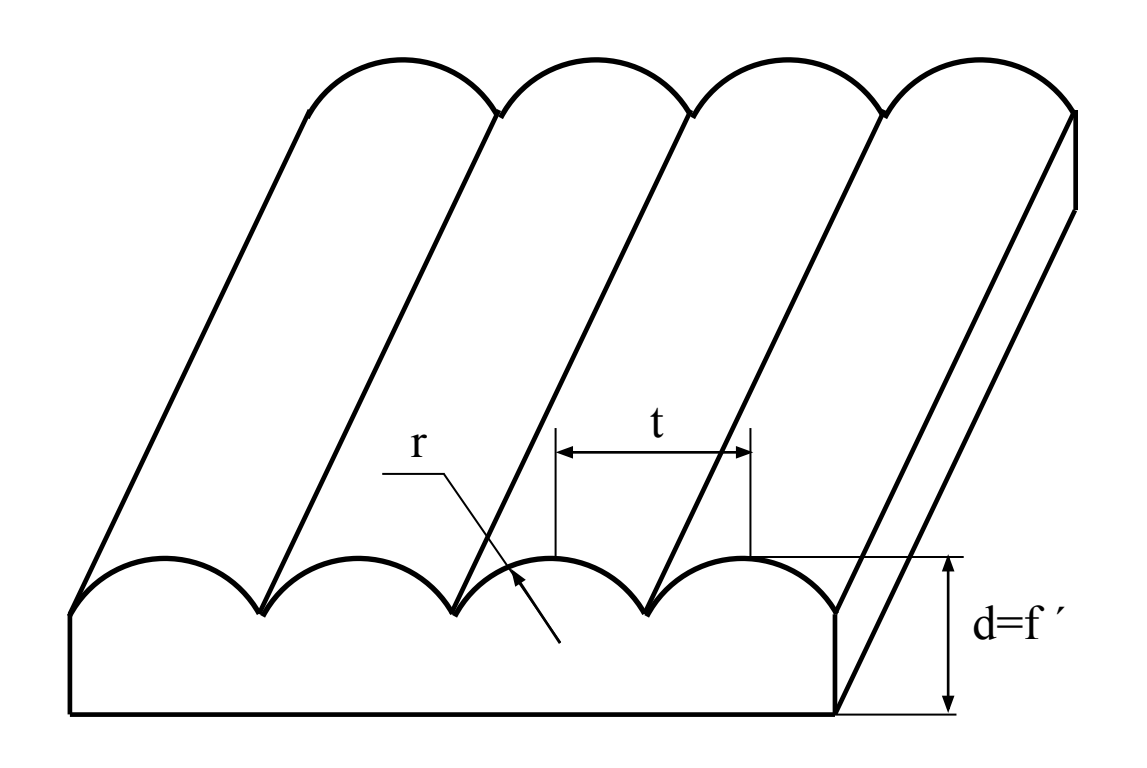


Растровый экран и схема зрительного зала кинотеатра





Линейный линзовый растр и его основные параметры

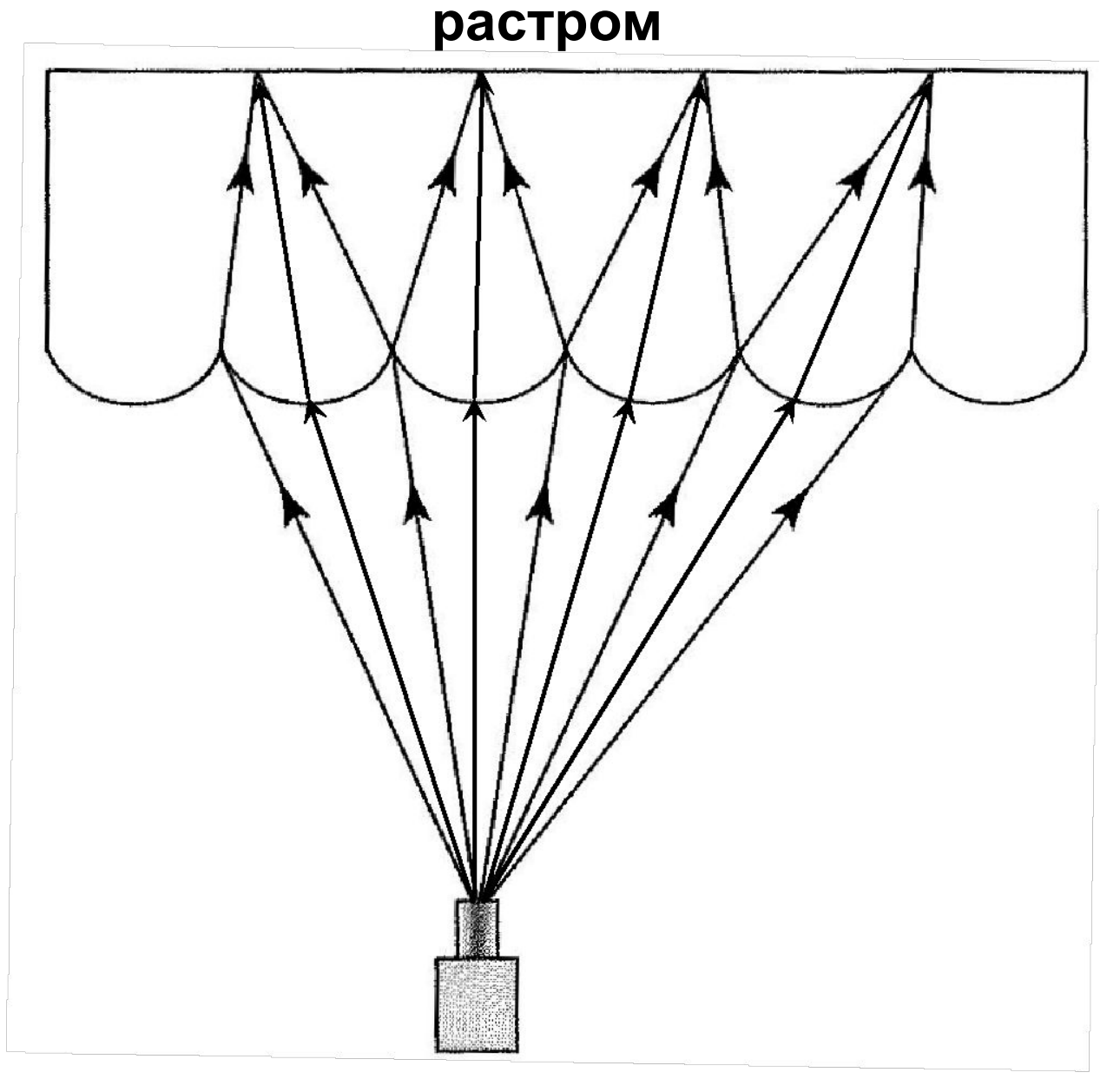


t - шаг растра

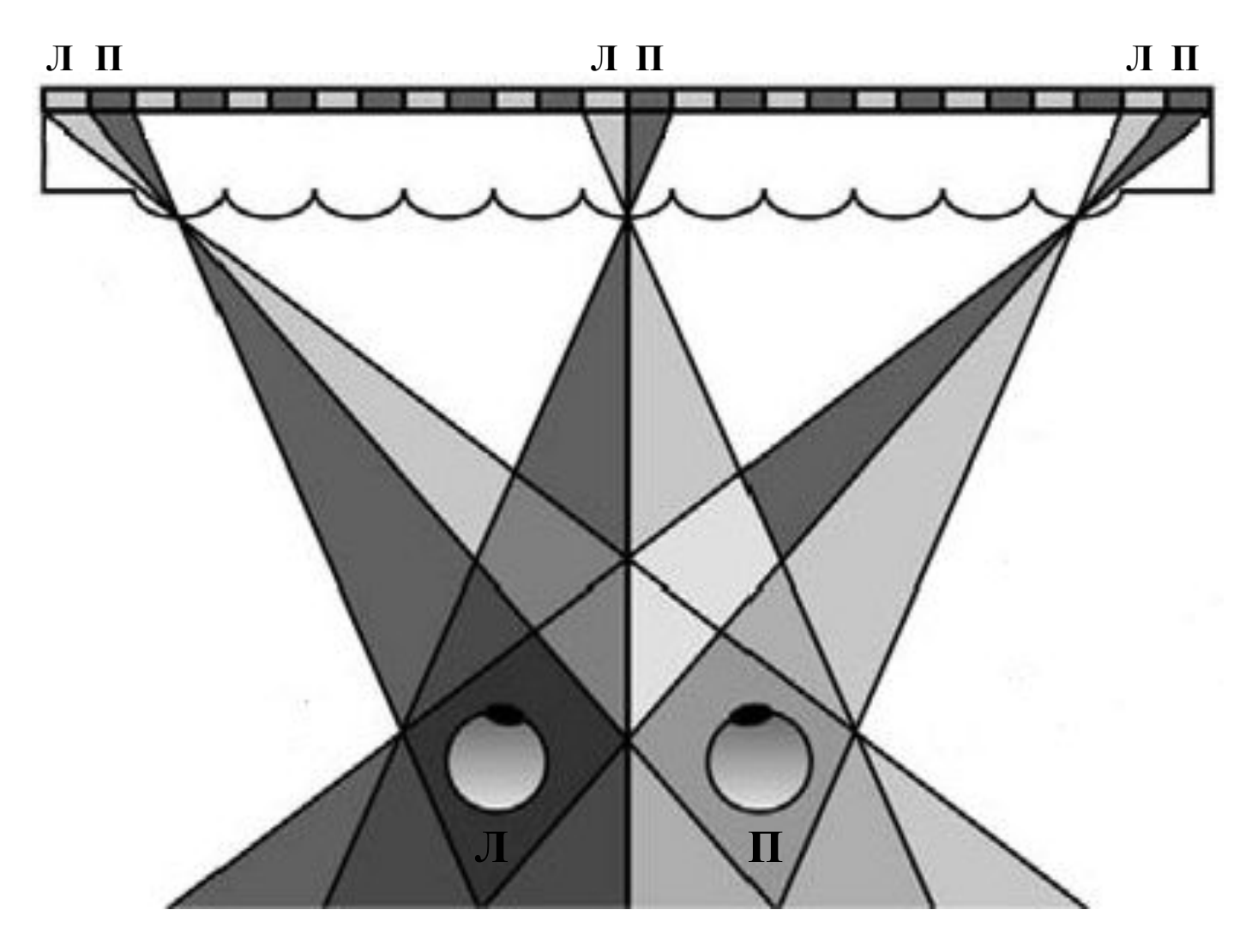
r - радиус линз

d – толщина растра (равна фокусному расстоянию линз f ′)

Фокусирование лучей на поверхности экрана линзовым

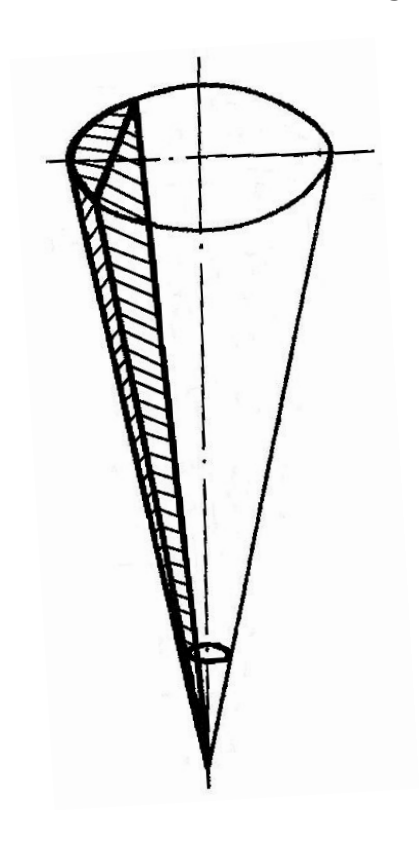


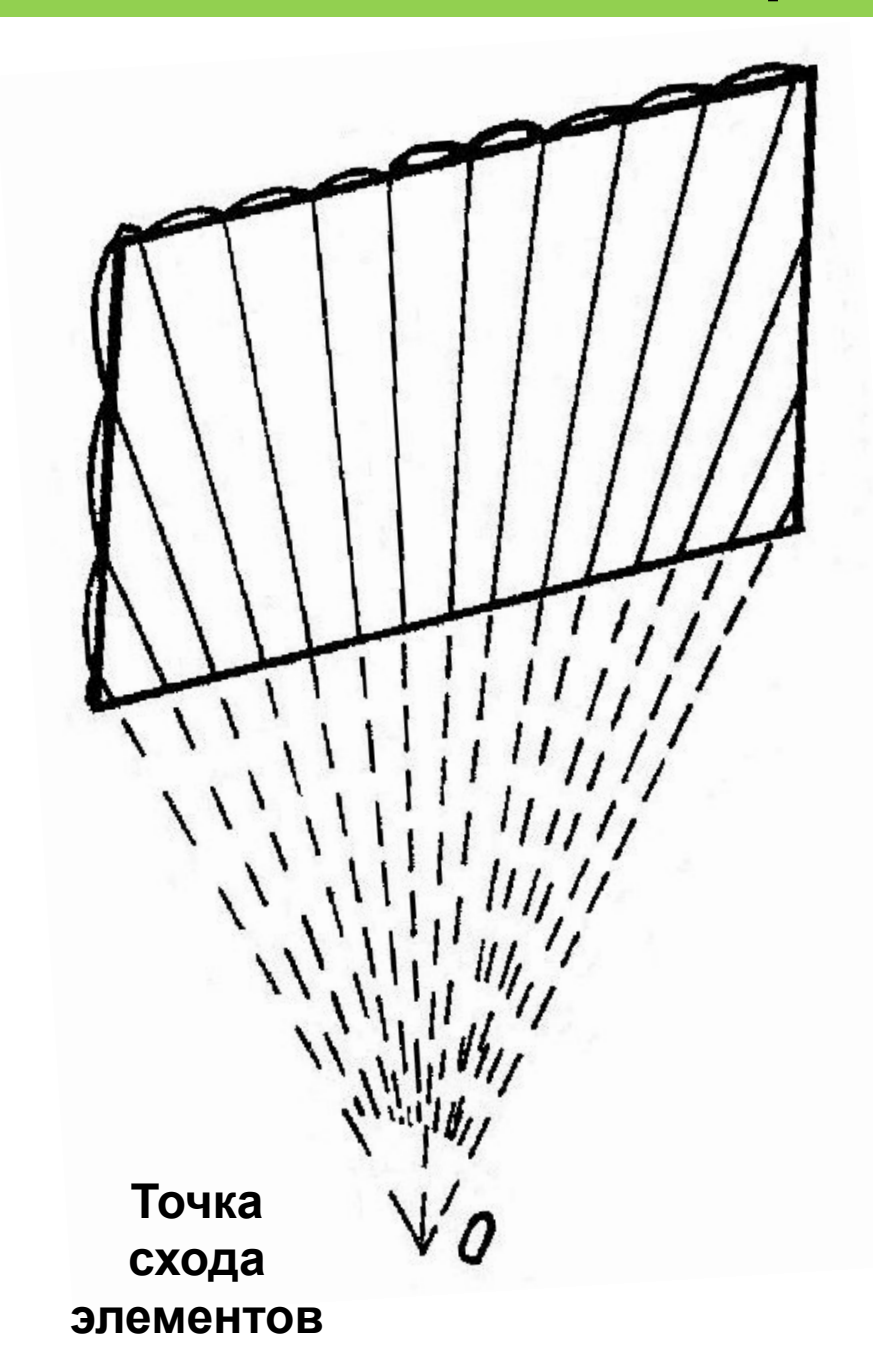
Зоны избирательного видения линзового линейного растра



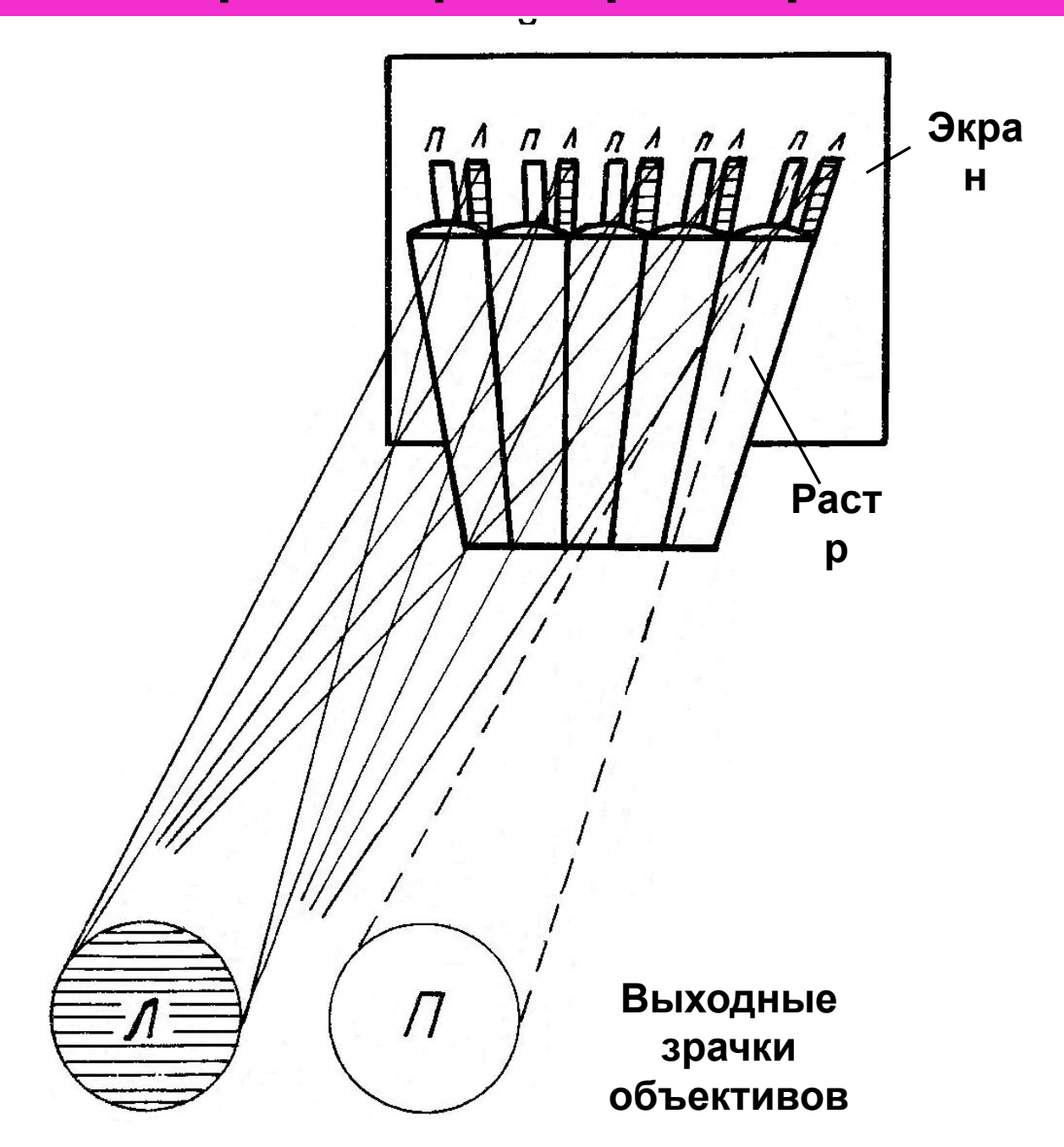
Радиальный (перспективный) линзовый растр

Одиночный элемент растра – сегмент конуса

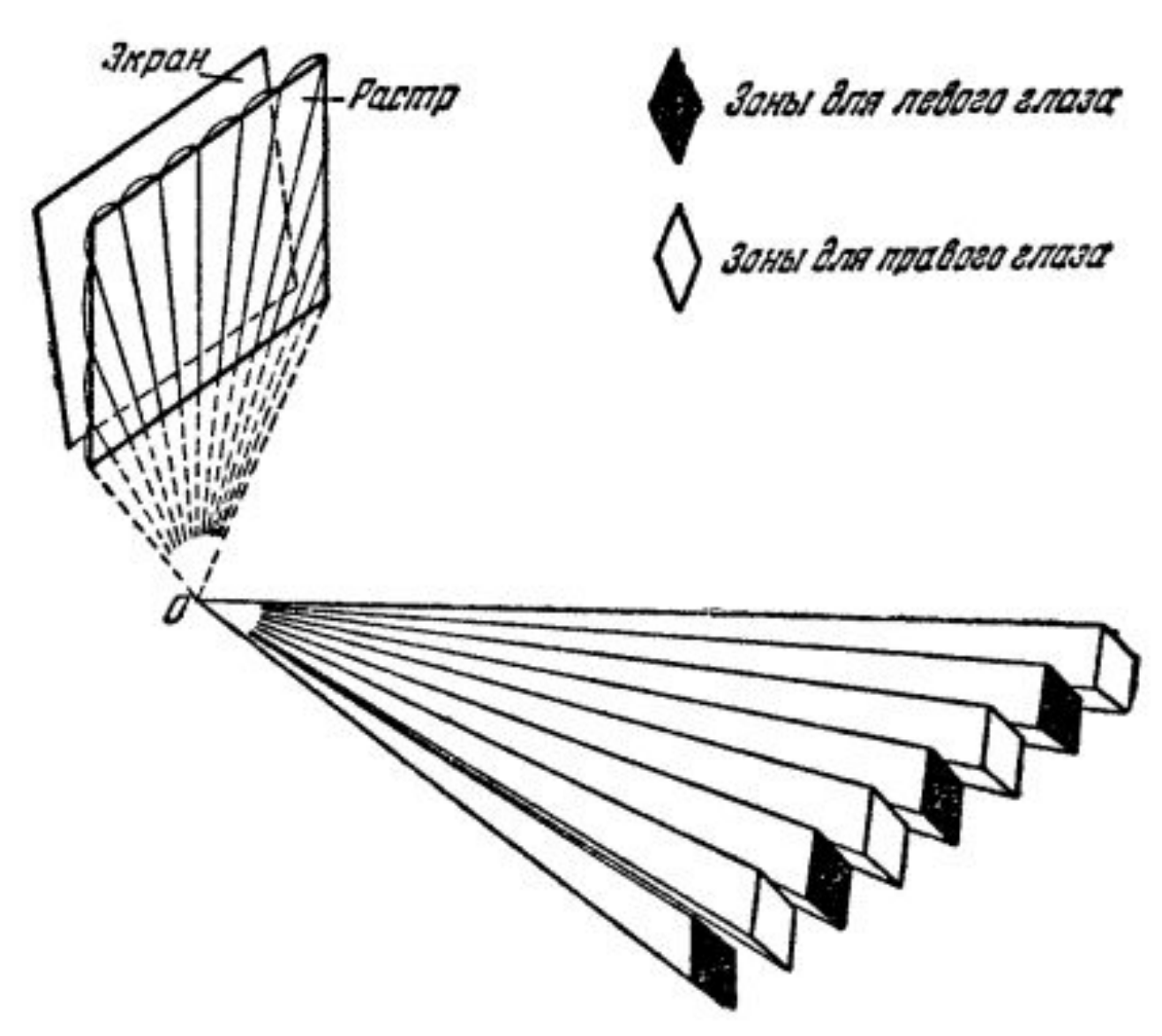




Проекция кадров стереопары на радиальный

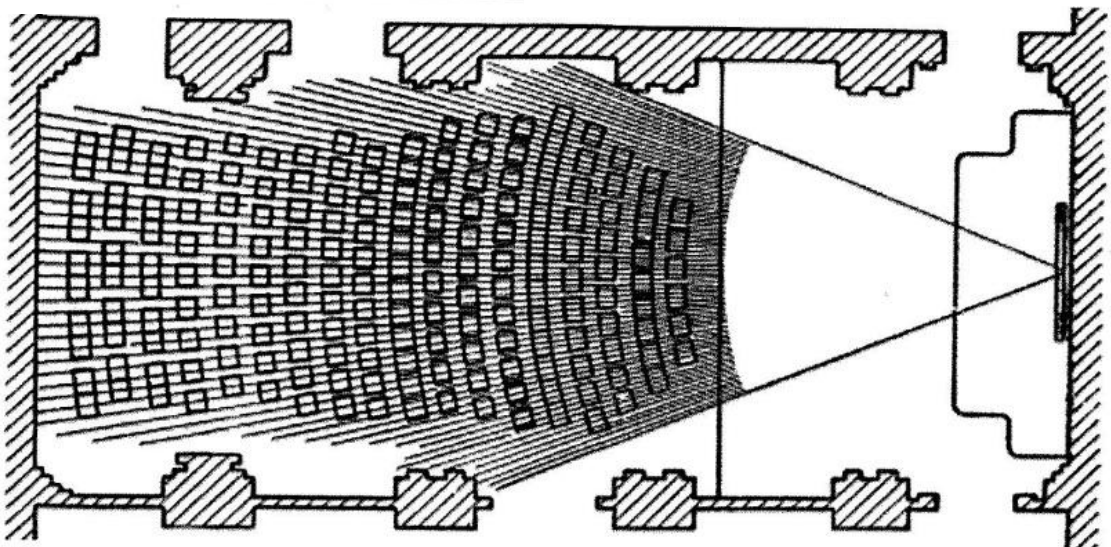


Зоны избирательного видения линзового радиального растра



Растровый экран и схема зрительного зала кинотеатра





Тема2.3 Многоракурсные системы формирования объемных изображений

2.3.1 Понятие многоракурсных систем

2.3.2. Обычные методы съемки дискретных многоракурсных изображений

Многоракурсная съемка с помощью набора отдельных





Многоракурсная съемка с помощью набора отдельных





Многоракурсная съемка с помощью многообъективной



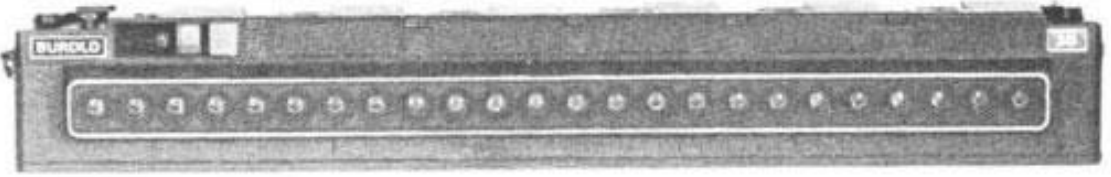












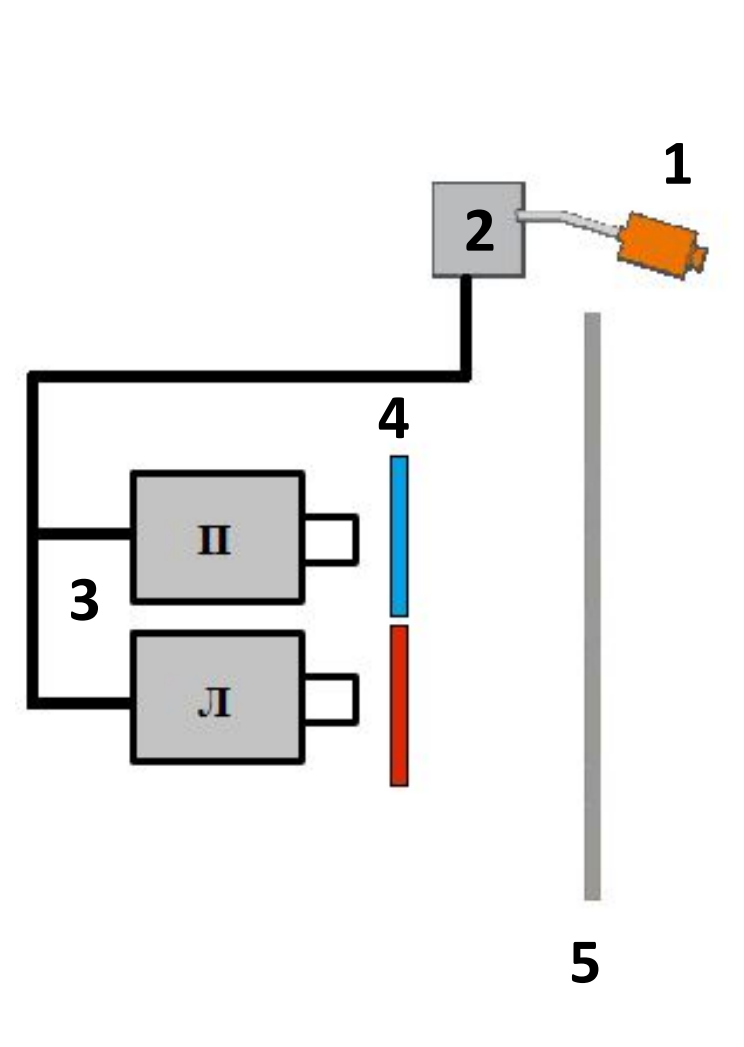
Многоракурсная съемка с помощью смещения камеры или объекта

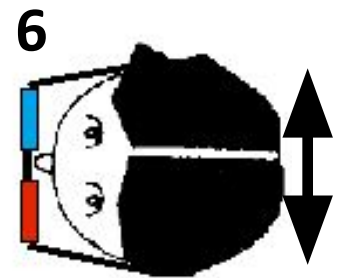


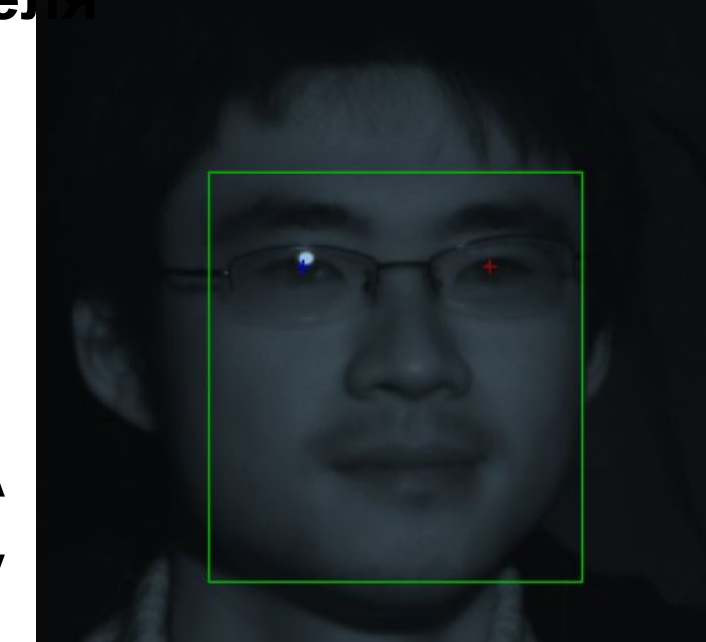
2.3.3. Неавтостереоскопические (очковые) методы воспроизведения многоракурсных изображений

Воспроизведение многоракурсного изображения с использованием трекинга за положением глаз (головы)

одного наблюдател

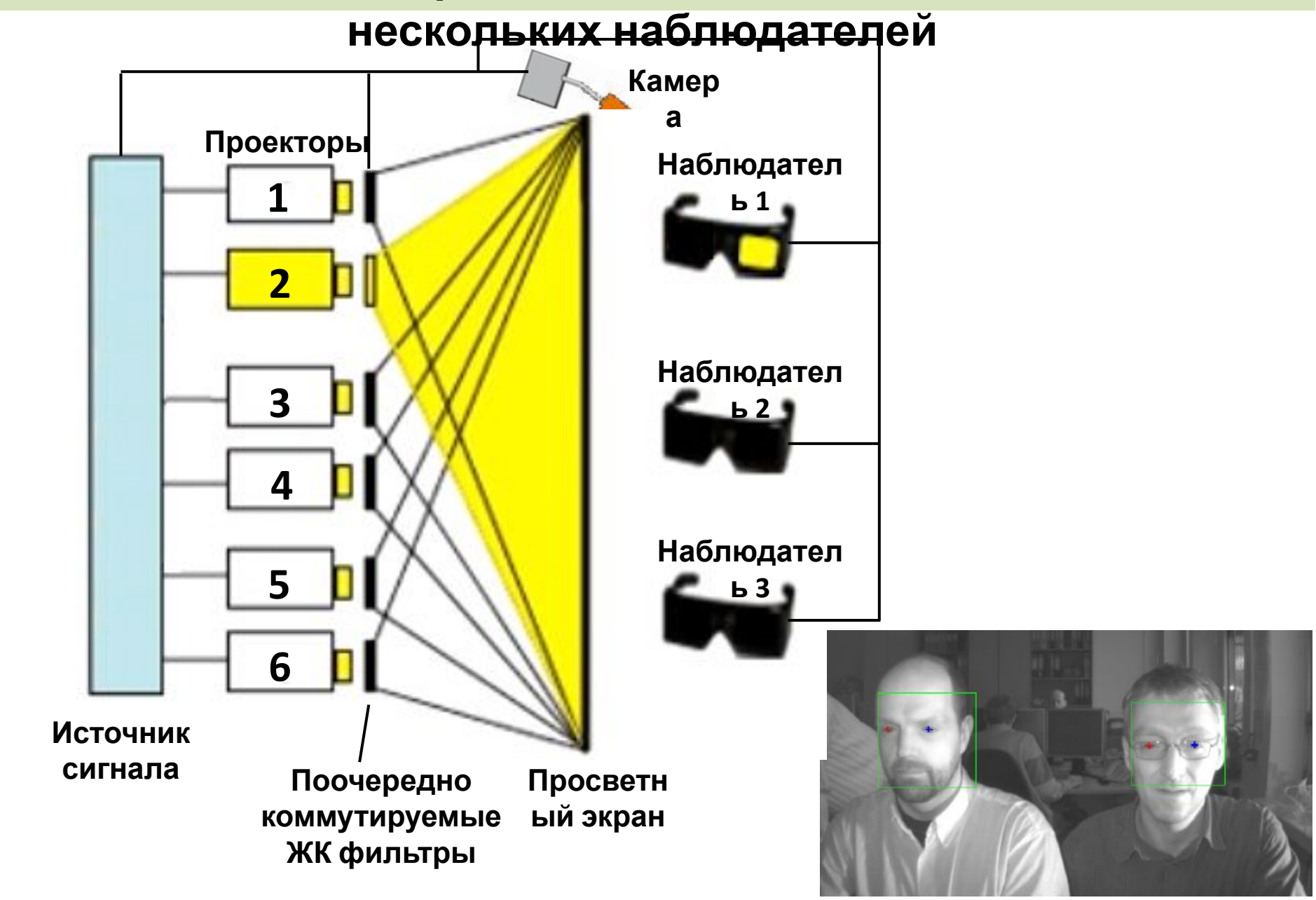






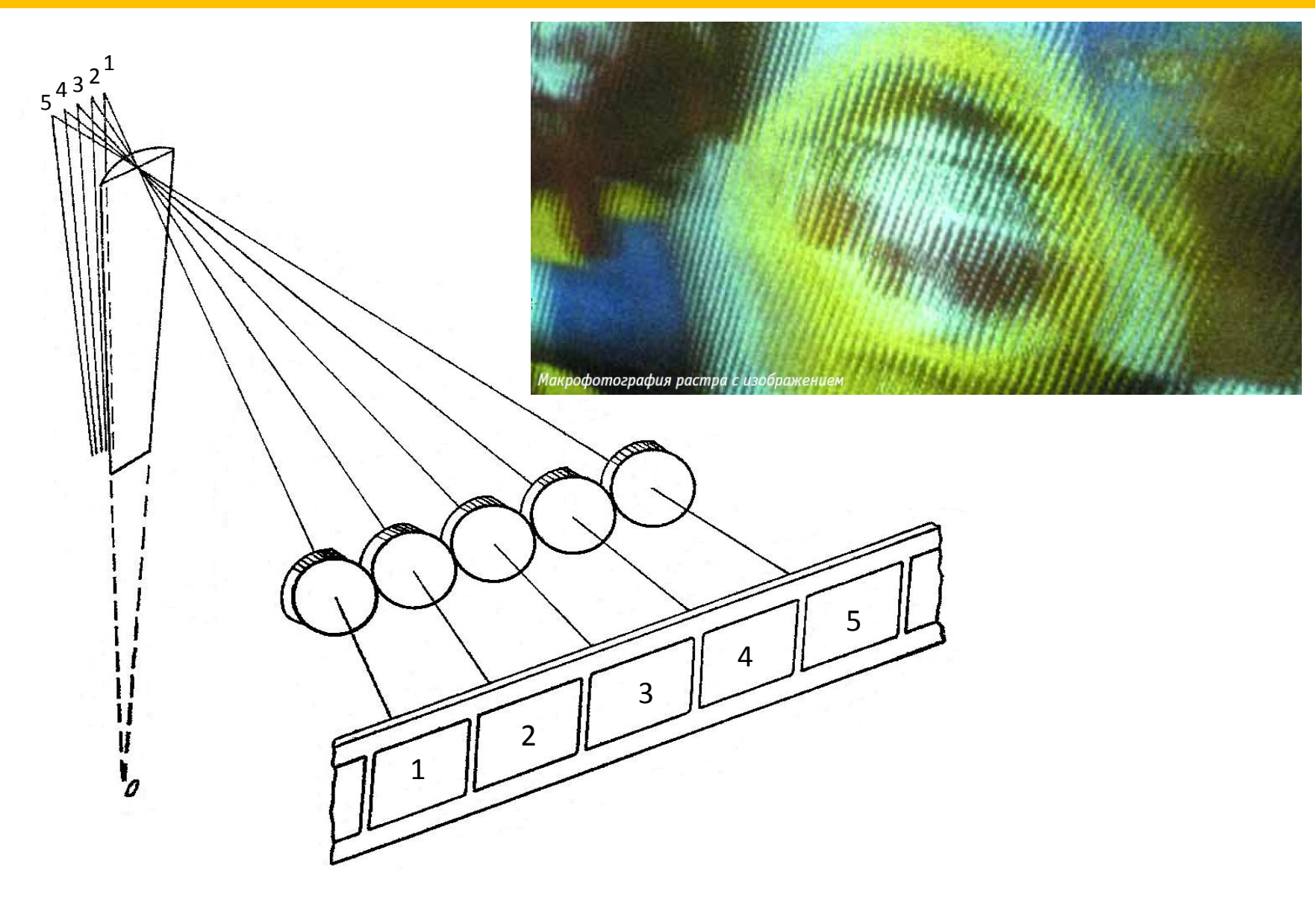
- 1 Камера слежения
- 2 Контроллер (компьютер)
- 3 Проекторы
- 4 Фильтры проекторов
- 5 Просветный экран
- 6 Фильтры очков

Воспроизведение многоракурсного изображения с использованием трекинга за положением глаз (головы)

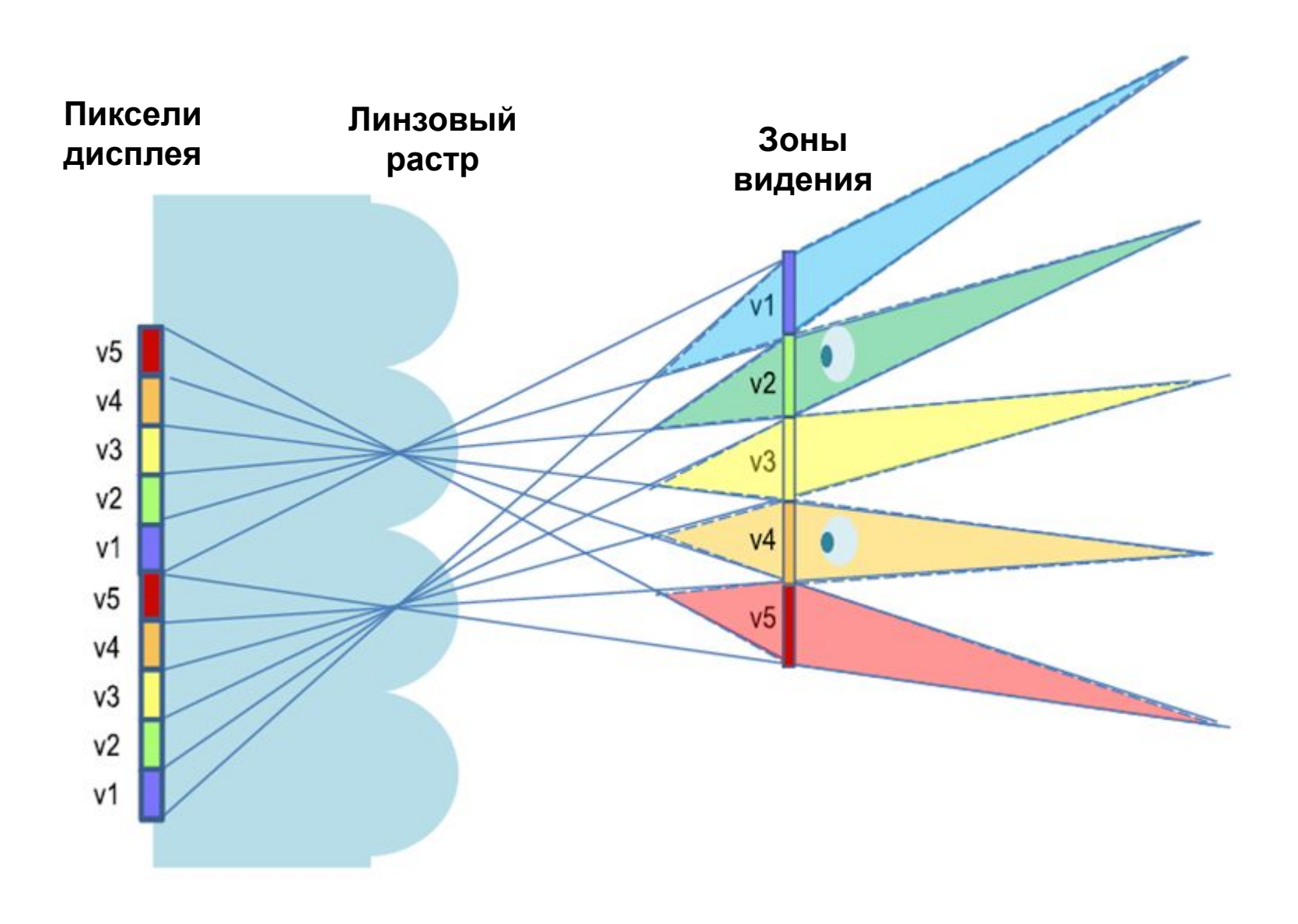


2.3.4. Автостереоскопические методы воспроизведения многоракурсных изображений

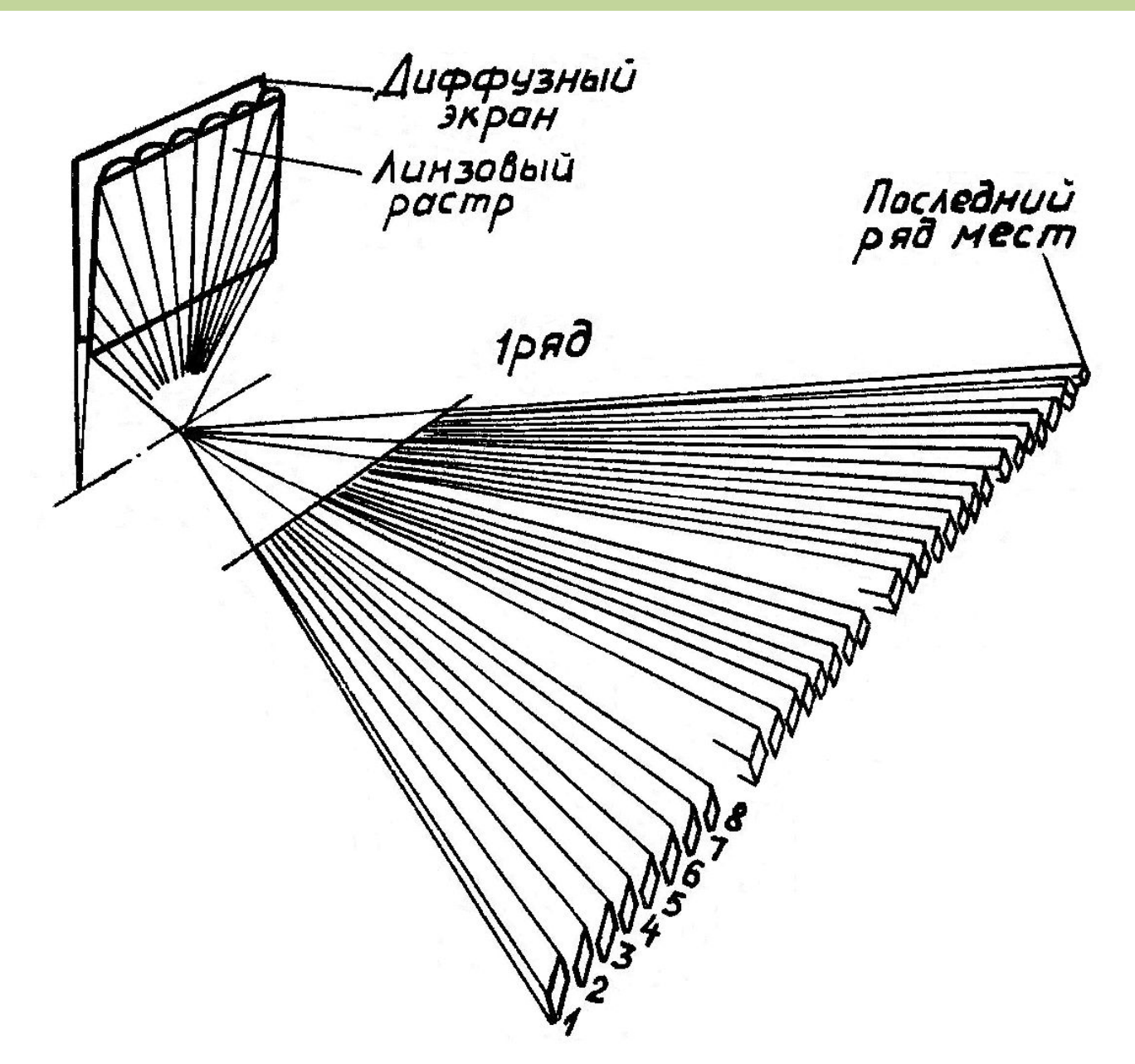
Формирование отдельным элементом растра параллакс-панорамограммы



Зоны видения многоракурсного изображения, формируемые линейным растром



Зоны видения многоракурсного изображения, формируемые радиальным растром



2.3.5. Съемка и воспроизведение непрерывных многоракурсных изображений. Растровая фотография и кинематография

Растровая стереосъемка с объективом большого диаметра

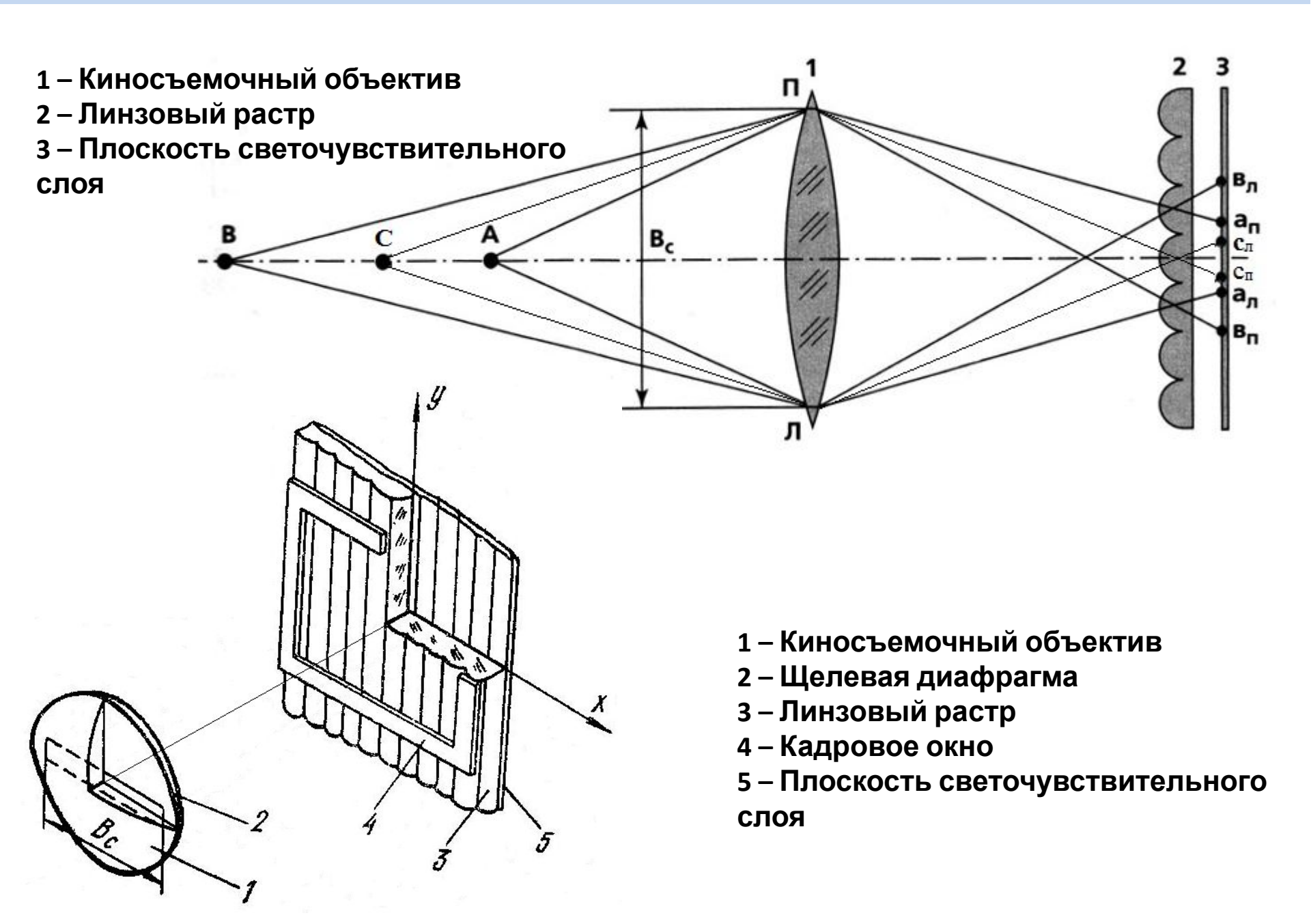


Схема интегральной растровой проекции

